



UNIVERSIDAD NACIONAL AUTÓNOMA DE
MÉXICO

FACULTAD DE CIENCIAS
AJUSTE DE DATOS POR
INTERPOLACIÓN BIVARIADA DE AKIMA
PARA FLUIDOS DE YACIMIENTOS
PETROLEROS

TESIS

QUE PARA OBTENER EL TÍTULO DE:
Actuario

PRESENTA:

Isaí López Servín

DIRECTOR DE TESIS:
M. en C. César Carreón Otañez

Facultad de Ciencias, 2018
CIUDAD UNIVERSITARIA, CD.MX.





UNAM – Dirección General de Bibliotecas

Tesis Digitales
Restricciones de uso

DERECHOS RESERVADOS ©
PROHIBIDA SU REPRODUCCIÓN TOTAL O PARCIAL

Todo el material contenido en esta tesis está protegido por la Ley Federal del Derecho de Autor (LFDA) de los Estados Unidos Mexicanos (México).

El uso de imágenes, fragmentos de videos, y demás material que sea objeto de protección de los derechos de autor, será exclusivamente para fines educativos e informativos y deberá citar la fuente donde la obtuvo mencionando el autor o autores. Cualquier uso distinto como el lucro, reproducción, edición o modificación, será perseguido y sancionado por el respectivo titular de los Derechos de Autor.

*Dedicado a
Dios, a mi familia y a Jacqueline*

Agradecimientos

Agradezco a Dios por hacer posible la culminación de este trabajo a pesar de las dificultades.

A mi familia, a aquellos que me apoyaron incondicionalmente y los que disentían.

A mi asesor por dirigir este trabajo hasta su culminación.

A los sinodales por sus aportaciones y enriquecer con ellas este trabajo.

Índice general

Resumen	9
1. Yacimientos	11
1.1. Definición básica de Yacimiento	16
1.2. Clasificación según el estado de los fluidos	16
1.3. Clasificación geológica de yacimientos	17
1.4. Clasificación respecto al Punto Burbuja	17
1.5. Clasificación de acuerdo al mecanismo de producción	17
1.6. Clasificación de acuerdo al volumen	18
2. Métodos de Interpolación Univariado	19
2.1. Interpolación Polinomial	21
2.1.1. Interpolación Polinomial de Lagrange	21
2.1.2. Interpolación Polinomial de Newton	22
2.1.3. Interpolación Polinomial de Hermite	23
2.2. Interpolación Polinomial a Trozos	25
2.2.1. Interpolación Lineal	27
2.2.2. Interpolación Spline Cúbico	27
2.2.3. Interpolación de Hermite Cúbico	34
3. Interpolación Bivariada	53
3.1. Interpolación Bivariada Mediante Interpolaciones Univariadas (IBMIU)	53
3.2. Interpolación Bivariada de Akima	56
3.2.1. Triangulación	56
3.2.2. Aproximación a las derivadas parciales	58
3.2.3. Caracterización del polinomio	63
4. Descripción de Rutinas	77
4.1. Reseña de Códigos	77
4.1.1. Interpolación Univariada	77
4.1.2. Interpolación Bivariada de Akima	81

4.2. Interfaz Gráfica	84
4.2.1. Interfaz de IBMIU	85
4.2.2. Interfaz para Interpolación Bivariada de Akima	92
5. Conclusiones	95
5.1. Interpolación Univariada	96
5.1.1. Interpolantes Polinomiales	96
5.1.2. Interpolantes Polinomiales a Trozos	97
5.2. Funciones Analíticas	98
5.2.1. Análisis de Datos	104
5.2.2. Gráficas Generadas por los Interpolantes	112
5.2.3. Interpolantes Óptimos	122
5.3. Fluidos en Yacimientos de Petróleos	124
5.3.1. Análisis de Datos	126
A. Spline Cúbico,una forma alternativa	139
A.1. Spline Cúbico Natural	142
A.2. Spline Cúbico Completo	143
A.3. Spline Cúbico Not-a-Knot	144
B. Códigos	147

Resumen

La interpolación consiste en estimar valores desconocidos en una región a partir de datos iniciales. Se tienen dos escenarios para el planteamiento del problema: cuando los datos provienen de una función desconocida y que se aproxima por una nueva función o cuando son una lista de puntos y se requiere información que no se tiene.

En ambos casos los métodos de interpolación usan funciones polinomiales para aproximar a la función desconocida o crear una para los datos que se buscan.

En los yacimientos petroleros existen distintos tipos de fluidos que surgen como resultado del proceso de extracción, para la obtención de hidrocarburos necesarios principalmente para combustible y materia prima para plásticos. Los fluidos dentro del yacimiento están sujetos a una presión y temperatura con propiedades específicas a cada componente.

Dentro del proceso de extracción las condiciones iniciales se ven modificadas, con lo que sus propiedades varian debido al cambio de presión y temperatura. Los datos se conforman de una muestra discreta y para cada tipo de mezcla son usados en otra clase de procesos. Debido a ello se requiere información que con la que no se cuenta, es ahí, donde nace la necesidad de interpolar, de proponer valores que regiones desconocidas.

Los métodos presentados en la tesis son una revisión de los métodos clásicos unidimensionales (Newton, Lagrange, Hermite, Spline Cúbico y Hermite Cúbico), con los cuales se propuso una metodología para usarlos en el caso de datos bivariados, además de incluir otro que por si sólo está pensando para funciones de dos variables desarrollado por Akima [4].

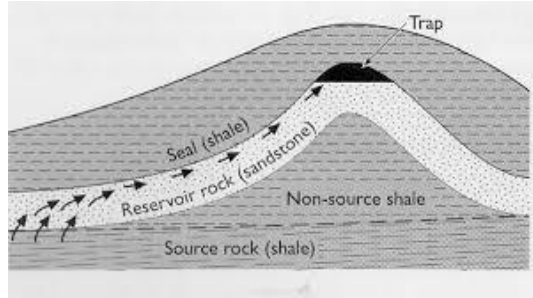
Finalmente, son programados en una interfaz gráfica en el software numérico Matlab para realizar un análisis de los datos. Proponer un método con base en su rapidez y forma en que conserva la estructura de los datos originales.

Capítulo 1

Yacimientos

El petróleo y el gas natural que se producen a partir de los campos de petróleo y gas que residen en rocas permeables y porosas (reservorios) en las cuales estos líquidos se han acumulado y colectado lo largo de extensión del tiempo geológico.

Los campos de petróleo y gas son caracterizados por cuatro elementos de geológico: (1) rocas de origen (source rocks) (2) rocas de reservorio (reservoir rocks), (3) sellos (seals) y (4) trampas (traps).



Rocas de Origen

Son rocas sedimentarias que fueron depositadas en aguas muy tranquilas, generalmente en pantanos inmóviles en tierra, bahías marinas poco profundas y tranquilas, o en entornos submarinos profundos. Las rocas de origen son compuestas por fragmentos minerales muy pequeños, entre los fragmentos se encuentran los restos de material orgánico, generalmente algas, pequeños fragmentos de madera o piezas de la materia blanda y partes de plantas terrestres, cuando estos sedimentos de grano fino son enterrados por sedimentos posteriores y el aumento del calor y presión los sedimentos blandos se convierten en estratos de roca dura.

Si se produce un nuevo entierro, entonces la temperatura sigue aumentando, cuando las temperaturas superan los $120^{\circ}C$ las rocas comienzan a generar el

petróleo y el gas natural, para dicho proceso se necesitan millones.

Rocas de reservorio

Las rocas de reservorio de petróleo y gas son porosas y permeables, contienen pasillos interconectados de poros microscópicos u orificios que ocupan las áreas entre los granos minerales de la roca, cuando el petróleo y el gas han sido expulsados naturalmente desde las rocas de origen, la mayor parte entran o migran hacia rocas adyacentes del embalse.

Una vez que el petróleo y el gas ingresan a la roca del yacimiento, son relativamente libres de moverse, más las rocas del yacimiento están inicialmente saturadas con agua salina subterránea.

Sellos

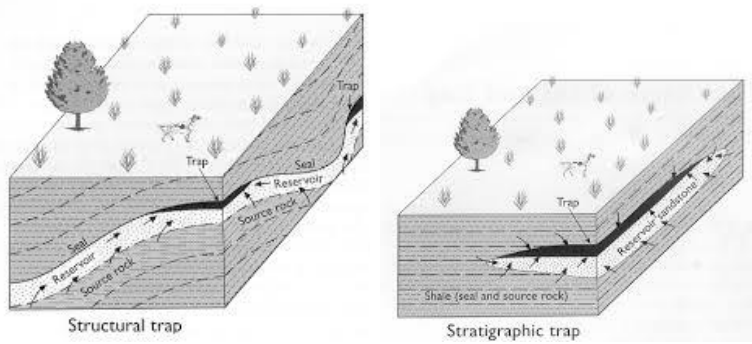
Los sellos generalmente son rocas de grano muy fino sin poros, espacios o poros demasiado pequeños para permitir la entrada de fluidos.

Trampa

El petróleo y el gas natural continúan migrando a través de espacios de los poros de la roca del yacimiento hasta que se bloqueen todos los movimientos del petróleo y el gas debido a su disposición física de uno o más sellos, un arreglo del reservorio y los sellos se llama trampa.

Existen dos tipos principales de trampas, estructurales y estratigráficas:

1. Estructurales: Se forman cuando la roca del yacimiento y el sello subyacente se han deformado, por lo general, esta deformación tiene lugar decenas de millones o cientos de millones de años después de la deposición de los sedimentos que se convierten en sellos y rocas de reservorio, el petróleo y el gas migran hacia arriba a través del reservorio y se acumulan en la parte más alta de la estructura.
2. Estratigráficos: se forman cuando la roca reservorio se deposita como un capa discontinua, los sellos se depositan al lado y encima del reservorio, el resultado es un reservorio de arenisca porosa rodeado de sellos.



En el campo de la explotación de yacimientos de petróleo, así como en los procesos de extracción, producción, acondicionamiento y transporte de los fluidos encontrados en tales yacimientos, los datos volumétricos y de comportamiento de fases correspondientes al fluido extraído son de esencial importancia para el manejo apropiado de los pozos petroleros así como para el correcto dimensionamiento de equipos y procesos.

La información del comportamiento del fluido es utilizada para evaluar las reservas de un yacimiento, para generar un plan óptimo de desarrollo y explotación así como para determinar la cantidad y la calidad de los fluidos producidos. También es utilizada para dimensionar, diseñar, simular y construir instalaciones apropiadas para el manejo del mismo.

Sin embargo, para poder realizar estas actividades, es necesario contar con información detallada a distintas condiciones de Temperatura y Presión relativa al comportamiento del fluido de interés, para el cual se está dimensionando, diseñando y simulando los equipos e instalaciones que lo procesarán. Esta información, contiene datos del comportamiento de fases, es decir, cuantas fases fluidas y en qué cantidad estarán presentes a una condición de Temperatura y Presión dada, así como las propiedades termodinámicas (densidad, derivadas de la densidad respecto a la temperatura y a la presión, capacidad calorífica, entalpía, entropía) y de transporte (viscosidad, conductividad térmica) para cada fase encontrada. Los datos son obtenidos a partir de un modelo semi-empírico, denominado ecuación de estado (EOS por sus siglas en inglés), modelo que previamente ha sido ajustado a los datos experimentales disponibles del fluido de interés.

La ecuación de estado (EOS) tiene las ventajas de poder reproducir los datos experimentales de manera satisfactoria y de poder predecir propiedades donde no existen datos experimentales disponibles. La mayor desventaja es el cos-

to computacional y de tiempo, necesario para poder resolver el modelo cada vez que se requiere la información del fluido de interés a una Temperatura y Presión definidas, en particular cuando se realizan cálculos o simulaciones de equipos o procesos en los que las variables Temperatura y Presión cambian fuertemente. En estos casos, los cálculos o simulaciones de equipos pueden tomar tiempos considerables, que pueden ir desde unas horas hasta varios días. La forma más utilizada de abordar el problema, es generar una tabla de propiedades, esto es, para una ventana con intervalos de Temperatura y de Presión definidas, se resuelve la ecuación de estado un número predeterminado de veces. De esta manera se obtienen propiedades en intervalos donde se espera que el equipo o proceso opere y la información está contenida en una tabla, guardada en un archivo digital. Dicha tabla tiene dos variables independientes, la Temperatura y la Presión, y cuando se especifican, se pueden obtener las propiedades previamente calculadas para todas las fases presentes.

Por la forma en que está dispuesta la información en la tabla, solo se cuenta con información de propiedades a temperaturas y presiones definidas, y si se requiere información a condiciones distintas, es necesario utilizar métodos de interpolación para obtener las propiedades a las condiciones de interés. Estos procedimientos o metodologías de interpolación deben tener las siguientes características:

1. Ejecutarse en un tiempo razonable.
2. Ejecutarse muchas muchas veces sin perdida de rapidez.
3. Respetar la topología de la variable a ser estudiada.

Las propiedades contenidas en la tabla, si bien son continuas, es decir, existe un valor de cada propiedad a cada temperatura y presión en las que fueron calculadas, pueden presentar comportamientos donde la derivada de la propiedad, ya sea en función de la temperatura o de la presión, no son continuas. Este fenómeno es causado por un cambio de fase del fluido de interés en ciertas regiones de temperatura y presión. Esta situación hace que la correcta selección del método de interpolación sea de fundamental importancia.

El ajuste y la selección del método se realiza sobre superficies generadas por el comportamiento de la medida de cada propiedad que proporcionan los datos.

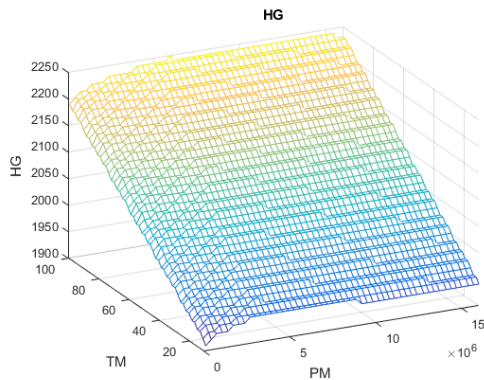


Figura 1.1: Propiedad de fluido

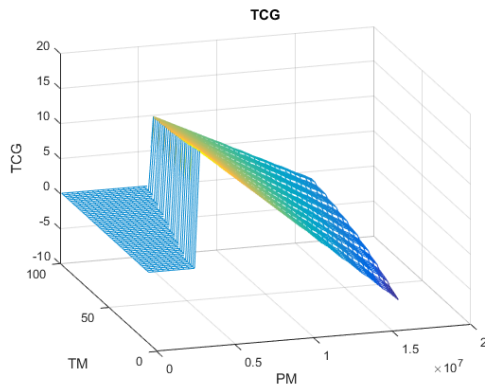


Figura 1.2: Propiedad de fluido

La interpolación lineal es el método base utilizado para aproximar valores en las propiedades, sin embargo, existen métodos de interpolación con mejor eficiencia para estimar valores.

El propósito del trabajo, es el analizar distintos métodos alternativos al interpolante lineal, con objetivo de proponer nuevos modelos que ajusten mejor los datos a las propiedades de los fluidos, logrando estimar los datos sobre superficies más suaves, ya que los interpolantes de mayor complejidad, contemplan más supuestos que pueden ayudar a un mejor ajuste, además, se desarrollarán programas computacionales en el software numérico MATLAB para los distintos métodos que se estudiarán.

En el primer capítulo del trabajo, se darán algunos conceptos sobre yacimientos de petróleo, las definiciones sólo se tratarán de manera muy general, ya que se enfocará en el desarrollo de métodos numéricos para interpolación.

En el segundo capítulo se desarrollará la construcción de los interpolantes univariados, donde se estudiarán los clásicos de Lagrange, Newton, Hermite, Spline Cúbico y Hermite Cúbico.

El capítulo tres estudiará métodos de interpolación bivariados, primero se hará un acercamiento, interpolando múltiples veces mediante métodos univariados, posteriormente se explicará la construcción del Interpolante Bivariado de Akima.

En el capítulo cuatro se describirán cada uno de los programas y la forma de uso de la interfaz gráfica donde se implementaron los distintos métodos descritos en los capítulos anteriores.

Finalmente en el capítulo cinco tratará sobre el análisis de algunos resultados obtenidos al aplicar la interpolación bivariada a funciones analíticas y a las propiedades de algunos fluidos en yacimientos de petróleos, para determinar el interpolante que mejor ajuste según las condiciones requeridas en la interpolación de los fluidos.

1.1. Definición básica de Yacimiento

Podemos entender el concepto de yacimiento como una unidad geológica de un volumen limitado, poroso y permeable que contiene hidrocarburos en estado líquido o gaseoso, estos yacimientos se definen en cinco elementos básicos

1. Fuente
2. Camino migratorio
3. Trampa
4. Almacenaje
5. Permeabilidad

1.2. Clasificación según el estado de los fluidos

1. Petróleo Negro: Se caracteriza por tener una gran cantidad de especies químicas, que contienen moléculas grandes y pesadas, además de no ser volátil en ese estado, teniendo un color negro o verduzco.
2. Petróleo Volátil: Tiene la particularidad, que al sufrir una pequeña reducción en la presión el fluido puede desprender grandes cantidades de gas, su color puede variar entre marrón y naranja.
3. Gas Condensado: Para este caso, a medida que la presión decrece el gas se condensa formando un líquido dentro del yacimiento, sus colores característicos pueden ser marrón, naranja, verduzco transparente.

4. Gas Húmedo: Predominan moléculas pequeñas y pesadas, su temperatura está por debajo a la del yacimiento, presenta líquido pero en la superficie, su color es transparente.
5. Gas Seco: Principalmente formado por metano, este tipo de gas tiene moléculas más ligeras en comparación al los gases húmedos, presenta mezcla de hidrocarburos dentro y en la superficie del yacimiento, sin embargo, no presenta líquidos dentro ni fuera del yacimiento.
6. Asfalténicos: Cuenta con composición química constante, sin embargo, cuando la presión del yacimiento baja, el gas puede producirse más fácilmente, al aumentar la presión, se condensa y el líquido generado queda atrapado dentro de la roca del yacimiento.

1.3. Clasificación geológica de yacimientos

1. Estratigráficos: Formada por piedras calizas o dolomitas porosas, además de tener cambios en la permeabilidad.
2. Estructurales: Contiene rocas ígneas con domos salinos.
3. Combinado: Presentan combinaciones de los dos anteriores mencionados.

1.4. Clasificación respecto al Punto Burbuja

Entenderemos por punto burbuja, a las condiciones de presión y temperatura tal que aparezca la primera burbuja de gas en el hidrocarburo.

1. Subsaturados: Yacimientos cuya presión está por debajo del punto burbuja, se presenta en fase líquida y las burbujas de gas se desprenden una vez alcanzado el punto burbuja.
2. Saturados: La presión inicial del yacimiento es menor al punto burbuja, consta de una zona líquida y una zona gaseosa, la zona líquida se encuentra en su punto burbuja.

1.5. Clasificación de acuerdo al mecanismo de producción

1. Producción primaria: En un principio la producción de hidrocarburos se realiza mediante la energía natural, en este tipo de producción el petróleo y el gas son desplazados hacia pozos productores mediante:

- a) Expansión de fluido
 - b) Desplazamiento de fluidos.
 - c) Drenaje gravitacional.
 - d) Expulsión Capilar
2. Producción secundaria: En este caso, para lograr producción es necesario usar gas natural o inyección de agua, con el propósito de mantener la presión en el yacimiento.

Normalmente se usan ambos métodos para la producción de hidrocarburos.

1.6. Clasificación de acuerdo al volumen

- 1. Volumétricos: Cuando no existe un acuífero adyacente al yacimientos.
- 2. No volumétricos: El volumen disponible de hidrocarburos, se reduce debido a la intrusión de agua de un acuífero adyacente.

Capítulo 2

Métodos de Interpolación Univariado

En el capítulo se darán a conocer distintas propuestas de metodologías para realizar una interpolación, método que consiste en construir una curva a partir de una serie de datos finita, la historia nos muestra las primeras formas de uso del método de interpolación para resolver ciertas necesidades de la época.

Los primeros vestigios históricos que se tienen sobre un uso muy rudimentario de la interpolación se ubican aproximadamente en el año 1,700 A.C. en la civilización babilónica, donde usaban una recta entre dos puntos para aproximar determinados valores, un ejemplo de ello era la aproximación a potencias. En la actualidad gracias a los avances en la computación, no resulta nada difícil aproximar el valor de la variable t de la igualdad $((2+(1/10)))^t = 4$, ya que solo basta con calcular $t = \ln(4)/\ln(2.1) \approx 1.386294/0.7419373 \approx 1.868479$ donde el valor de los logaritmos fácilmente obtenidos en una calculadora científica, sin embargo los babilónicos no contaban con tal tecnología, por tanto ellos aproximaban el valor de t de manera gráfica, pasando una recta entre un punto mayor y menor al valor que se necesitaba calcular y daban una aproximación observando el valor en la recta, a esta forma de interpolar se conoce como “interpolación lineal” siendo una de las ideas más intuitivas para resolver el problema, ahora analicemos como se aproxima el valor de t mediante este método, primero veamos $((2 + (1/10)))^t = 4$ junto a t como pareja ordenada $(t, 4)$, ahora busquemos valores t_1 y t_2 tales que $y_1 < y = 4 < y_2$, tomemos $t_1 = 1$ y $t_2 = 2$ entonces tenemos $y_1 = 2.1 < y = 4 < y_2 = 4.41$, graficando y uniendo ambos puntos por una recta tenemos la siguiente figura

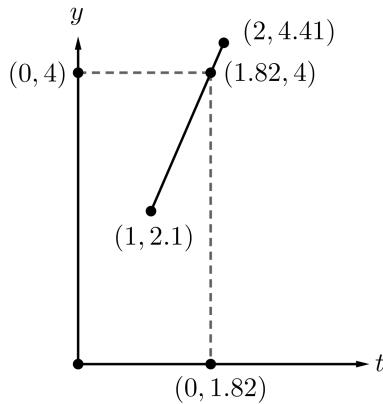


Figura 2.1

podemos observar que la aproximación es $t \approx 1.82$ que no difiere mucho del resultado aproximado a través de logaritmos. Sin embargo al pasar de los años, la necesidad de poder aproximar valores de funciones desconocidas, con mejores métodos que una simple recta, hizo que se buscarán nuevas formas de interpolación.

En este capítulo estudiaremos algunos métodos de interpolación, clasificando los interpolantes en dos partes, por un lado, analizaremos los interpolantes cuya característica es ser un solo polinomio $P(x)$ que pase por una serie de puntos (x_i, y_i) con $i = 0, 1, \dots, n$ cumpliendo la condición $P(x_i) = y_i$, por otro lado estudiaremos los interpolantes polinomiales a trozos, que consisten en pasar una serie de polinomios f_i en cada subintervalo $[x_i, x_{i+1}]$ y además cumplen que $f_i(x_i) = y_i$ y $f_i(x_{i+1}) = y_{i+1}$ para $i = 0, 1, \dots, n - 1$.

2.1. Interpolación Polinomial

En esta sección, describiremos métodos clásicos para encontrar un polinomio, que pase por una serie de datos (x_i, y_i) para $i = 0, 1, 2, \dots, n$.

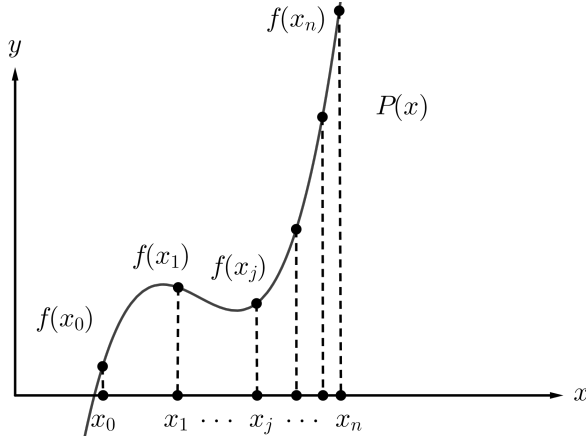


Figura 2.2

2.1.1. Interpolación Polinomial de Lagrange

Dada una serie de puntos distintos $(x_0, y_0), \dots, (x_n, y_n)$ suponiendo una función f desconocida que cumple $f(x_i) = y_i$, se construirá un polinomio que pase por cada uno de los puntos dados, aproximando una función f mediante un polinomio de grado n , de tal manera que se cumpla que $P(x_0) = y_0, \dots, P(x_n) = y_n$.

Para obtener el polinomio que satisface lo anterior mencionado, se usará la metodología descrita en el siguiente teorema.

Teorema 2.1 *Sea $x_0, x_1, x_2, \dots, x_n$ $n+1$ valores distintos, si f es una función que está definida en esos números, entonces existe un polinomio único $P(x)$ de un grado no mayor a n que cumple la siguiente propiedad:*

$$P(x_j) = f(x_j) \quad \text{con } j = 0, 1, 2, \dots, n$$

Donde $P(x)$ se define como:

$$P(x) = f(x_0)L_{n,0}(x) + f(x_1)L_{n,1}(x) + \dots + f(x_n)L_{n,n}(x) = \sum_{j=0}^n f(x_j)L_{n,j}(x)$$

Y $L_{n,j}(x)$ está definido por:

$$L_{n,j}(x) = \frac{(x - x_0)(x - x_1) \cdots (x - x_{j-1})(x - x_{j+1}) \cdots (x - x_n)}{(x_j - x_0)(x_j - x_1) \cdots (x_j - x_{j-1})(x_j - x_{j+1}) \cdots (x_j - x_n)} = \prod_{\substack{i=0 \\ i \neq j}}^n \frac{x - x_i}{x_j - x_i}$$

Para $j = 0, 1, 2, \dots, n$.

Al polinomio anterior se le conoce como n -ésimo polinomio Lagrange.

[2, pág. 109]

2.1.2. Interpolación Polinomial de Newton

Podemos notar que el interpolante de Lagrange tiene un costo numérico alto dada su estructura y la construcción del mismo, con el propósito de hacer más eficiente el cálculo, surge una segunda opción, construir un polinomio interpolante mediante el método de “diferencias divididas de Newton”, que es posible obtener recursivamente, encontrando los coeficientes de polinomio de manera más eficiente, consideremos a $P_n(x)$ el n -ésimo polinomio interpolante de Lagrange y f una función definida para cada uno de los puntos $x_0, x_1, x_2, \dots, x_n$ que cumple $f(x_0) = y_0, f(x_1) = y_1, f(x_2) = y_2, \dots, f(x_n) = y_n$, expresemos a $P_n(x)$ como

$$P_n(x) = \alpha_0 + \alpha_1(x - x_0) + \alpha_2(x - x_0)(x - x_1) + \cdots + \alpha_n(x - x_0) \cdots (x - x_{n-1})$$

sabiendo que se debe cumplir que $P_n(x_i) = f(x_i) = y_i$ para $i = 0, 1, 2, \dots, n$ podemos encontrar los valores α_i ,

$$\alpha_0 = P_n(x_0) = f(x_0)$$

$$f(x_0) + \alpha_1(x_1 - x_0) = P_n(x_1) = f(x_1) \text{ y despejando tenemos}$$

$$\alpha_1 = \frac{f(x_1) - f(x_0)}{x_1 - x_0}$$

a este procedimiento se le llama “diferencias divididas”, en el caso de $\alpha_0 = f(x_0)$ se le conoce como *diferencia dividida cero de f respecto a x_0* y se denota como $f[x_0] = f(x_0)$ y para cada uno de los puntos x_i tenemos $f[x_i] = f(x_i)$, a α_1 se le conoce como la *primera diferencia dividida de f respecto a x_1 y x_0* y se denota

$$\alpha_1 = \frac{f(x_1) - f(x_0)}{x_1 - x_0} = f[x_0, x_1]$$

y en general para x_i

$$f[x_i, x_{i+1}] = \frac{f[x_{i+1}] - f[x_i]}{x_{i+1} - x_i}$$

de manera recursiva

$$f[x_i, x_{i+1}, x_{i+2}] = \frac{f[x_{i+1}, x_{i+2}] - f[x_i, x_{i+1}]}{x_{i+2} - x_i}$$

segunda diferencia dividida

$$f[x_i, x_{i+1}, x_{i+2}, x_{i+3}] = \frac{f[x_{i+1}, x_{i+2}, x_{i+3}] - f[x_i, x_{i+1}, x_{i+2}]}{x_{i+3} - x_i}$$

tercera diferencia dividida

⋮

$$f[x_i, x_{i+1}, x_{i+2}, \dots, x_{i+j}] = \frac{f[x_{i+1}, x_{i+2}, \dots, x_{i+j}] - f[x_i, x_{i+1}, \dots, x_{i+j-1}]}{x_{i+j} - x_i}$$

j-ésima diferencia dividida

se definen los coeficientes α_i con $i = 0, 1, 2, \dots, n$ como sigue

$$\alpha_j = f[x_0, x_1, x_2, \dots, x_j]$$

por lo tanto el polinomio $P_n(x)$ se puede expresar

$$P_n(x) = f[x_0] + \sum_{j=1}^n f[x_0, x_1, x_2, \dots, x_j](x - x_0)(x - x_1) \cdots (x - x_{j-1})$$

conocido como el polinomio interpolante de Newton.

[2, pág. 122-124].

2.1.3. Interpolación Polinomial de Hermite

Los polinomios interpolantes de Newton y Lagrange, tienen la desventaja, de presentar curvas muy pronunciadas en algunos subintervalos (véase las figuras 2.3 y 2.4), lo cual podría causar errores numéricos grandes al estimar los valores intermedios de cada $[x_i, x_{i+1}]$, por tal motivo, se propone un polinomio interpolante de grado $2n + 1$, que coincide con los $n + 1$, $(x_0, y_0), (x_1, y_1), \dots, (x_n, y_n)$, además, el interpolante contempla el valor de f' para cada uno de los puntos, con el propósito de construir un polinomio que ajuste de mejor manera a los puntos (x_i, y_i) y disminuir las curvas muy pronunciadas para atenuar los posibles errores en valores intermedios $[x_i, x_{i+1}]$, a dicho polinomio denotado $H_{2n+1}(x)$ se le conoce como *Polinomio de Hermite* y se define en el siguiente teorema.

Polinomio de Hermite

Teorema 2.2 Si $f \in C^1[a, b]$ y siendo $x_0, x_1, x_2, \dots, x_n$ números distintos, el polinomio de mínimo grado que interpola f y f' en $x_0, x_1, x_2, \dots, x_n$ es el polinomio de Hermite de grado $2n + 1$ dado por

$$H_{2n+1}(x) = \sum_{j=0}^n f(x_j)H_{n,j}(x) + \sum_{j=0}^n f'(x_j)\hat{H}_{n,j}(x)$$

donde

$$H_{n,j}(x) = [1 - 2(x - x_j)L'_{n,j}(x_j)]L_{n,j}^2(x)$$

$$\hat{H}_{n,j}(x) = (x - x_j)L_{n,j}^2(x)$$

[2, pág. 134].

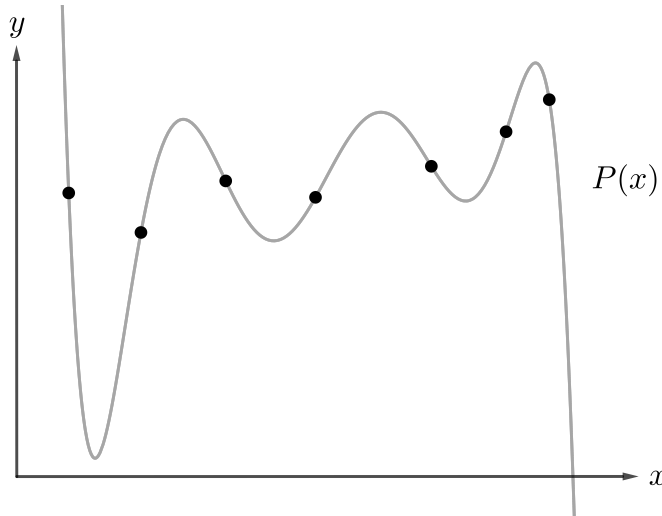


Figura 2.3: Polinomio interpolante de Newton.

Diferencias divididas en el Polinomio de Hermite

Con la finalidad de poder implementar el interpolante de Hermite de una manera más práctica, es posible llegar al polinomio mediante las diferencias divididas de Newton, lo cual reduce el trabajo de calcular los polinomios de Lagrange y su respectiva derivada.

Siendo $x_0, x_1, x_2, \dots, x_n$ números distintos y definidos en f y f' , sean los puntos $z_0, z_1, z_2, \dots, z_{2n+1}$ de la siguiente manera

$$z_{2i} = z_{2i+1} = x_i \text{ para } i = 0, 1, 2, \dots, n$$

notemos que $f[z_{2i}, z_{2i+1}]$ no tiene un valor asignado, para resolverlo podemos dar la siguiente aproximación

$$f[z_{2i}, z_{2i+1}] \approx \lim_{h \rightarrow 0} \frac{f(x_i + h) - f(x_i)}{h} = f'(x_i)$$

para $i = 0, 1, 2, \dots, n$.

Entonces, la nueva expresión del polinomio de Hermite de grado $2n + 1$ será

$$H_{2n+1}(x) = f[z_0] + \sum_{j=1}^{2n+1} f[z_0, z_1, \dots, z_j](x - z_0)(x - z_1), \dots, (x - z_{j-1})$$

[2, pág. 137-138].

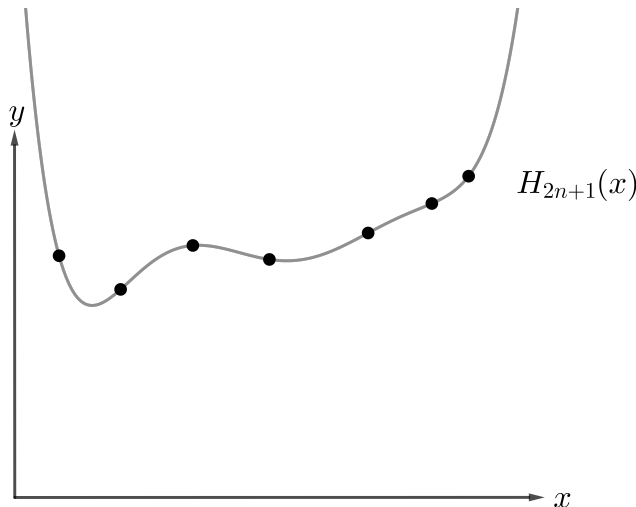


Figura 2.4: Polinomio interpolante de Hermite.

2.2. Interpolación Polinomial a Trozos

En la sección anterior se estudiaron los Polinomios Interpolantes de Lagrange, Newton y Hermite, en los cuales el inconveniente es el grado del polinomio generado, si el número de puntos (x_i, y_i) aumenta, entonces también crecerá el grado del mismo apareciendo números que rebasan por mucho la escala de los puntos interpolados, generando una mala estimación de valores intermedios como se muestra en la imagen 2.5.

Con el propósito de disminuir curvaturas tan grandes y así optimizar la estimación, los siguientes interpolantes se construirán a través de polinomios en cada subintervalo formado por los puntos $x_0, x_1, x_2, \dots, x_n$.

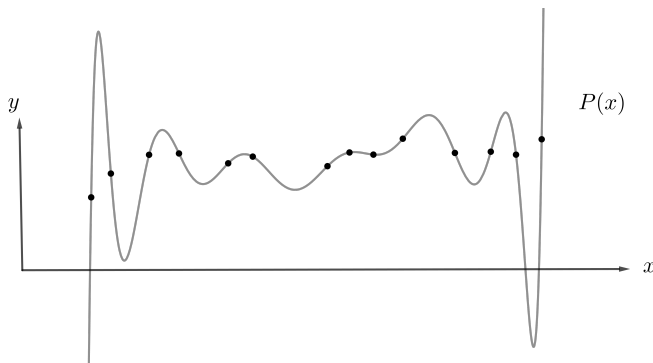


Figura 2.5: Desventaja del polinomio interpolante de Lagrange, Newton y Hermite.

Antes de comenzar a analizar algunos de ellos, veamos los conceptos que se usarán a lo largo de la sección.

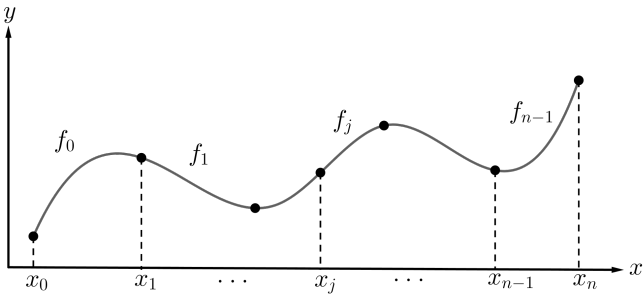


Figura 2.6

Si tenemos $(x_0, y_0), (x_1, y_1), (x_2, y_2), \dots, (x_n, y_n)$ $n + 1$ puntos en \mathbb{R}^2 con $x_0 < x_1 < x_2 < \dots < x_n$, definimos lo siguiente

$$t = x - x_i \text{ para } x \in [x_i, x_{i+1}]$$

$$h_i = x_{i+1} - x_i$$

$$s_i = \frac{y_{i+1} - y_i}{x_{i+1} - x_i} = \frac{y_{i+1} - y_i}{h_i}$$

también a

$$f_i(x) \text{ con } x \in [x_i, x_{i+1}]$$

como el i -ésimo polinomio en el intervalo $[x_i, x_{i+1}]$, para $i = 0, 1, 2, \dots, n - 1$.

2.2.1. Interpolación Lineal

Como primer ejemplo se tiene el interpolante que consiste en unir segmentos de rectas para cada subintervalo de la partición, para lograrlo basta con encontrar la ecuación de la recta entre dos puntos:

$$\begin{aligned}\frac{f_i(x) - y_i}{y_{i+1} - y_i} &= \frac{x - x_i}{x_{i+1} - x_i} \\ f_i(x) &= \frac{y_{i+1} - y_i}{x_{i+1} - x_i}(x - x_i) + y_i \\ f_i(x) &= s_i \cdot t + y_i\end{aligned}$$

para $x \in [x_i, x_{i+1}]$ e $i = 0, 1, 2, \dots, n - 1$, es importante resaltar que el interpolante cumple

$$f_i(x_{i+1}) = f_{i+1}(x_{i+1})$$

para $i = 0, 1, 2, \dots, n - 1$.

2.2.2. Interpolación Spline Cúbico

Con el propósito de encontrar mejores aproximaciones sobre funciones más suaves contemplando supuestos que puedan mejorar la estimación de los datos, se propone un método de interpolación conocido como Spline.

El método de interpolación consiste en construir un polinomio de grado tres por cada dos puntos consecutivos (x_i, y_i) para $i = 0, 1, 2, \dots, n$, dichos polinomios deben cumplir las siguientes condiciones:

1. $f_i(x) = \alpha_i + \beta_i(x - x_i) + \gamma_i(x - x_i)^2 + \delta_i(x - x_i)^3$ para $i = 0, 1, 2, \dots, n - 1$
2. $f_i(x_i) = f(x_i) = y_i$ y $f_i(x_{i+1}) = f(x_{i+1}) = y_{i+1}$ para $i = 0, 1, 2, \dots, n - 1$
3. $f_i(x_{i+1}) = f_{i+1}(x_{i+1})$ para $i = 0, 1, 2, \dots, n - 1$

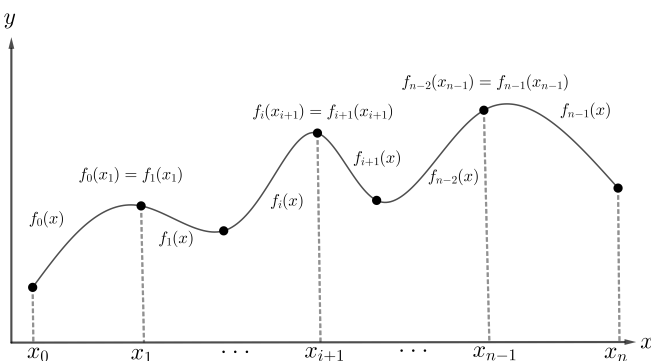


Figura 2.7

4. $f'_i(x_{i+1}) = f'_{i+1}(x_{i+1})$ para $i = 0, 1, 2, \dots, n - 1$

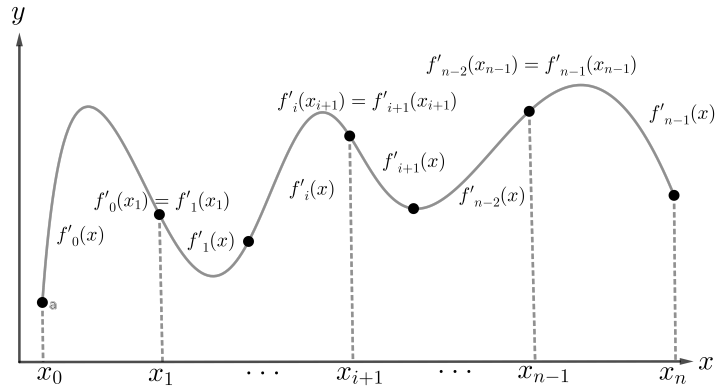


Figura 2.8

5. $f''_i(x_{i+1}) = f''_{i+1}(x_{i+1})$ para $i = 0, 1, 2, \dots, n - 1$

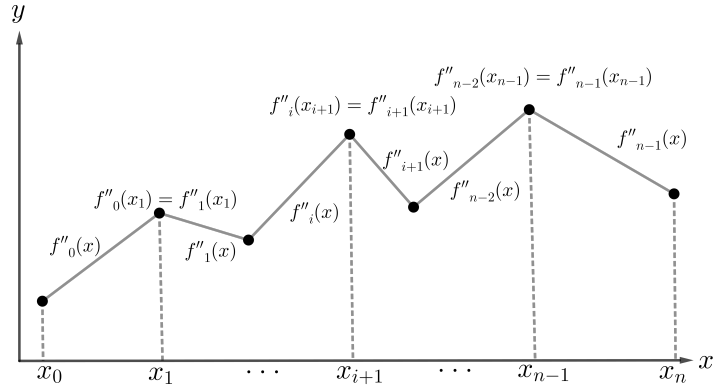


Figura 2.9

Ahora la tarea consiste en encontrar los términos adecuados $\alpha_i, \beta_i, \gamma_i, \delta_i$ de cada uno de los polinomios f_i para $i = 0, 1, 2, \dots, n - 1$ que cumplan con las condiciones anteriores.

Si consideramos evaluar $f_i(x_i)$ para $i = 0, 1, 2, \dots, n - 1$ obtenemos cada α_i

$$f_i(x_i) = \alpha_i + \beta_i(x_i - x_i) + \gamma_i(x_i - x_i)^2 + \delta_i(x_i - x_i)^3 = \alpha_i$$

$$\alpha_i = y_i$$

de la condición (2) obtenemos que

$$\begin{aligned} f_i(x_{i+1}) &= \alpha_i + \beta_i(x_{i+1} - x_i) + \gamma_i(x_{i+1} - x_i)^2 + \delta_i(x_{i+1} - x_i)^3 \\ f_{i+1}(x_{i+1}) &= \alpha_{i+1} + \beta_{i+1}(x_{i+1} - x_{i+1}) + \gamma_{i+1}(x_{i+1} - x_{i+1})^2 + \delta_{i+1}(x_{i+1} - x_{i+1})^3 \\ \alpha_{i+1} &= \alpha_i + \beta_i(x_{i+1} - x_i) + \gamma_i(x_{i+1} - x_i)^2 + \delta_i(x_{i+1} - x_i)^3 \\ \alpha_{i+1} &= \alpha_i + \beta_i h_i + \gamma_i h_i^2 + \delta_i h_i^3 \end{aligned} \quad (2.1)$$

Para poder encontrar una expresión β_i derivemos el polinomio f_i

$$f'_i(x) = \beta_i + 2\gamma_i(x - x_i) + 3\delta_i(x - x_i)^2$$

tomando en cuenta la condición (4)

$$\begin{aligned} f'_i(x_{i+1}) &= \beta_i + 2\gamma_i(x_{i+1} - x_i) + 3\delta_i(x_{i+1} - x_i)^2 \\ f'_{i+1}(x_{i+1}) &= \beta_{i+1} + 2\gamma_{i+1}(x_{i+1} - x_{i+1}) + 3\delta_{i+1}(x_{i+1} - x_{i+1})^2 \\ \beta_{i+1} &= \beta_i + 2\gamma_i h_i + 3\delta_i h_i^2 \end{aligned} \quad (2.2)$$

Ahora calculando la segunda derivada del polinomio f_i y usando la condición (5) obtenemos

$$f''_i(x) = 2[\gamma_i + 3\delta_i(x - x_i)]$$

$$f''_i(x_{i+1}) = 2[\gamma_i + 3\delta_i(x_{i+1} - x_i)]$$

$$f''_{i+1}(x_{i+1}) = 2[\gamma_{i+1} + 3\delta_{i+1}(x_{i+1} - x_{i+1})] \quad (2.3)$$

$$2\gamma_{i+1} = 2[\gamma_i + 3\delta_i(x_{i+1} - x_i)] \quad (2.3)$$

$$\gamma_{i+1} = \gamma_i + 3\delta_i h_i \quad (2.4)$$

despejando a δ_i de la expresión 2.3 y sustituyendo en las ecuaciones anteriores 2.1 y 2.2

$$\delta_i = \frac{\gamma_{i+1} - \gamma_i}{3h_i}$$

$$\beta_{i+1} = \beta_i + h_i(\gamma_{i+1} + \gamma_i)$$

$$\alpha_{i+1} = \alpha_i + \beta_i h_i + \frac{h_i^2}{3}(2\gamma_i + \gamma_{i+1})$$

obteniendo a β_i de la última ecuación

$$\beta_i = \frac{1}{h_i}(\alpha_{i+1} - \alpha_i) - \frac{h_i}{3}(2\gamma_i + \gamma_{i+1}) \quad (2.5)$$

con este resultado podemos encontrar una expresión para β_{i-1}

$$\beta_{i-1} = \frac{1}{h_{i-1}}(\alpha_i - \alpha_{i-1}) - \frac{h_{i-1}}{3}(2\gamma_{i-1} + \gamma_i) \quad (2.6)$$

aplicando el mismo procedimiento y sustituyendo en la ecuación 2.2

$$\beta_{i+1} = \beta_i + h_i(\gamma_{i+1} + \gamma_i)$$

$$\beta_i = \beta_{i-1} + h_{i-1}(\gamma_i + \gamma_{i-1})$$

$$\frac{1}{h_i}(\alpha_{i+1} - \alpha_i) - \frac{h_i}{3}(2\gamma_i + \gamma_{i+1}) = \frac{1}{h_{i-1}}(\alpha_i - \alpha_{i-1}) - \frac{h_{i-1}}{3}(2\gamma_{i-1} + \gamma_i) + h_{i-1}(\gamma_i + \gamma_{i-1})$$

$$h_i(2\gamma_i + \gamma_{i+1}) + h_{i-1}(2\gamma_i + \gamma_{i-1}) = \frac{3}{h_i}(\alpha_{i+1} - \alpha_i) - \frac{3}{h_{i-1}}(\alpha_i - \alpha_{i-1})$$

$$h_{i-1}\gamma_{i-1} + 2(h_{i-1} + h_i)\gamma_i + h_i\gamma_{i+1} = \frac{3}{h_i}(\alpha_{i+1} - \alpha_i) - \frac{3}{h_{i-1}}(\alpha_i - \alpha_{i-1}) \quad (2.7)$$

para $i = 1, 2, \dots, n - 1$.

Todo el procedimiento anterior se realizó para construir un sistema de ecuaciones y encontrar el valor de γ_i ya que al obtener dichos valores podemos encontrar también los de β_i y δ_i . El proceso deja dos grados libres, los cuales son llamados *condiciones de frontera*, dependiendo de los valores elegidos es como se listan los diferentes tipos de Spline.

Spline Cúbico Natural

La condición de frontera para este Spline Cúbico es el siguiente

$$f_0''(x_0) = 0 \text{ y } f_{n-1}''(x_n) = 0$$

desarrollando para $f_0''(x_0)$ tenemos

$$f_0''(x_0) = 2[\gamma_0 + 3\delta_0(x_0 - x_0)] = 0$$

$$\gamma_0 = 0$$

y ahora para $f_{n-1}''(x_n)$

$$f''_{n-1}(x_n) = 2[\gamma_{n-1} + 3\delta_{n-1}(x_n - x_{n-1})] = 2[\gamma_{n-1} + 3\delta_{n-1}(h_{n-1})] = 0$$

usando la ecuación 2.3

$$2\gamma_n = 2[\gamma_{n-1} + 3\delta_{n-1}(h_{n-1})] = 0$$

$$\gamma_n = 0$$

con las dos ecuaciones obtenidas, el sistema generado por 2.7, se construye un sistema *tridiagonal* o *tipo banda*, para obtener los valores de γ_i , solo basta con resolver el sistema

$$Ax = b$$

donde

$$A = \begin{pmatrix} 1 & 0 & 0 & 0 & \cdots & \cdots & 0 \\ h_0 & 2(h_0 + h_1) & h_1 & \ddots & & & \vdots \\ 0 & h_1 & 2(h_1 + h_2) & h_2 & \ddots & & 0 \\ 0 & 0 & h_2 & 2(h_2 + h_3) & h_3 & \ddots & \vdots \\ \vdots & \ddots & \ddots & \ddots & \ddots & \ddots & \vdots \\ 0 & \dots & \dots & 0 & 2(h_{n-2} + h_{n-1}) & h_{n-1} & 0 \end{pmatrix}$$

$$x = \begin{pmatrix} \gamma_0 \\ \gamma_1 \\ \gamma_2 \\ \vdots \\ \gamma_n \end{pmatrix}$$

$$b = \begin{pmatrix} 0 \\ \frac{3}{h_1}(\alpha_2 - \alpha_1) - \frac{3}{h_0}(\alpha_1 - \alpha_0) \\ \frac{3}{h_2}(\alpha_3 - \alpha_2) - \frac{3}{h_1}(\alpha_2 - \alpha_1) \\ \vdots \\ \frac{3}{h_{n-1}}(\alpha_n - \alpha_{n-1}) - \frac{3}{h_{n-2}}(\alpha_{n-1} - \alpha_{n-2}) \\ 0 \end{pmatrix}$$

Spline Cúbico Completo

El interpolante tiene las condiciones de frontera dadas como :

$$f'_0(x_0) = f'(x_0) \text{ y } f'_{n-1}(x_n) = f'(x_n)$$

desarrollando $f'_0(x_0)$ tenemos

$$f'(x_0) = \beta_0 + 2\gamma_0(x_0 - x_0) + 3\delta_0(x_0 - x_0)^2$$

$$f'(x_0) = \beta_0$$

usando la ecuación 2.6

$$f'(x_0) = \frac{1}{h_0}(\alpha_1 - \alpha_0) - \frac{h_0}{3}(2\gamma_0 + \gamma_1)$$

$$2h_0\gamma_0 + h_0\gamma_1 = \frac{3}{h_0}(\alpha_1 - \alpha_0) - 3f'(x_0)$$

de manera similar con $f'_{n-1}(x_n)$

$$f'(x_n) = \beta_{n-1} + 2\gamma_{n-1}(x_n - x_{n-1}) + 3\delta_{n-1}(x_n - x_{n-1})^2 = \beta_n =$$

$$\beta_{n-1} + h_{n-1}(\gamma_n + \gamma_{n-1}) = \frac{1}{h_{n-1}}(\alpha_n - \alpha_{n-1}) - \frac{h_{n-1}}{3}(2\gamma_{n-1} + \gamma_n) + h_{n-1}(\gamma_n + \gamma_{n-1})$$

$$h_{n-1}\gamma_{n-1} + 2h_{n-1}\gamma_n = 3f'(x_n) - \frac{3}{h_{n-1}}(\alpha_n - \alpha_{n-1})$$

ahora, veamos la nueva matriz y vector del sistema $Ax = b$

$$A = \begin{pmatrix} 2h_0 & h_0 & 0 & 0 & \cdots & \cdots & 0 \\ h_0 & 2(h_0 + h_1) & h_1 & \ddots & & & \vdots \\ 0 & h_1 & 2(h_1 + h_2) & h_2 & \ddots & & 0 \\ 0 & 0 & h_2 & 2(h_2 + h_3) & h_3 & \ddots & \vdots \\ \vdots & \ddots & \ddots & \ddots & \ddots & \ddots & \vdots \\ 0 & \dots & \dots & 0 & 2(h_{n-2} + h_{n-1}) & h_{n-1} & 0 \\ & & & & 0 & h_{n-1} & 2h_{n-1} \end{pmatrix}$$

$$x = \begin{pmatrix} \gamma_0 \\ \gamma_1 \\ \gamma_2 \\ \vdots \\ \gamma_n \end{pmatrix}$$

$$b = \begin{pmatrix} \frac{3}{h_0}(\alpha_1 - \alpha_0) - 3f'(x_0) \\ \frac{3}{h_1}(\alpha_2 - \alpha_1) - \frac{3}{h_0}(\alpha_1 - \alpha_0) \\ \frac{3}{h_2}(\alpha_3 - \alpha_2) - \frac{3}{h_1}(\alpha_2 - \alpha_1) \\ \vdots \\ \frac{3}{h_{n-1}}(\alpha_n - \alpha_{n-1}) - \frac{3}{h_{n-2}}(\alpha_{n-1} - \alpha_{n-2}) \\ 3f'(x_n) - \frac{3}{h_{n-1}}(\alpha_n - \alpha_{n-1}) \end{pmatrix}$$

Spline Cúbico Not-A-Knot

Este Spline, en los puntos frontera, tiene la particularidad de contemplar un supuesto en la tercera derivada. Las condiciones de frontera son

$$f'''_0(x_0) = f'''_1(x_1) \text{ y } f'''_{n-2}(x_{n-1}) = f'''_{n-1}(x_n)$$

derivando obtenemos

$$f'''_i(x) = 6\delta_i$$

usando la ecuación 2.4 y sustituyendo en $f'''_0(x_0) = f'''_1(x_1)$

$$6 \frac{\gamma_1 - \gamma_0}{3h_0} = 6 \frac{\gamma_2 - \gamma_1}{3h_1}$$

$$h_1(\gamma_1 - \gamma_0) = h_0(\gamma_2 - \gamma_1)$$

$$h_1(\gamma_1 - \gamma_0) - h_0(\gamma_2 - \gamma_1) = 0$$

$$-h_1\gamma_0 + (h_0 + h_1)\gamma_1 - h_0\gamma_2 = 0$$

procediendo de la misma forma en $f'''_{n-2}(x_{n-1}) = f'''_{n-1}(x_n)$

$$6 \frac{\gamma_{n-1} - \gamma_{n-2}}{3h_{n-2}} = 6 \frac{\gamma_n - \gamma_{n-1}}{3h_{n-1}}$$

$$h_{n-1}(\gamma_{n-1} - \gamma_{n-2}) = h_{n-2}(\gamma_n - \gamma_{n-1})$$

$$h_{n-1}(\gamma_{n-1} - \gamma_{n-2}) - h_{n-2}(\gamma_n - \gamma_{n-1}) = 0$$

$$-h_{n-1}\gamma_{n-2} + (h_{n-2} + h_{n-1})\gamma_{n-1} - h_{n-2}\gamma_n = 0$$

de manera que el sistema $Ax = b$ es de la siguiente forma

$$A = \begin{pmatrix} -h_1 & h_0 + h_1 & -h_0 & 0 & \cdots & \cdots & 0 \\ h_0 & 2(h_0 + h_1) & h_1 & \ddots & & & \vdots \\ 0 & h_1 & 2(h_1 + h_2) & h_2 & \ddots & & 0 \\ 0 & 0 & h_2 & 2(h_2 + h_3) & h_3 & \ddots & \vdots \\ \vdots & \ddots & \ddots & \ddots & \ddots & & \vdots \\ 0 & \dots & \dots & 0 & 2(h_{n-2} + h_{n-1}) & h_{n-1} & 0 \\ & & & & -h_{n-1} & h_{n-1} + h_{n-2} & -h_{n-2} \end{pmatrix}$$

$$x = \begin{pmatrix} \gamma_0 \\ \gamma_1 \\ \gamma_2 \\ \vdots \\ \gamma_n \end{pmatrix}$$

$$b = \begin{pmatrix} 0 \\ \frac{3}{h_1}(\alpha_2 - \alpha_1) - \frac{3}{h_0}(\alpha_1 - \alpha_0) \\ \frac{3}{h_2}(\alpha_3 - \alpha_2) - \frac{3}{h_1}(\alpha_2 - \alpha_1) \\ \vdots \\ \frac{3}{h_{n-1}}(\alpha_n - \alpha_{n-1}) - \frac{3}{h_{n-2}}(\alpha_{n-1} - \alpha_{n-2}) \\ 0 \end{pmatrix}$$

2.2.3. Interpolación de Hermite Cúbico

La idea del interpolante Hermite Cúbico es construir polinomios de Hermite en cada subintervalo $[x_i, x_{i+1}]$ para $i = 0, 1, \dots, n - 1$.

Para obtener una expresión de cada polinomio f_i , desarrollemos a partir de la definición formal del polinomio de Hermite.

$$f_i(x) = \sum_{j=i}^{i+1} f(x_j)[1 - 2(x - x_j)L'_{i+1,j}(x_j)]L^2_{i+1,j}(x) + \sum_{j=i}^{i+1} f'(x_j)(x - x_j)L^2_{i+1,j}(x)$$

en este caso

$$L_{i+1,j}(x) = \prod_{\substack{k=i \\ k \neq j}}^{i+1} \frac{x - x_k}{x_j - x_k}$$

para $i = 0, 1, \dots, n - 1$.

De $f_i(x)$ obtenemos

$$\begin{aligned} f_i(x) &= f(x_i) \left(1 - \frac{2(x - x_i)}{x_i - x_{i+1}}\right) \left(\frac{x - x_{i+1}}{x_i - x_{i+1}}\right)^2 + \dots \\ &\quad + f(x_{i+1}) \left(1 - \frac{2(x - x_{i+1})}{x_{i+1} - x_i}\right) \left(\frac{x - x_i}{x_{i+1} - x_i}\right)^2 + \dots \\ &\quad + f'(x_i)(x - x_i) \left(\frac{x - x_{i+1}}{x_i - x_{i+1}}\right)^2 + f'(x_{i+1})(x - x_{i+1}) \left(\frac{x - x_i}{x_{i+1} - x_i}\right)^2 \end{aligned}$$

sustituyendo en la ecuación

$$x_{i+1} - x_i = h_i, \quad x - x_i = t, \quad x - x_{i+1} = t - h_i$$

obtenemos

$$f_i(x) = f(x_i) \left(1 + \frac{2t}{h_i}\right) \left(\frac{t - h_i}{h_i}\right)^2 + f(x_{i+1}) \left(1 - \frac{2(t - h_i)}{h_i}\right) \left(\frac{t}{h_i}\right)^2 + \dots$$

$$+ f'(x_i)t \left(\frac{t - h_i}{h_i}\right)^2 + f'(x_{i+1})(t - h_i) \left(\frac{t}{h_i}\right)^2$$

la nueva igualdad da como resultado

$$\begin{aligned} f_i(x) &= \\ f(x_i) + f'(x_i) + \frac{3f(x_{i+1})t^2 + 3f(x_i)t^2 - f'(x_{i+1})t^2h_i - 2f'(x_i)t^2h_i}{h_i^2} + \dots \\ + \frac{\frac{2f(x_i)t^3}{h_i} - \frac{2f(x_{i+1})t^3}{h_i} + f'(x_{i+1})t^3 + f'(x_i)t^3}{h_i^2} &= \dots \\ = f(x_i) + f'(x_i)t + \frac{3s_i - f'(x_{i+1}) - 2f'(x_i)}{h_i}t^2 + -\frac{2s_i - f'(x_{i+1}) - f'(x_i)}{h_i^2}t^3 \end{aligned}$$

definiendo

$$\alpha_i = f(x_i), \beta_i = f'(x_i), \gamma_i = \frac{3s_i - f'(x_{i+1}) - 2f'(x_i)}{h_i}, \delta_i = -\frac{2s_i - f'(x_{i+1}) - f'(x_i)}{h_i^2}$$

obtenemos la expresión

$$f_i(x) = \alpha_i + \beta_i(x - x_i) + \gamma_i(x - x_i)^2 + \delta_i(x - x_i)^3$$

que es el polinomio de Hermite Cúbico.

Notemos la necesidad de obtener la derivada para calcular cada uno de los polinomios, sin embargo no siempre se cuenta con la función f para aproximar f' ni tampoco con los valores de $f'(x_i)$ para $i = 0, 1, \dots, n - 1$, por lo cual se han desarrollado métodos para aproximar $f'(x_i)$ usando únicamente los puntos (x_i, y_i) .

Interpolación Cúbica de Akima

Para comenzar con el desarrollo del interpolante de Akima, es necesario partir de las siguientes construcciones geométricas

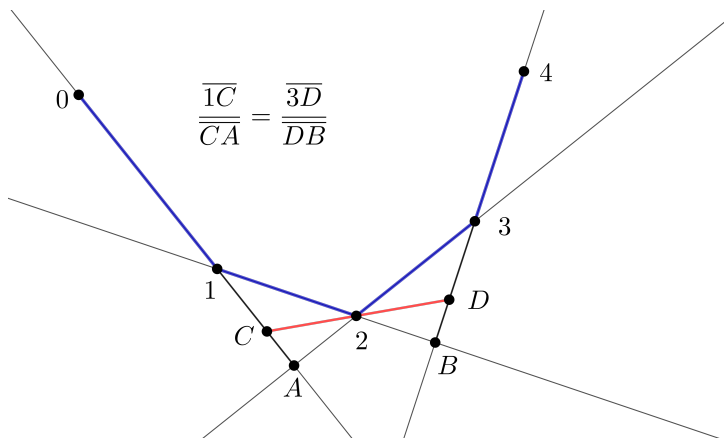


Figura 2.10

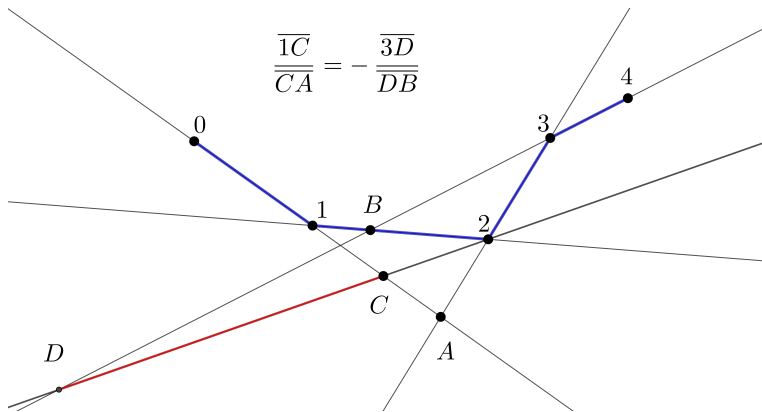


Figura 2.11

El interpolante aproxima la derivada en (x_i, y_i) para $i = 0, 1, \dots, n$, con el propósito de tener información más completa del comportamiento de la pendiente en cada par ordenado, se contemplan dos puntos anteriores y posteriores al que se desea aproximar, en este caso aproximaremos f' en el punto 2 de las figuras 2.10 y 2.11. En las construcciones geométricas anteriores, A es la intersección de la recta formada por 0 y 1 con la que pasa por los puntos 2 y 3 mientras que B es la intersección de la recta formada por 1 y 2 y la que pasa por 4 y 3, C y D corresponde a la intersección de la recta tangente que pasa por 2 con las rectas que pasan por 0 y 1 y la recta que pasa por 4 y 3 respectivamente, el problema ahora consiste en aproximar la pendiente de la recta tangente a 2 en términos de las pendientes de las rectas formadas por los puntos anteriores y posteriores a 2, con lo cual aproximaremos f' en 2.

Un supuesto más que se requiere para calcular la pendiente del segmento \overline{CD} en la figura 2.10

$$\frac{\overline{1C}}{\overline{CA}} = \frac{\overline{3D}}{\overline{DB}} \quad (2.8)$$

de la misma forma para 2.11

$$\frac{\overline{1C}}{\overline{CA}} = \frac{\overline{3D}}{\overline{BD}} \quad (2.9)$$

geométricamente la distancia del segmento \overline{DB} es igual a la de \overline{BD} pero en sentido inverso, es decir que $\overline{DB} = -\overline{BD}$, con lo cual podemos reescribir la ecuación 2.9 como sigue

$$\frac{\overline{1C}}{\overline{CA}} = -\frac{\overline{3D}}{\overline{DB}} \quad (2.10)$$

usando 2.8 y 2.10 llegamos a la siguiente igualdad

$$\left| \frac{\overline{1C}}{\overline{CA}} \right| = \left| \frac{\overline{3D}}{\overline{DB}} \right| \quad (2.11)$$

denotemos las coordenadas de los puntos 0,1,2,3,4,A,B,C y D con (x, y) y los subíndices 0,1,2,3,4,A,B,C y D para cada punto respectivamente, también definimos

$$a_i = x_{i+1} - x_i$$

$$b_i = y_{i+1} - y_i$$

para $i = 0, 1, 3, 4$.

Para encontrar f' en el punto 2 definiremos a $f'(2)$ como

$$f'(2) = \frac{y_d - y_c}{x_d - x_c}$$

que es la pendiente del segmento de recta \overline{CD} que pasa por el punto 2. Con las figuras 2.10 y 2.11 podemos obtener las siguientes igualdades

$$\frac{y_a - y_1}{x_a - x_1} = \frac{y_c - y_1}{x_c - x_1} = \frac{b_0}{a_0} \quad (2.12)$$

$$\frac{y_3 - y_b}{x_3 - x_b} = \frac{y_3 - y_d}{x_3 - x_d} = \frac{b_3}{a_3} \quad (2.13)$$

$$\frac{y_2 - y_a}{x_2 - x_a} = \frac{b_2}{a_2} \quad (2.14)$$

$$\frac{y_b - y_2}{x_b - x_2} = \frac{b_1}{a_1} \quad (2.15)$$

$$\frac{y_2 - y_c}{x_2 - x_c} = \frac{y_d - y_2}{x_d - x_2} = f'(2) \quad (2.16)$$

usando la ecuación 2.12 obtenemos

$$\frac{y_a - y_1 + (y_2 - y_2)}{x_a - x_1 + (x_2 - x_2)} = \frac{y_a - y_2 + y_2 - y_1}{x_a - x_2 + x_2 - x_1} = \frac{y_2 - y_a - b_1}{x_2 - x_a - a_1} = \frac{b_0}{a_0} \quad (2.17)$$

de la igualdad 2.17 se tiene

$$x_2 - x_a = \frac{a_0(y_2 - y_a - b_1)}{b_0} + a_1 = \frac{a_0(y_2 - y_a - b_1) + b_0 a_1}{b_0}$$

con 2.14

$$\begin{aligned} x_2 - x_a &= \frac{\frac{b_2}{a_2}(x_2 - x_a) - a_0 b_1 + b_0 a_1}{b_0} = \frac{a_0 b_2(x_2 - x_a) - a_2 a_0 b_1 + a_2 b_0 a_1}{a_2 b_0} \\ &\frac{a_2 b_0(x_2 - x_a) - a_0 b_2(x_2 - x_a)}{a_2} = -a_0 b_1 + a_1 b_0 \\ \frac{x_2 - x_a}{a_2} &= \frac{a_0 b_1 - a_1 b_0}{a_0 b_2 - a_2 b_0} \end{aligned} \quad (2.18)$$

de las ecuaciones 2.13 y 2.15

$$\frac{y_3 - y_b + (y_2 - y_2)}{x_3 - x_b + (x_2 - x_2)} = \frac{-y_b + y_2 + y_2 - y_1}{-x_b + x_2 + x_3 - x_2} = \frac{y_b - y_2 - b_2}{x_b - x_2 - a_2} = \frac{b_3}{a_3}$$

$$x_b - x_2 = \frac{a_3(y_b - y_2 - b_2)}{b_3} + a_2 = \frac{a_3(y_b - y_2 - b_2) + b_3 a_2}{b_3}$$

$$\begin{aligned} x_b - x_2 &= \frac{\frac{b_1}{a_1}(x_b - x_2) - a_3 b_2 + b_3 a_2}{b_3} = \frac{a_3 b_1(x_b - x_2) - a_1 a_3 b_2 + a_1 b_3 a_2}{a_1 b_3} \\ &\frac{a_1 b_3(x_b - x_2) - a_3 b_1(x_b - x_2)}{a_1} = -a_3 b_2 + a_2 b_3 \end{aligned}$$

$$\frac{x_b - x_2}{a_1} = \frac{a_2 b_3 - a_3 b_2}{a_1 b_3 - a_3 b_1} \quad (2.19)$$

de 2.12 y 2.16

$$\frac{y_c - y_1 + (y_2 - y_2)}{x_c - x_1 + (x_2 - x_2)} = \frac{y_c - y_2 + y_2 - y_1}{x_c - x_2 + x_2 - x_1} = \frac{y_2 - y_c - b_1}{x_2 - x_c - a_1} = \frac{b_0}{a_0}$$

$$x_2 - x_c = \frac{a_0(y_2 - y_c - b_1)}{b_0} + a_1 = \frac{a_0(y_2 - y_c - b_1) + b_0 a_1}{b_0}$$

$$x_2 - x_c = \frac{a_0 f'(2)(x_2 - x_c) - a_0 b_1 + b_0 a_1}{b_0}$$

$$b_0(x_2 - x_c) - a_0 f'(2)(x_2 - x_c) = -a_0 b_1 + a_1 b_0$$

$$x_2 - x_c = \frac{a_0 b_1 - a_1 b_0}{a_0 f'(2) - b_0} \quad (2.20)$$

de manera similar utilizamos 2.13 y 2.16

$$\frac{y_3 - y_d + (y_2 - y_2)}{x_3 - x_d + (x_2 - x_2)} = \frac{-y_d + y_2 - y_2 + y_3}{-x_d - x_2 + x_2 + x_3} = \frac{y_d - y_2 - b_2}{x_d - x_2 - a_2} = \frac{b_3}{a_3}$$

$$x_d - x_2 = \frac{a_3(y_d - y_2 - b_2)}{b_3} + a_2 = \frac{a_3(y_d - y_2 - b_2) + b_3 a_2}{b_3}$$

$$x_d - x_2 = \frac{a_3 f'(2)(x_d - x_2) - a_3 b_2 + b_3 a_2}{b_3}$$

$$b_3(x_d - x_2) - a_3 f'(2)(x_d - x_2) = -a_3 b_2 + a_2 b_3$$

$$x_d - x_2 = \frac{a_2 b_3 - a_3 b_2}{b_3 - a_3 f'(2)} \quad (2.21)$$

nuevamente con el supuesto de 2.11 es posible ver a la ecuación como sigue

$$\left| \frac{x_1 - x_c}{x_c - x_a} \right| = \left| \frac{x_3 - x_d}{x_d - x_b} \right|$$

$$\left| \frac{x_1 - x_c + (x_2 - x_2)}{x_c - x_a + (x_2 - x_2)} \right| = \left| \frac{x_3 - x_d + (x_2 - x_2)}{x_d - x_b + (x_2 - x_2)} \right|$$

$$\left| \frac{x_2 - x_c - (x_2 - x_1)}{x_2 - x_a - (x_2 - x_c)} \right| = \left| \frac{x_3 - x_2 - (x_d - x_2)}{x_d - x_2 - (x_b - x_2)} \right|$$

$$\left| \frac{(x_2 - x_c) - a_1}{(x_2 - x_a) - (x_2 - x_c)} \right| = \left| \frac{a_2 - (x_d - x_2)}{(x_d - x_2) - (x_b - x_2)} \right| \quad (2.22)$$

sustituyendo en 2.22 las ecuaciones 2.18,2.19,2.20 y 2.21 obtenemos

$$\begin{aligned}
& \left| \frac{\frac{a_0b_1 - a_1b_0}{a_0f'(2) - b_0} - a_1}{a_2 \frac{a_0b_1 - a_1b_0}{a_0b_2 - a_2b_0} - \frac{a_0b_1 - a_1b_0}{a_0f'(2) - b_0}} \right| = \left| \frac{a_2 - \frac{a_2b_3 - a_3b_2}{b_3 - a_3f'(2)}}{\frac{a_2b_3 - a_3b_2}{b_3 - a_3f'(2)} - a_1 \frac{a_2b_3 - a_3b_2}{a_1b_3 - a_3b_1}} \right| \\
& \left| - \frac{(a_0b_2 - a_2b_0)(f'(2)a_1 - b_1)}{(a_0b_1 - a_1b_0)(f'(2)a_2 - b_2)} \right| = \left| - \frac{(a_1b_3 - a_3b_1)(f'(2)a_2 - b_2)}{(a_2b_3 - a_3b_2)(f'(2)a_1 - b_1)} \right| \\
& |(a_0b_2 - a_2b_0)(f'(2)a_1 - b_1)(a_2b_3 - a_3b_2)(f'(2)a_1 - b_1)| = \\
& |(a_1b_3 - a_3b_1)(f'(2)a_2 - b_2)(a_0b_1 - a_1b_0)(f'(2)a_2 - b_2)| \\
& |(a_0b_2 - a_2b_0)(a_2b_3 - a_3b_2)| (f'(2)a_1 - b_1)^2 = \\
& |(a_1b_3 - a_3b_1)(a_0b_1 - a_1b_0)| (f'(2)a_2 - b_2)^2 \tag{2.23}
\end{aligned}$$

usando las figuras 2.10 y 2.11 podemos llegar a las siguientes desigualdades

$$\begin{aligned}
0 &< \frac{b_2}{a_2} + \frac{b_1}{a_1} = \frac{a_1b_2 + a_2b_1}{a_1a_2} \\
\frac{b_1b_2}{a_1a_2} &\leq 0 \\
f'(2)^2a_1a_2 &\leq 0 \\
\frac{f'(2)^2a_1a_2}{a_1a_2} - f'(2)\frac{a_1b_2 + a_2b_1}{a_1a_2} + \frac{b_1b_2}{a_1a_2} &\leq 0 \\
\frac{f'(2)^2a_1a_2 + (-a_1b_2 - b_1a_2)f'(2) + b_1b_2}{a_1a_2} &\leq 0 \\
\frac{(f'(2)a_1 - b_1)(f'(2)a_2 - b_2)}{a_1a_2} &\leq 0 \\
(f'(2)a_1 - b_1)(f'(2)a_2 - b_2) &\leq 0 \tag{2.24}
\end{aligned}$$

con las ecuaciones 2.23 y 2.24 obtenemos

$$\begin{aligned}
& |(a_0b_2 - a_2b_0)(a_2b_3 - a_3b_2)|^{\frac{1}{2}} |f'(2)a_1 - b_1| = \\
& |(a_1b_3 - a_3b_1)(a_0b_1 - a_1b_0)|^{\frac{1}{2}} |f'(2)a_2 - b_2| \\
& |(a_0b_2 - a_2b_0)(a_2b_3 - a_3b_2)|^{\frac{1}{2}} (f'(2)a_1 - b_1) = \\
& |(a_1b_3 - a_3b_1)(a_0b_1 - a_1b_0)|^{\frac{1}{2}} (b_2 - f'(2)a_2)
\end{aligned}$$

$$f(2)' = \frac{|(a_1b_3 - a_3b_1)(a_0b_1 - a_1b_0)|^{\frac{1}{2}}b_2 + |(a_0b_2 - a_2b_0)(a_2b_3 - a_3b_2)|^{\frac{1}{2}}b_1}{|(a_1b_3 - a_3b_1)(a_0b_1 - a_1b_0)|^{\frac{1}{2}}a_2 + |(a_0b_2 - a_2b_0)(a_2b_3 - a_3b_2)|^{\frac{1}{2}}a_1} \quad (2.25)$$

definamos la siguiente notación

$$R_{i,j} = a_i b_j - a_j b_i$$

con lo cual reescribimos la ecuación 2.25 como

$$\begin{aligned} f(2)' &= \frac{|R_{1,3}R_{0,1}|^{\frac{1}{2}}b_2 + |R_{0,2}R_{2,3}|^{\frac{1}{2}}b_1}{|R_{1,3}R_{0,1}|^{\frac{1}{2}}b_2 + |R_{0,2}R_{2,3}|^{\frac{1}{2}}b_1} \\ &= \frac{\left| \frac{R_{0,2}R_{2,3}}{a_2^2 a_0 a_3} \right|^{\frac{1}{2}} |a_2|^2 a_0 a_3|^{\frac{1}{2}} b_1 + \left| \frac{R_{0,1}R_{1,3}}{a_1^2 a_0 a_3} \right|^{\frac{1}{2}} |a_1|^2 a_0 a_3|^{\frac{1}{2}} b_2}{\left| \frac{R_{0,2}R_{2,3}}{a_2^2 a_0 a_3} \right|^{\frac{1}{2}} |a_2|^2 a_0 a_3|^{\frac{1}{2}} a_1 + \left| \frac{R_{0,1}R_{1,3}}{a_1^2 a_0 a_3} \right|^{\frac{1}{2}} |a_1|^2 a_0 a_3|^{\frac{1}{2}} a_2} \\ &= \frac{\left| \left(\frac{b_2}{a_2} - \frac{b_0}{a_0} \right) \left(\frac{b_3}{a_3} - \frac{b_2}{a_2} \right) \right|^{\frac{1}{2}} |a_2| b_1 + \left| \left(\frac{b_1}{a_1} - \frac{b_0}{a_0} \right) \left(\frac{b_3}{a_3} - \frac{b_1}{a_1} \right) \right|^{\frac{1}{2}} |a_1| b_2}{\left| \left(\frac{b_2}{a_2} - \frac{b_0}{a_0} \right) \left(\frac{b_3}{a_3} - \frac{b_2}{a_2} \right) \right|^{\frac{1}{2}} |a_2| a_1 + \left| \left(\frac{b_1}{a_1} - \frac{b_0}{a_0} \right) \left(\frac{b_3}{a_3} - \frac{b_1}{a_1} \right) \right|^{\frac{1}{2}} |a_1| a_2} \end{aligned}$$

definimos $|a_2|$ y $|a_1|$ como sigue:

$$|a_1| = (\text{signo de } a_1)a_1$$

$$|a_2| = (\text{signo de } a_2)a_2$$

y también definimos

$$p_1 = (\text{signo de } a_2)|(s_2 - s_0)(s_3 - s_2)|^{\frac{1}{2}}$$

$$p_2 = (\text{signo de } a_1)|(s_1 - s_0)(s_3 - s_1)|^{\frac{1}{2}}$$

con lo cual $f'(2)$ puede reescribirse como:

$$f'(2) = \frac{p_1 a_2 b_1 + p_2 a_1 b_2}{p_1 a_2 a_1 + p_2 a_1 a_2} = \frac{p_1 \frac{b_1}{a_1} + p_2 \frac{b_2}{a_2}}{p_1 + p_2} = \frac{p_1 s_1 + p_2 s_2}{p_1 + p_2} \quad (2.26)$$

podemos observar que la aproximación a $f'(2)$ depende de las pendientes anteriores y posteriores al punto 2, es decir s_0, s_1, s_2 y s_3 y además cumple las siguientes propiedades:

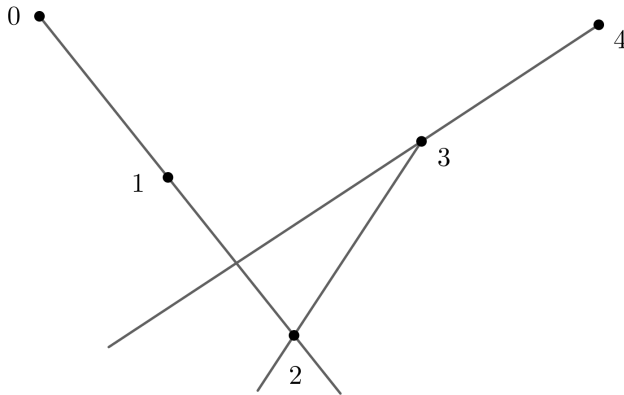


Figura 2.12: Ejemplo cuando se cumple $s_0 = s_1$, $s_0 \neq s_2$ y $s_3 \neq s_2$.

1. Si $s_0 = s_1$, $s_0 \neq s_2$ y $s_3 \neq s_2$ entonces $f'(2) = s_0 = s_1$.
2. Si $s_2 = s_3$, $s_0 \neq s_1$ y $s_3 \neq s_1$ entonces $f'(2) = s_1 = s_2$.

Las propiedades 1 y 2 son muy importantes ya que como vemos en las figuras 2.12 y 2.13 en ocasiones, por la posición de los puntos no podemos encontrar las intersecciones A, B, C y D, aun así la expresión 2.26 ofrece una aproximación, sin embargo dicha expresión no está definida cuando $s_0 = s_1 = s_2$

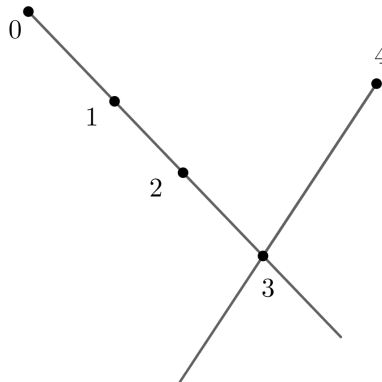


Figura 2.14: Condición $s_0 = s_1 = s_2$.

de manera intuitiva no es difícil dar el valor de $f'(2) = s_0 = s_1 = s_2$, otro inconveniente con la expresión 2.26 surge cuando $s_1 = s_3$, $s_2 \neq s_0$ y $s_3 \neq s_2$ ya que $f'(2) = s_1$ y de forma similar $f'(2) = s_2$ cuando $s_2 = s_0$, $s_1 \neq s_0$ y $s_3 \neq s_1$, lo cual en ambos caso no es una buena aproximación a $f'(2)$ como podemos ver en las siguientes figuras:

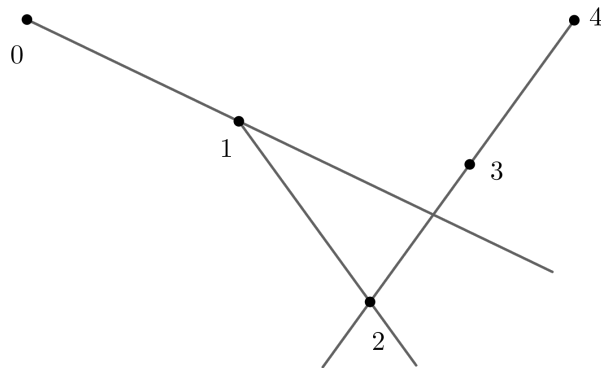
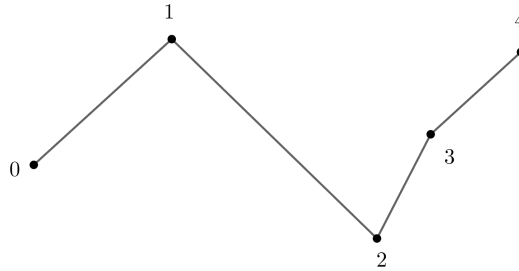
Figura 2.13: Ejemplo cuando se cumple $s_2 = s_3$, $s_0 \neq s_1$ y $s_3 \neq s_4$.

Figura 2.15

debido a los inconvenientes mencionados, es necesario modificar p_1 y p_2 de tal manera que las propiedades 1 y 2 se conserven, basado en las propiedades 1 y 2, p_1 y p_2 se reescriben como sigue:

$$p_1 = |s_3 - s_2|$$

$$p_2 = |s_1 - s_0|$$

[3, pág. 600] con lo cual $f'(2)$ se define como

$$f'(2) = \frac{|s_3 - s_2|s_1 + |s_1 - s_0|s_2}{|s_3 - s_2| + |s_1 - s_0|} \quad (2.27)$$

notemos que la ecuación 2.27 no está definida sólo cuando $s_0 = s_1$ y $s_2 = s_3$, que se puede observar en la siguiente figura

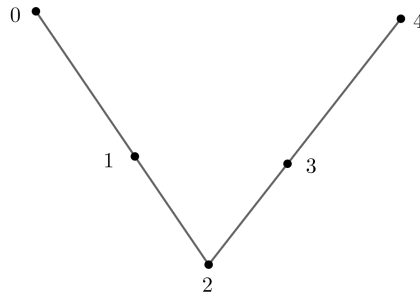


Figura 2.16

en este caso, una aproximación razonable a $f'(2)$ es el promedio de las pendientes s_1 y s_2 .

$$f'(2) = \frac{s_1 + s_2}{2} \quad (2.28)$$

Con lo obtenido anteriormente, podemos generalizar el concepto para n puntos, entonces la expresión final de la interpolación cúbica de Akima es de la siguiente forma

$$f'(x_i) = \begin{cases} \frac{s_{i-1} + s_i}{2} & \text{si } s_{i+1} = s_i \text{ y } s_{i-1} = s_{i-2} \\ \frac{|s_{i+1} - s_i|s_{i-1} + |s_{i-1} - s_{i-2}|s_i}{|s_{i+1} - s_i| + |s_{i-1} - s_{i-2}|} & \text{en otro caso} \end{cases}$$

para $i = 0, 1, 2, \dots, n$.

Debemos observar, que para el cálculo de $f'(x_i)$ necesitamos 2 puntos extra en cada punto frontera (x_0, y_0) y (x_n, y_n) , donde $(x_{-2}, y_{-2}), (x_{-1}, y_{-1})$ son puntos anteriores a (x_0, y_0) y $(x_{n+1}, y_{n+1}), (x_{n+2}, y_{n+2})$ puntos posteriores a (x_n, y_n) , además dichos puntos cumplen

$$x_{-2} < x_{-1} < x_0 < x_1 < \dots < x_{n-1} < x_n < x_{n+1} < x_{n+2}$$

para calcular los nuevos puntos

$$(x_{n-2}, y_{n-2}), (x_{n-1}, y_{n-1}), (x_n, y_n), (x_{n+1}, y_{n+1}), (x_{n+2}, y_{n+2})$$

debemos asumir lo siguiente

$$d_1 = x_{n+2} - x_n = x_{n+1} - x_{n-1} = x_n - x_{n-2} \quad (2.29)$$

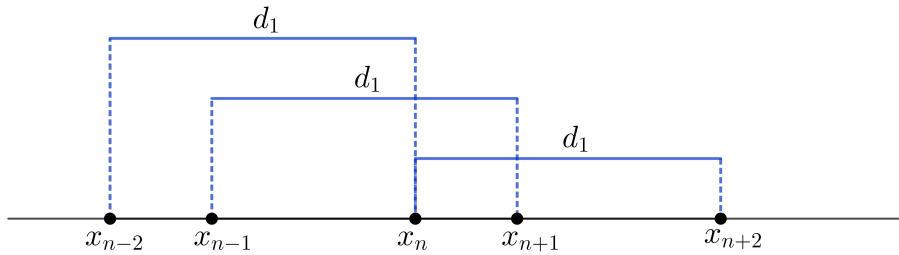


Figura 2.17

y también que (x_i, y_i) para $i = n-2, n-1, \dots, n+2$ pertenecen a una parábola

$$a_0 + a_1(x - x_n) + a_2(x - x_n)^2 \quad (2.30)$$

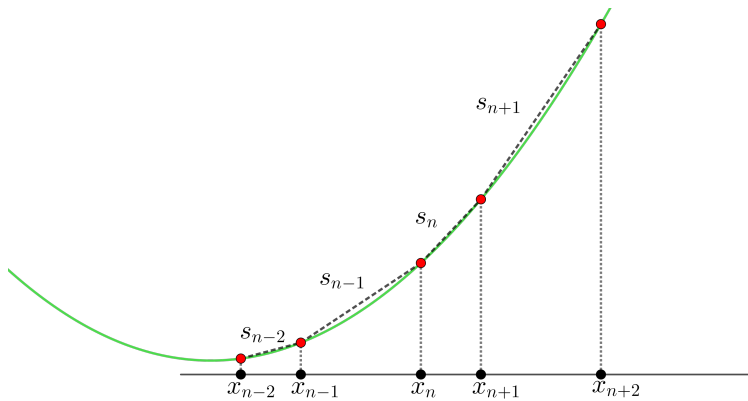


Figura 2.18

de manera análoga en los puntos

$$(x_{-2}, y_{-2}), (x_{-1}, y_{-1}), (x_0, y_0), (x_1, y_1), (x_2, y_2)$$

suponemos que

$$d_2 = x_2 - x_0 = x_1 - x_{-1} = x_0 - x_{-2} \quad (2.31)$$

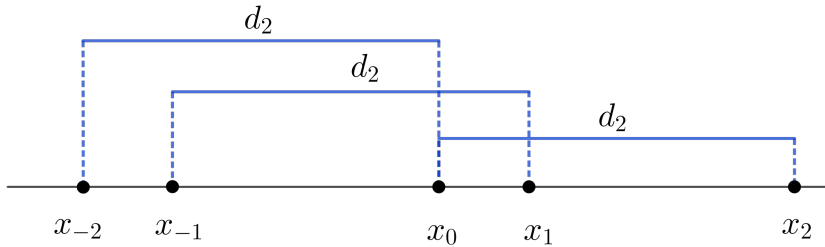


Figura 2.19

y que los puntos (x_i, y_i) para $i = -2, -1, \dots, 2$ forman parte de la parábola

$$g_0 + g_1(x - x_0) + g_2(x - x_0)^2 \quad (2.32)$$

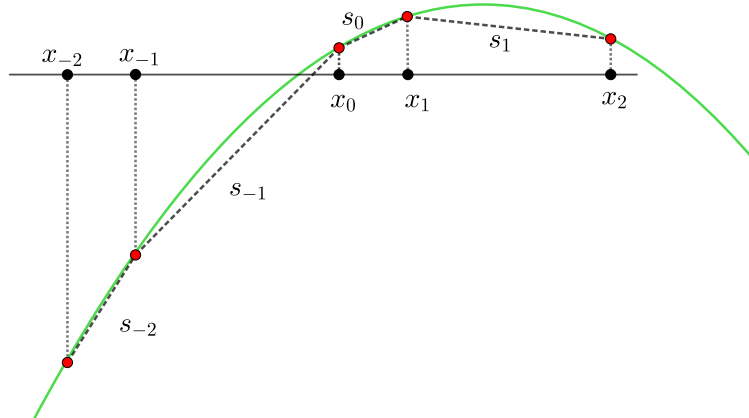


Figura 2.20

gracias a las ecuaciones anteriores podemos verificar lo siguiente

$$s_{n+1} - s_n = s_{n+1} - s_{n-1} = s_{n-1} - s_{n-2}$$

$$s_1 - s_0 = s_0 - s_{-1} = s_{-1} - s_{-2}$$

primero obtenemos

$$y_{n+i} = a_0 + a_1(x_{n+i} - x_n) + a_2(x_{n+i} - x_n)^2$$

$$y_i = g_0 + g_1(x_i - x_0) + g_2(x_i - x_0)^2$$

para $i = -2, -1, 0, 1, 2$, desarrollando las diferencias obtenemos

$$\frac{y_{n+2} - y_{n+1}}{x_{n+2} - x_{n+1}} - \frac{y_{n+1} - y_n}{x_{n+1} - x_n} =$$

$$\frac{(a_0 + a_1(x_{n+2} - x_n) + a_2(x_{n+2} - x_n)^2) - (a_0 + a_1(x_{n+1} - x_n) + a_2(x_{n+1} - x_n)^2)}{x_{n+2} - x_{n+1}} -$$

$$\frac{a_0 + a_1(x_{n+1} - x_n) + a_2(x_{n+1} - x_n)^2 - a_0}{x_{n+1} - x_n} = a_2(x_{n+2} - x_n)$$

$$\frac{y_{n+1} - y_n}{x_{n+1} - x_n} - \frac{y_n - y_{n-1}}{x_n - x_{n-1}} =$$

$$\frac{a_0 + a_1(x_{n+1} - x_n) + a_2(x_{n+1} - x_n)^2 - a_0}{x_{n+1} - x_n} -$$

$$\frac{a_0 - (a_0 + a_1(x_{n-1} - x_n) + a_2(x_{n-1} - x_n)^2)}{x_n - x_{n-1}} = a_2(x_{n+1} - x_{n-1})$$

$$\frac{y_n - y_{n-1}}{x_n - x_{n-1}} - \frac{y_{n-1} - y_{n-2}}{x_{n-1} - x_{n-2}} =$$

$$\frac{a_0 - (a_0 + a_1(x_{n-1} - x_n) + a_2(x_{n-1} - x_n)^2)}{x_n - x_{n-1}} -$$

$$\frac{(a_0 + a_1(x_{n-1} - x_n) + a_2(x_{n-1} - x_n)^2) - (a_0 + a_1(x_{n-2} - x_n) + a_2(x_{n-2} - x_n)^2)}{x_{n-1} - x_{n-2}}$$

$$= a_2(x_n - x_{n-2})$$

usando la ecuación 2.29

$$a_2(x_{n+2} - x_n) = a_2(x_{n+1} - x_{n-1}) = a_2(x_n - x_{n-2})$$

por lo tanto

$$\frac{y_{n+2} - y_{n+1}}{x_{n+2} - x_{n+1}} - \frac{y_{n+1} - y_n}{x_{n+1} - x_n} = \frac{y_{n+1} - y_n}{x_{n+1} - x_n} - \frac{y_n - y_{n-1}}{x_n - x_{n-1}} = \frac{y_n - y_{n-1}}{x_n - x_{n-1}} - \frac{y_{n-1} - y_{n-2}}{x_{n-1} - x_{n-2}} \quad (2.33)$$

de manera similar calculamos

$$\frac{y_2 - y_1}{x_2 - x_1} - \frac{y_1 - y_0}{x_1 - x_0} =$$

$$\frac{(g_0 + g_1(x_2 - x_0) + g_2(x_2 - x_0)^2) - (g_0 + g_1(x_1 - x_0) + g_2(x_1 - x_0)^2)}{x_2 - x_1} -$$

$$\frac{g_0 + g_1(x_1 - x_0) + g_2(x_1 - x_0)^2 - g_0}{x_1 - x_0} = g_2(x_2 - x_0)$$

$$\frac{y_1 - y_0}{x_1 - x_0} - \frac{y_0 - y_{-1}}{x_0 - x_{-1}} =$$

$$\frac{g_0 + g_1(x_1 - x_0) + g_2(x_1 - x_0)^2 - g_0}{x_1 - x_0} -$$

$$\frac{g_0 - (g_0 + g_1(x_{-1} - x_0) + g_2(x_{-1} - x_0)^2)}{x_0 - x_{-1}} = g_2(x_1 - x_{-1})$$

$$\frac{y_0 - y_{-1}}{x_0 - x_{-1}} - \frac{y_{-1} - y_{-2}}{x_{-1} - x_{-2}} =$$

$$\frac{g_0 - (g_0 + g_1(x_{-1} - x_0) + g_2(x_{-1} - x_0)^2)}{x_0 - x_{-1}} -$$

$$\frac{(g_0 + g_1(x_{-1} - x_0) + g_2(x_{-1} - x_0)^2) - (g_0 + g_1(x_{-2} - x_0) + g_2(x_{-2} - x_0)^2)}{x_{-1} - x_{-2}}$$

$$= g_2(x_0 - x_{-2})$$

y con la ecuación 2.31 se tiene

$$g_2(x_2 - x_0) = g_2(x_1 - x_{-1}) = g_2(x_0 - x_{-2})$$

por lo tanto

$$\frac{y_2 - y_1}{x_2 - x_1} - \frac{y_1 - y_0}{x_1 - x_0} = \frac{y_1 - y_0}{x_1 - x_0} - \frac{y_0 - y_{-1}}{x_0 - x_{-1}} = \frac{y_0 - y_{-1}}{x_0 - x_{-1}} - \frac{y_{-1} - y_{-2}}{x_{-1} - x_{-2}} \quad (2.34)$$

usando las ecuaciones 2.29, 2.31, 2.33 y 2.34 podemos obtener el valor los puntos extras necesarios,

$$x_{n+2} = 2x_n - x_{n-2}$$

$$x_{n+1} = x_n + x_{n-1} - x_{n-2}$$

$$y_{n+1} = \left(\frac{2(y_n - y_{n-1})}{x_n - x_{n-1}} - \frac{y_{n-1} - y_{n-2}}{x_{n-1} - x_{n-2}} \right) (x_{n+1} - x_n) + y_n$$

$$\begin{aligned}
 y_{n+2} &= \left(\frac{2(y_{n+1} - y_n)}{x_{n+1} - x_n} - \frac{y_n - y_{n-1}}{x_n - x_{n-1}} \right) (x_{n+2} - x_{n+1}) + y_{n+1} \\
 x_{-2} &= 2x_0 - x_2 \\
 x_{-1} &= x_0 + x_1 - x_2 \\
 y_{-1} &= y_0 - \left(\frac{2(y_1 - y_0)}{x_1 - x_0} - \frac{y_2 - y_1}{x_2 - x_1} \right) (x_0 - x_{-1}) \\
 y_{-2} &= y_{-1} - \left(\frac{2(y_0 - y_{-1})}{x_0 - x_{-1}} - \frac{y_1 - y_0}{x_1 - x_0} \right) (x_{-1} - x_{-2})
 \end{aligned}$$

calculando estos puntos tenemos todo lo necesario para implementar el interpolante.

Interpolación Restringida

A diferencia del método anterior, la interpolación restringida no requiere de puntos extra. Usando como base la “media armónica” para dos números a_1 y a_2 :

$$\frac{2a_1a_2}{a_1 + a_2} = \frac{2}{\frac{1}{a_1} + \frac{1}{a_2}}$$

se usa lo anterior para hallar una aproximación a f' como se muestra en la figura siguiente

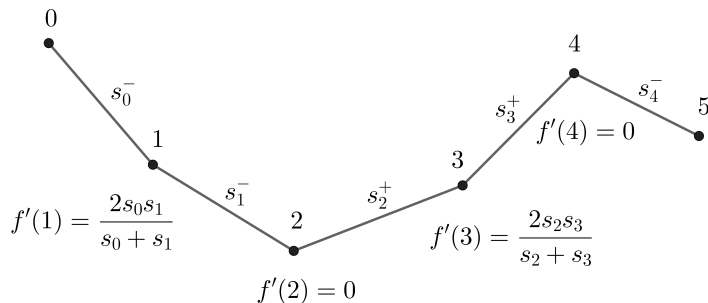


Figura 2.21: Uso de la media armónica para aproximar f' .

podemos observar que para aproximar f' en los puntos 1 y 3, se calculan las pendientes con el punto anterior y posterior de 1 y 3 respectivamente, después se calcula la media armónica de ambas pendientes, para los puntos 2 y 4 vemos que en las pendientes alrededor de cada punto son de signo distinto, en este caso se asume que hay un mínimo local y un máximo local en 2 y 4 respectivamente y se da por hecho que $f' = 0$, con este razonamiento podemos generalizar la aproximación a f' mediante la siguiente definición

$$f'(x_i) = \begin{cases} 0 & \text{si la pendiente cambia de signo} \\ \frac{2s_{i-1}s_i}{s_{i-1} + s_i} = \frac{2}{1/s_{i-1} + 1/s_i} & \text{en otro caso} \end{cases}$$

para $i = 1, 2, \dots, n - 1$.

Es importante notar que la aproximación a f' no estará definida si $s_{i-1} = s_i = 0$, para obtener la aproximación en los puntos frontera, usamos las siguientes condiciones

$$f''(x_0) = f''(x_n) = 0$$

$$f''(x_0) = f''(x_0) = 2\gamma_0 + 6\delta_0(x_0 - x_0) = 0$$

$$2\gamma_0 = 0$$

sustituyendo y despejando

$$2 \frac{3s_0 - f'(x_1) - 2f'(x_0)}{(x_1 - x_0)} = 0$$

$$2f'(x_0) = 3s_0 - f'(x_1)$$

$$f'(x_0) = \frac{3}{2}s_0 - \frac{1}{2}f'(x_1)$$

de forma análoga

$$f''(x_n) = f''_{n-1}(x_n) = 0$$

$$2 \frac{3s_{n-1} - f'(x_n) - 2f'(x_{n-1})}{h_{n-1}} - 6 \frac{2s_{n-1} - f'(x_n) - f'(x_{n-1})}{h_{n-1}^2} h_{n-1} = 0$$

$$3s_{n-1} - f'(x_n) - 2f'(x_{n-1}) - 6s_{n-1} + 3f'(x_n) + 3f'(x_{n-1}) = 0$$

$$-2f'(x_n) = -3s_{n-1} + f'(x_{n-1})$$

$$f'(x_n) = \frac{3}{2}s_{n-1} - \frac{1}{2}f'(x_{n-1})$$

Interpolación de Preservación Monótona

La propuesta para estimar f' en cada punto es la siguiente

$$f'(x_i) = \begin{cases} 0 & \text{si } s_{i-1}s_i \leq 0 \\ \left(\frac{h_{i-1} + 2h_i}{3(h_i + h_{i-1})s_{i-1}} + \frac{2h_{i-1} + h_i}{3(h_i + h_{i-1})s_i} \right)^{-1} & \text{si } s_{i-1}s_i > 0 \end{cases}$$

para $i = 1, 2, \dots, n - 1$.

en los puntos frontera se define como

$$f'(x_0) = \begin{cases} 0 & \text{si } g_0s_0 \leq 0 \\ 3s_0 & \text{si } s_0s_1 \leq 0 \text{ y } |g_0| > 3|s_0| \\ g_0 & \text{en otro caso} \end{cases}$$

$$f'(x_n) = \begin{cases} 0 & \text{si } g_ns_{n-1} \leq 0 \\ 3s_{n-1} & \text{si } s_{n-1}s_{n-2} \leq 0 \text{ y } |g_n| > 3|s_{n-1}| \\ g_n & \text{en otro caso} \end{cases}$$

donde

$$g_0 = \frac{2h_0 + h_1}{h_0 + h_1}s_0 - \frac{h_0}{h_0 + h_1}s_1$$

$$g_n = \frac{2h_{n-1} + h_{n-2}}{h_{n-1} + h_{n-2}}s_{n-1} - \frac{h_{n-1}}{h_{n-1} + h_{n-2}}s_{n-2}$$

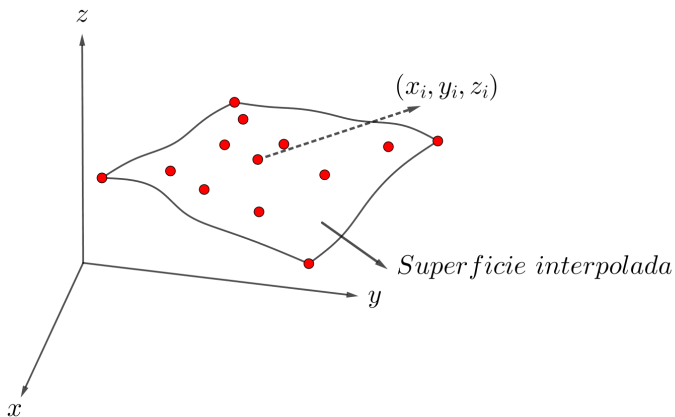
[1, pág. 7]

Hemos estudiado diferentes métodos de interpolación univariada, comparando las características de cada uno, estos métodos servirán como base para construir un método bivariado de interpolación y poder determinar cual de ellos ofrece mejores resultados.

Capítulo 3

Interpolación Bivariada

En el capítulo anterior se estudiaron métodos de interpolación en una variable, es decir, dado un conjunto de puntos (x_i, y_i) , para $i = 0, 1, \dots, n$, obtenemos valores intermedios entre cada uno de ellos, en este capítulo, se analizarán métodos para interpolar en forma bivariada, donde dado un conjuntos de puntos (x_i, y_i, z_i) para $i = 1, 2, \dots, n$, aproximaremos valores que están dentro de la región que forman estos puntos.



3.1. Interpolación Bivariada Mediante Interpolaciones Univariadas (IBMIU)

El primer acercamiento para interpolar en dos dimensiones es usar los interpolantes de una variable, ya que la idea principal es realizar una serie de interpolaciones primero sobre el eje (x, z) y finalmente una vez aproximados la serie de valores interpolar sobre el eje (y, z) , es importante resaltar que la implementación del propuesto es posible si los puntos están regularmente distribuidos.

A continuación se describen los pasos para realizar el método

1. Sea (x_{ii}, y_{ii}) el punto al cual se le desea aproximar un valor z_{ii}

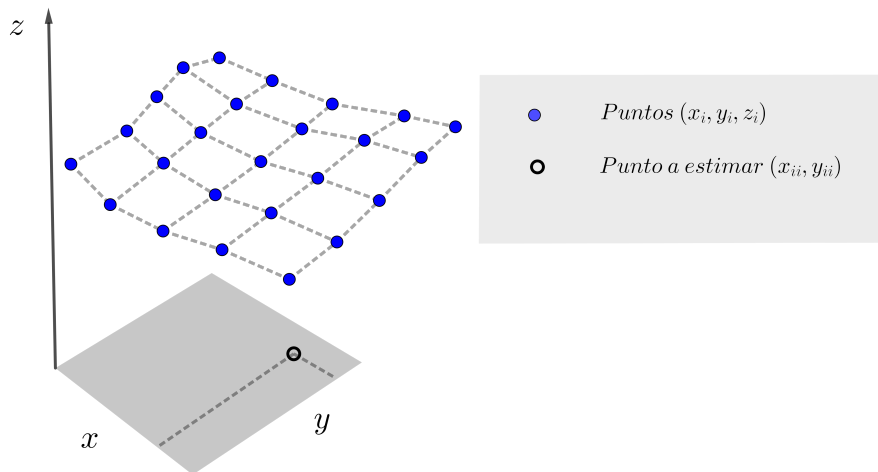


Figura 3.1

realizamos una serie de interpolaciones en el plano (x, z) para encontrar una serie de valores en z para el punto x_{ii} , llamaremos a esa serie de puntos z_{ip}

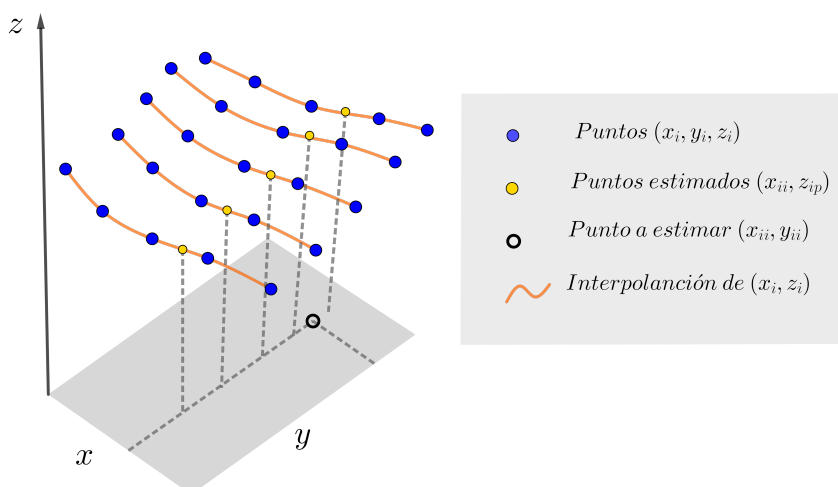


Figura 3.2

3.1. INTERPOLACIÓN BIVARIADA MEDIANTE INTERPOLACIONES UNIVARIADAS

2. Una vez obtenida la serie de puntos z_{ip} , interpolamos en el plano (y, z) la serie de puntos (y_i, z_{ip}) para estimar el valor z_{ii} en y_{ii}

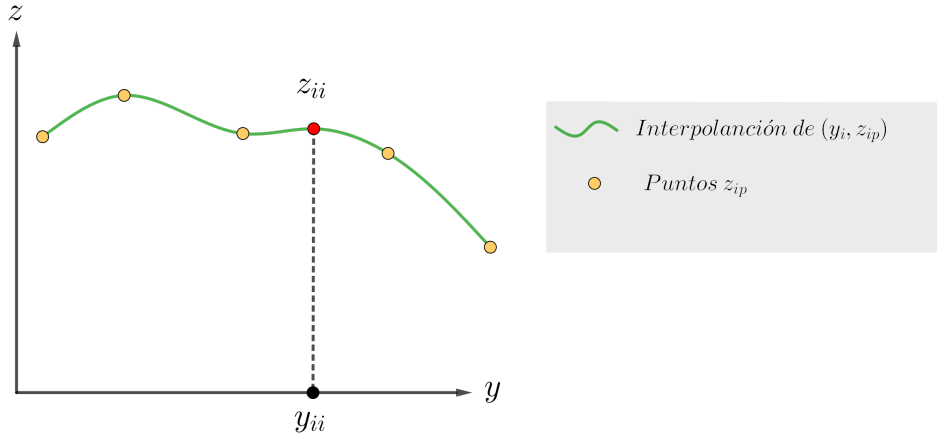


Figura 3.3

3. El punto z_{ii} estimado en el paso anterior es la aproximación bivariada del punto (x_{ii}, y_{ii}, z_{ii})

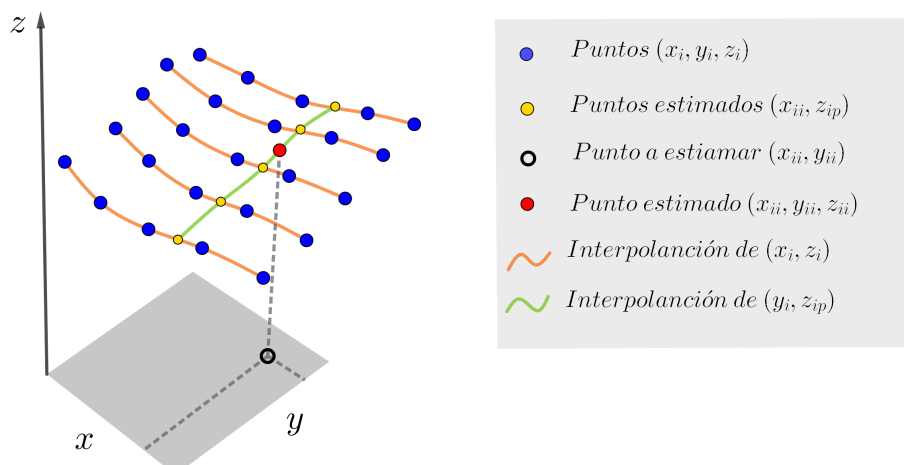


Figura 3.4

Es importante notar que todas las interpolaciones deben hacerse con el mismo método (Spline, Akima, etc.).

3.2. Interpolación Bivariada de Akima

En la sección anterior se usaron los interpolantes unidimensionales para realizar una interpolación bivarida en los puntos (x_i, y_i, z_i) y aproximar valores en la región formada, ahora se estudiará un método descrito en el siguiente artículo [4, pág. 15-25], el cual consiste en realizar la interpolación de los puntos (x_i, y_i, z_i) creando una malla triangular con base a su posición y construyendo polinomios de grado cinco con la siguiente estructura

$$z(x, y) = \sum_{j=0}^5 \sum_{k=0}^{5-j} q_{jk} x^j y^k$$

para cada triángulo formado

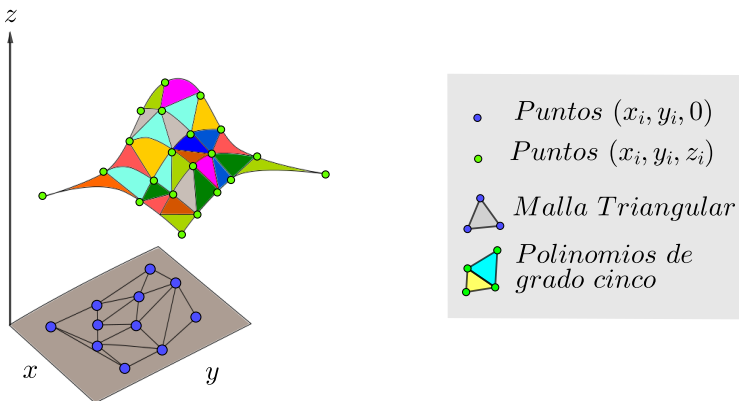


Figura 3.5

ahora veremos los pasos para encontrar los coeficientes adecuados para cada polinomio de la malla construida con base a nuestros puntos (x_i, y_i, z_i) .

3.2.1. Triangulación

El primer paso para realizar la interpolación Bivariada de Akima, es construir una malla triangular uniendo solamente los puntos (x_i, y_i) en el dominio, mediante los siguientes pasos:

1. Determinamos el par de puntos más cercanos y dibujamos un segmento de linea entre ellos.

2. Buscamos en los puntos restantes, el par de puntos más cercanos y dibujamos un segmento de recta entre ellos siempre y cuando no cruce con algún segmento anterior.
3. Repetimos el paso 2 hasta agotar todos los posibles pares de puntos que puedan formarse.

A continuación se muestran dos gráficas que dan un ejemplo de la construcción de una malla triangular, dado un conjunto de puntos (x_i, y_i) distribuidos irregularmente.

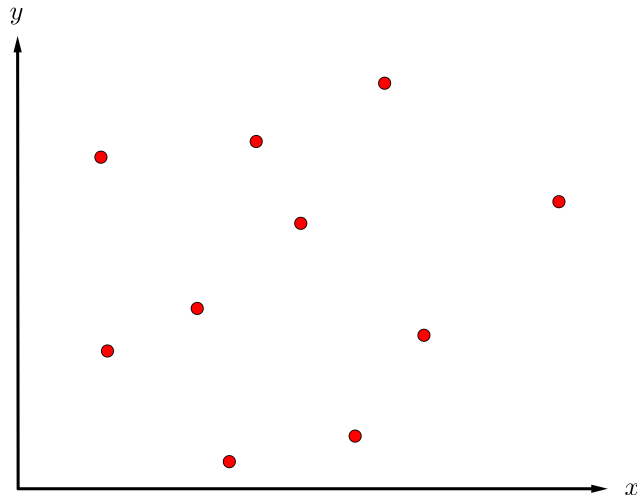


Figura 3.6: Conjunto de puntos (x_i, y_i) distribuidos irregularmente.

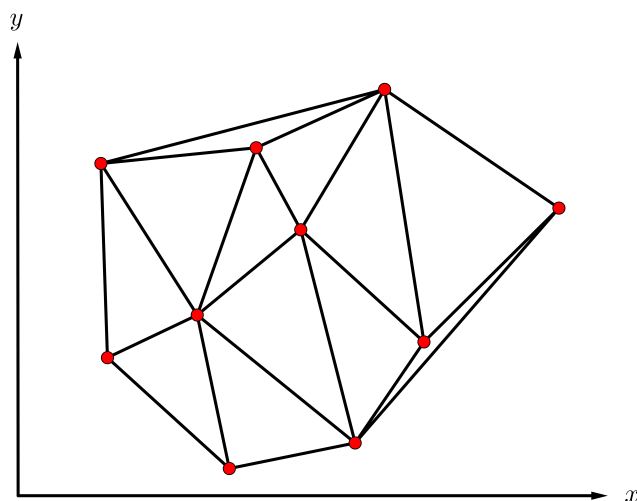


Figura 3.7: Triangulación de puntos (x_i, y_i) .

3.2.2. Aproximación a las derivadas parciales

Para poder encontrar los coeficientes de los polinomios tal que formen en conjunto una superficie suave, es necesario tener una valor estimado de las derivadas parciales z_x, z_y, z_{xx}, z_{xy} y z_{yy} para cada punto (x_i, y_i, z_i) , como se muestra en las figuras

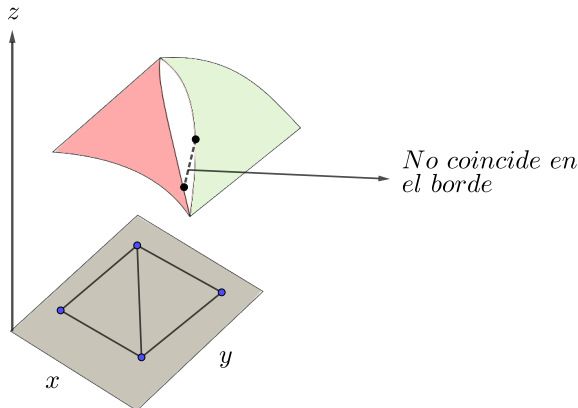


Figura 3.8: Superficie no suave (sin derivadas parciales).

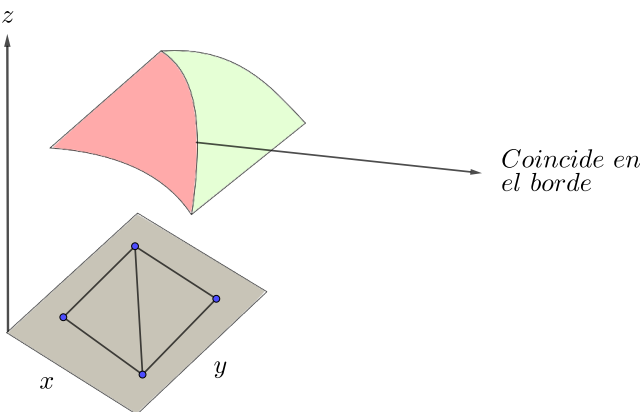


Figura 3.9: Superficie suave (con derivadas parciales).

a continuación se desarrollará un método para aproximar las derivadas parciales

1. Sea $P_i = (x_i, y_i, z_i)$ donde $i = 1, \dots, n$, para P_1 , buscamos las proyecciones más cercanas de cada P_i a la proyección de P_1 , es decir, buscamos los puntos $(x_i, y_i, 0)$ para $i = 2, 3, \dots, n$ más cercanos a $(x_1, y_1, 0)$, se recomienda tomar de tres a cinco puntos, en este caso contemplaremos tres puntos, una vez obtenidas las proyecciones más cercanas, observamos a que punto P_i corresponden y denotamos P_{1c}, P_{2c} y P_{3c} para cada punto.

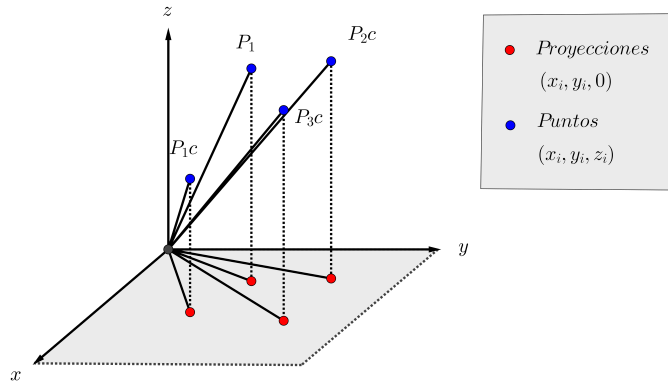


Figura 3.10: Punto P_1 y tres proyecciones más cercanas.

2. Obtenemos todos los vectores $u_j = P_{jc} - P_1$, para $j = 1, 2, 3$

$$u_1 = P_{1c} - P_1$$

$$u_2 = P_{2c} - P_1$$

$$u_3 = P_{3c} - P_1$$

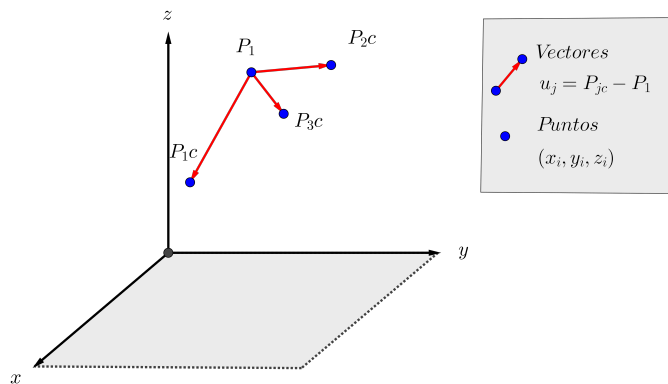


Figura 3.11: Vectores $u_j = P_{jc} - P_1$ para $j = 1, 2, 3$.

3. Realizamos el producto vectorial de todas la combinaciones de u_1, u_2, u_3 , siempre que la componente z sea positiva, si no es así, se intercambia el orden de los factores del producto, obteniendo:

$$\begin{aligned} v_1 &= u_1 \times u_2 \text{ ó } v_1 = u_2 \times u_1 \\ v_2 &= u_2 \times u_3 \text{ ó } v_2 = u_3 \times u_2 \\ v_3 &= u_1 \times u_3 \text{ ó } v_3 = u_3 \times u_1 \end{aligned}$$

recordando que el producto vectorial de dos vectores a, b se define como

$$a \times b = \begin{vmatrix} I & J & K \\ a_1 & a_2 & a_3 \\ b_1 & b_2 & b_3 \end{vmatrix}$$

donde

$$\begin{aligned} I &= (1, 0, 0) \\ J &= (0, 1, 0) \\ K &= (0, 0, 1) \end{aligned}$$

vectores canónicos unitarios.

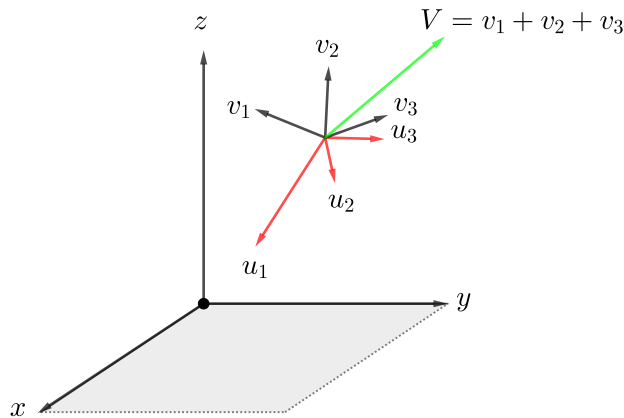


Figura 3.12: Vectores Producto de todas la combinaciones $u_i \times u_j$ con $i, j = 1, 2, 3$ e $i \neq j$ de componente z positiva.

4. Sumamos los vectores v_j para $j = 1, 2, 3$, sea $V = v_1 + v_2 + v_3 = (V_1, V_2, V_3)$ y determinamos z_x y z_y

$$\begin{aligned} z_{x1} &= -\frac{V_1}{V_3} \\ z_{y1} &= -\frac{V_2}{V_3} \end{aligned}$$

y repetimos el proceso, a partir del Paso 1 hasta el Paso 4 en cada punto P_i donde $i = 1, 2, \dots, n$ para determinar cada z_{xi} y z_{yi} .

5. Realizamos del Paso 1 hasta el Paso 4, pero ahora, en el punto $P_1 = (x_1, y_1, z_{x1})$ obteniendo

$$\begin{aligned} z_{xx1} &= -\frac{V_1}{V_3} \\ z_{xyp1} &= -\frac{V_2}{V_3} \end{aligned}$$

después para cada punto $P_i = (x_i, y_i, z_{xi})$

6. Repetimos los pasos del 1-4 para $P_1 = (x_1, y_1, z_{y1})$ dando como resultado

$$\begin{aligned} z_{yxp1} &= -\frac{V_1}{V_3} \\ z_{yy1} &= -\frac{V_2}{V_3} \end{aligned}$$

realizar ahora para $P_i = (x_i, y_i, z_{yi})$

7. Finalmente z_{xyi}

$$z_{xyi} = \frac{z_{xypi} + z_{yxp1}}{2}$$

Obteniendo así, una aproximación a las derivadas parciales $z_x, z_y, z_{xx}, z_{xy}, z_{yy}$. El mismo proceso se realiza para cuatro y cinco proyecciones cercanas, con lo cual aumenta en número de vectores u_j y v_j .

A continuación, se muestra una tabla con treinta valores y el cálculo de sus derivadas parciales $z_x, z_y, z_{xx}, z_{xy}, z_{yy}$.

Cuadro 3.1: Cálculo de $z_x, z_y, z_{xx}, z_{xy}, z_{yy}$.

x	y	z	z_x	z_y	z_{xx}	z_{xy}	z_{yy}
3.7927	5.3326	0.2950	-0.0520	0.0534	-0.0051	-0.0003	-0.0005
2.6975	48.0949	0.5029	0.0584	0.1630	-0.0054	-0.0215	-0.0351
26.5399	0.2317	0.9977	-0.4293	0.0551	0.0139	-0.0177	0.0203
38.9584	38.7455	0.7419	0.0182	0.0224	-0.0006	0.0006	-0.0177
46.7005	40.8652	-0.3884	-0.0904	-0.0880	-0.0122	-0.0103	-0.0124
6.4953	43.4347	-0.3292	0.1005	0.2002	-0.0067	-0.0216	-0.0343
28.4412	4.2218	0.9480	-0.5013	0.0109	0.0393	-0.0091	0.0213
23.4695	19.9891	-0.5000	0.1579	-0.1262	-0.0268	0.0269	-0.0307
0.5951	12.9935	0.8533	-0.0535	0.0481	-0.0055	-0.0010	0.0000
16.8561	40.0034	0.3059	0.0654	0.0062	-0.0021	-0.0058	0.0004
8.1091	21.5707	-0.9864	-0.4855	-0.2607	-0.0829	-0.0219	0.0016
39.7142	45.5324	-0.4110	-0.0554	-0.1328	-0.0070	-0.0062	-0.0203
15.5608	9.0924	-0.4615	-0.0012	0.0597	0.0228	-0.0082	-0.0302
26.4267	13.1901	0.9404	0.0016	0.2197	-0.0288	-0.0035	0.0269
8.2824	7.2769	0.1480	-0.0830	0.0587	0.0046	0.0000	-0.0009
30.0991	6.8034	-0.7150	-0.0335	-0.0080	0.0405	0.0240	0.0293
13.1486	43.4646	0.0645	0.0645	-0.0108	-0.0025	-0.0117	-0.0527
32.7040	28.9852	-0.9097	-0.1598	0.1982	0.0103	0.0068	-0.0165
34.4607	27.4930	-0.7695	0.1511	0.0751	0.0143	-0.0228	0.0072
37.4076	7.2477	0.6234	0.0984	-0.1692	0.0263	0.0321	0.0094
22.5271	42.6516	0.7137	0.0667	0.0017	-0.0013	-0.0049	-0.0137
4.1911	31.1028	-0.6716	0.0206	-0.0360	-0.0704	-0.0002	0.0146
11.4488	17.5476	-0.6610	-0.3531	-0.2529	-0.1223	-0.0971	-0.0749
45.6669	25.6625	0.8000	0.1514	0.0738	0.0096	-0.0107	-0.0024
7.6189	20.0904	0.5354	-0.0783	-0.1459	-0.0102	-0.0307	-0.0185
41.2908	3.7983	0.8943	-0.0008	-0.2933	0.0001	0.0033	0.0541
26.9171	11.9958	0.9370	0.0438	0.2844	-0.0228	0.0086	0.0499
49.8067	6.1659	-0.5447	-0.0375	-0.1208	-0.0030	0.0126	0.0359
3.9088	9.1954	0.5122	-0.0544	0.0502	-0.0058	-0.0007	-0.0002
22.1339	11.9976	0.4132	0.1087	0.0538	-0.0292	0.0686	-0.1178

3.2.3. Caracterización del polinomio

Una vez obtenida la malla triangular de los puntos y las derivadas parciales, procedemos a encontrar el valor de los coeficientes de cada polinomio, recordando la estructura

$$z(x, y) = \sum_{j=0}^5 \sum_{k=0}^{5-j} q_{jk} x^j y^k \quad (3.1)$$

notemos que es necesario calcular 21 coeficientes para el polinomio de cada triángulo en la malla, los pasos a seguir son los siguientes

1. Para cada vértice del triángulo denotamos P_1, P_2 y P_3 respectivamente en sentido “contrario a las manecillas del reloj”

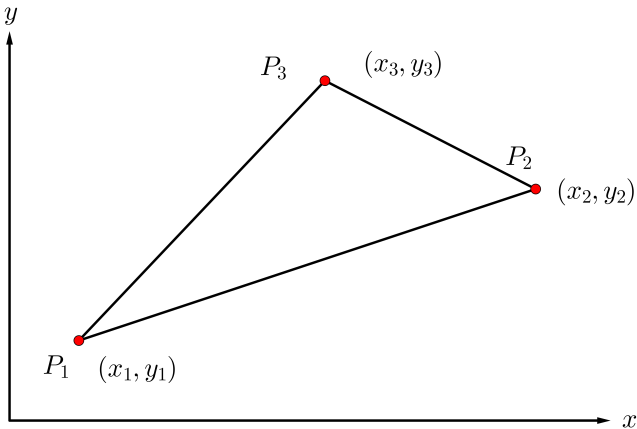


Figura 3.13: P_1, P_2 y P_3 en sentido “contrario a las manecillas del reloj”.

2. Realizamos una transformación “ u, v ” en los puntos P_1, P_2 y P_3 como se muestra en la figura:

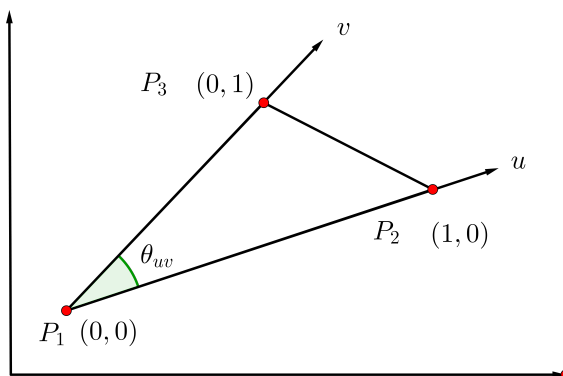
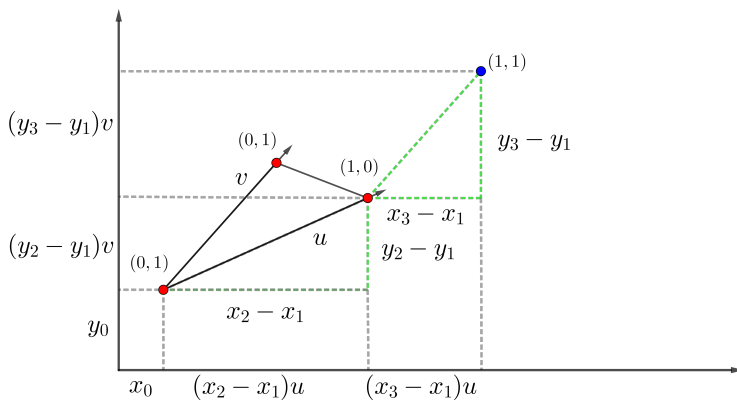


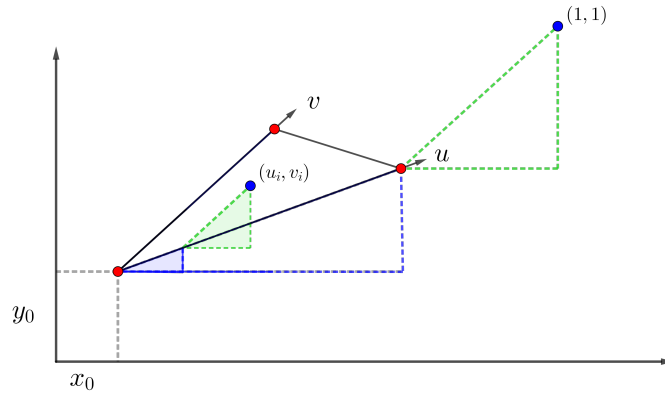
Figura 3.14: Transformación al sistema “ u, v ”.

ahora para encontrar la expresión que corresponde para la nueva transformación, llevaremos un punto del sistema “ u, v ” al original,



podemos observar en la imagen anterior, los triángulos rectángulos cuya dimensión de hipotenusa corresponde a la longitud de las coordenadas (u, v) en ese sistema, en este caso $(1, 1)$, para obtener la coordenada “ x ” en el sistema, notemos que basta con sumar cada uno de los catetos de los triángulos rectángulos paralelos al eje x y al final sumar la distancia que hay en ese mismo eje entre orígenes de ambos sistemas. Conocemos la distancia de los catetos que son $x_2 - x_1$ y $x_3 - x_1$, ahora puesto que la distancia de u, v con su origen es 1, las distancias de los catetos se pueden reescribir $(x_2 - x_1)u$ y $(x_3 - x_1)v$ respectivamente, este mismo razonamiento nos lleva a encontrar el valor de las distancias en los catetos paralelos al eje y , cuyas expresiones son $(y_2 - y_1)v$ y $(y_3 - y_1)v$.

El procedimiento anterior y la imagen permiten notar la relación existente entre ambos sistemas, el mismo criterio es válido para cualquier puntos (u, v) ya que los triángulos formados serían semejantes a los del puntos $(1, 1)$ ya que ángulo entre la hipotenusa y el cateto sería siempre el de u y v respectivamente conservando la relación proporcional de ambos sistemas para cada cateto como se muestra en la imagen siguiente



retomando lo anterior podemos obtener los siguientes resultados

$$\begin{aligned} x &= au + bv + x_0 \\ y &= cu + dv + y_0 \end{aligned} \tag{3.2}$$

$$a = x_2 - x_1$$

$$b = x_3 - x_1$$

$$\begin{aligned} c &= y_2 - y_1 \\ d &= y_3 - y_1 \end{aligned} \tag{3.3}$$

$$x_0 = x_1$$

$$y_0 = y_1$$

y despejando u y v de 3.2

$$\begin{aligned} u &= \frac{d(x - x_0) - b(y - y_0)}{ad - bc} \\ v &= \frac{-c(x - x_0) + a(y - y_0)}{ad - bc} \end{aligned} \tag{3.4}$$

Recordando la regla de la cadena generalizada para una transformación

$$\frac{\partial z}{\partial u} = \frac{\partial z}{\partial x} \frac{\partial x}{\partial u} + \frac{\partial z}{\partial y} \frac{\partial y}{\partial u}$$

$$\frac{\partial z}{\partial v} = \frac{\partial z}{\partial x} \frac{\partial x}{\partial v} + \frac{\partial z}{\partial y} \frac{\partial y}{\partial v}$$

$$\frac{\partial^2 z}{\partial u^2} = \frac{\partial z}{\partial x} \frac{\partial^2 x}{\partial u^2} + \frac{\partial^2 z}{\partial x^2} \left(\frac{\partial x}{\partial u} \right)^2 + \dots$$

$$\dots + \frac{\partial z}{\partial y} \frac{\partial^2 y}{\partial u^2} + \frac{\partial^2 z}{\partial y^2} \left(\frac{\partial y}{\partial u} \right)^2 + 2 \frac{\partial^2 z}{\partial x \partial y} \frac{\partial x}{\partial u} \frac{\partial y}{\partial u}$$

$$\frac{\partial^2 z}{\partial u \partial v} = \frac{\partial z}{\partial x} \frac{\partial^2 x}{\partial u \partial v} + \frac{\partial^2 z}{\partial x^2} \frac{\partial x}{\partial u} \frac{\partial x}{\partial v} + \dots$$

$$\dots + \frac{\partial z}{\partial y} \frac{\partial^2 y}{\partial u \partial v} + \frac{\partial^2 z}{\partial y^2} \frac{\partial y}{\partial u} \frac{\partial y}{\partial v} + \frac{\partial^2 z}{\partial x \partial y} \frac{\partial x}{\partial v} \frac{\partial y}{\partial u} + \frac{\partial^2 z}{\partial y \partial x} \frac{\partial x}{\partial u} \frac{\partial y}{\partial v}$$

$$\frac{\partial^2 z}{\partial v^2} = \frac{\partial z}{\partial x} \frac{\partial^2 x}{\partial v^2} + \frac{\partial^2 z}{\partial x^2} \left(\frac{\partial x}{\partial v} \right)^2 + \dots$$

$$\dots + \frac{\partial z}{\partial y} \frac{\partial^2 y}{\partial v^2} + \frac{\partial^2 z}{\partial y^2} \left(\frac{\partial y}{\partial v} \right)^2 + 2 \frac{\partial^2 z}{\partial x \partial y} \frac{\partial x}{\partial v} \frac{\partial y}{\partial v}$$

[7, pág. 242-269], sustituyendo con 3.2

$$z_u = z_x \frac{\partial au + bv + x_0}{\partial u} + z_y \frac{\partial cu + dv + y_0}{\partial u} = az_x + cz_y$$

$$z_v = z_x \frac{\partial av + bv + x_0}{\partial v} + z_y \frac{\partial cv + dv + y_0}{\partial v} = bz_x + dz_y$$

procediendo de la misma forma en las últimas tres ecuaciones en la regla

de la cadena, se obtiene

$$z_u = az_x + cz_y$$

$$z_v = bz_x + dz_y$$

$$z_{uu} = a^2 z_{xx} + 2ac z_{xy} + c^2 z_{yy} \quad (3.5)$$

$$z_{uv} = ab z_{xx} + (ad + bc) z_{xy} + cd z_{yy}$$

$$z_{vv} = b^2 z_{xx} + 2bd z_{xy} + d^2 z_{yy}$$

Realizando la transformación, el polinomio tiene la misma estructura de 3.1

$$z(u, v) = \sum_{j=0}^5 \sum_{k=0}^{5-j} P_{jk} u^j v^k \quad (3.6)$$

pero ahora se busca encontrar los valores de P_{jk} adecuados para obtener el interpolante, con base a lo anterior calculamos las nuevas derivadas parciales de 3.6

$$\begin{aligned} z_u(u, v) &= \sum_{j=1}^5 \sum_{k=0}^{5-j} j P_{jk} u^{j-1} v^k \\ z_v(u, v) &= \sum_{j=0}^4 \sum_{k=1}^{5-j} k P_{jk} u^j v^{k-1} \\ z_{uu}(u, v) &= \sum_{j=2}^5 \sum_{k=0}^{5-j} j(j-1) P_{jk} u^{j-2} v^k \\ z_{uv}(u, v) &= \sum_{j=1}^4 \sum_{k=1}^{5-j} jk P_{jk} u^{j-1} v^{k-1} \\ z_{vv}(u, v) &= \sum_{j=0}^3 \sum_{k=2}^{5-j} k(k-1) P_{jk} u^j v^{k-2} \end{aligned} \quad (3.7)$$

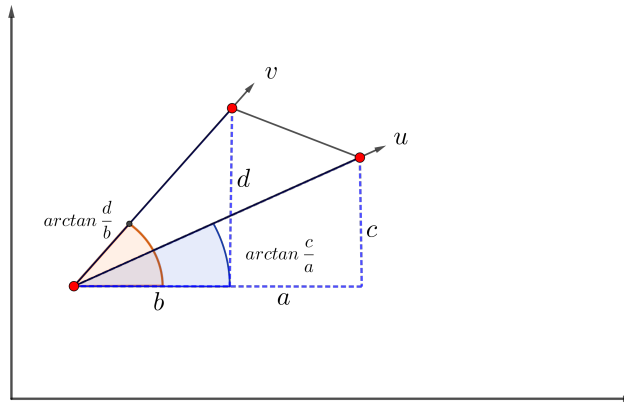
Denotamos la longitud del segmento $\overline{P_1 P_2}$, $\overline{P_1 P_3}$ y el ángulo θ_{uv} como sigue

$$L_u = a^2 + c^2$$

$$L_v = b^2 + d^2 \quad (3.8)$$

$$\theta_{uv} = \arctan \frac{d}{b} - \arctan \frac{c}{a}$$

para encontrar el valor anterior, se trazan los siguientes triángulos rectángulos



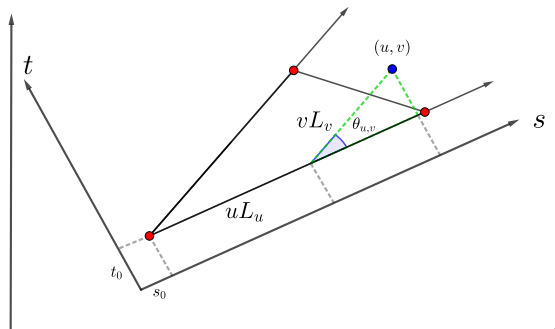
usando la notación de 3.3 y las razones trigonométricas, obtenemos que el valor del ángulo en cada triángulo es $\arctan \frac{d}{b}$ y $\arctan \frac{c}{a}$, en la imagen anterior notemos que es suficiente con la diferencia entre ambos ángulos para obtener el valor de $\theta_{u,v}$.

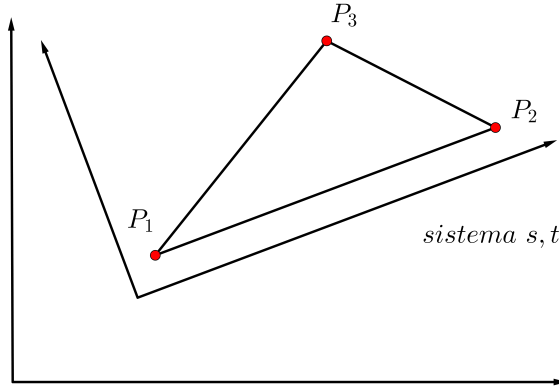
3. Realizamos la transformación “ s, t ”

Ahora debemos hacer una nueva transformación “ s, t ” con el propósito de crear sistemas de ecuaciones que permitan encontrar los coeficientes P_{jk} del polinomio de la transformación 3.6, para realizarlo se desarrollara el procedimiento en tres fases, rotando el eje “ s ” paralelamente a cada segmento que forma el triángulo, un nuevo supuesto para esta transformación es el siguiente.

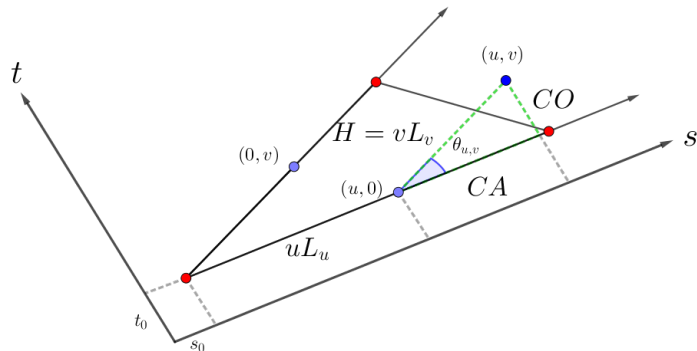
$$z(u, v)_{tsss} = 0 \quad (3.9)$$

En la figura 3.15 debemos encontrar la relación entre ambos sistemas, para lograrlo trazamos un triángulo rectángulo cuyo ángulo entre el cateto paralelo al eje “ s ” y la hipotenusa es $\theta_{u,v}$ y además pase por el punto (u, v)



Figura 3.15: Sistema “ s, t ” paralelo a $\overline{P_1P_2}$.

nuevamente, para obtener el valor s en el nuevo sistema, tenemos que sumar las distancias de s_0 que es la distancia en el eje “ s ” de los orígenes en cada sistema, y las distancias de (u, v) llevado al sistema “ t, s ”, dado que el eje “ s ” es paralelo al eje “ u ” entonces basta con el producto uL_u ya que representa la proporción adecuada para el eje “ s ”,



el valor de la longitud en la hipotenusa del triángulo trazado es vL_v , finalmente para encontrar el valor del cateto que nos falta podemos usar la relación

$$\cos \theta_{u,v} = \frac{\text{Cateto Adyacente}}{vL_v}$$

obteniendo así

$$\text{Cateto Adyacente} = \cos \theta_{u,v} v L_v$$

de manera similar obtenemos el valor del cateto paralelo al eje “ t ”

$$\text{Cateto Opuesto} = \sin \theta_{u,v} v L_v$$

con todo lo anterior podemos dar una expresión de la relación entre ambos sistemas

$$s = v L_v \cos \theta_{u,v} + u L_u + s_0$$

$$t = v L_v \sin \theta_{u,v} + t_0$$

en consecuencia obtenemos

$$\begin{aligned} u &= \frac{\sin(\theta_{uv})(s - s_0) - \cos(\theta_{uv})(t - t_0)}{L_u \sin(\theta_{uv})} \\ v &= \frac{t - t_0}{L_v \sin(\theta_{uv})} \end{aligned} \tag{3.10}$$

para facilitar los cálculos de la derivada en el polinomio $z(u, v)$ calculamos las derivadas parciales de s y t en términos de u y v , tomando en cuenta la ecuación 3.10 con la regla de la cadena antes vista

$$\begin{aligned} \frac{\partial}{\partial s} &= \frac{\partial u}{\partial s} \frac{\partial}{\partial u} + \frac{\partial v}{\partial s} \frac{\partial}{\partial v} = \frac{1}{L_u} \frac{\partial}{\partial u} \\ \frac{\partial}{\partial t} &= \frac{\partial u}{\partial t} \frac{\partial}{\partial u} + \frac{\partial v}{\partial t} \frac{\partial}{\partial v} = \frac{\cos(\theta_{uv})}{L_u \sin(\theta_{uv})} \frac{\partial}{\partial u} + \frac{1}{L_v \sin(\theta_{uv})} \frac{\partial}{\partial v} \end{aligned} \tag{3.11}$$

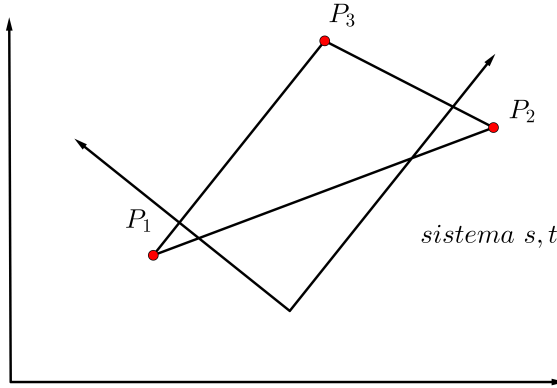
usando 3.6, 3.9 y 3.11 el cálculo de $z(u, v)_{tssss}$ es de la siguiente forma

$$z(u, v)_{tssss} =$$

$$\frac{1}{L_u^4} \frac{\partial}{\partial u} \frac{\partial}{\partial u} \frac{\partial}{\partial u} \frac{\partial}{\partial u} \left(\frac{\cos(\theta_{uv})}{L_u \sin(\theta_{uv})} \frac{\partial}{\partial u} z(u, v) + \frac{1}{L_v \sin(\theta_{uv})} \frac{\partial}{\partial v} z(u, v) \right) = 0$$

finalmente, al realizar la operación se tiene

$$L_u P_{41} - 5 L_v \cos(\theta_{uv}) P_{50} = 0 \tag{3.12}$$

Figura 3.16: Sistema “ s, t ” paralelo a $\overline{P_1P_3}$.

siguiendo todo el razonamiento anterior para las dos transformaciones restantes, de la figura 3.16 resulta

$$u = \frac{-(t - t_0)}{L_u \sin(\theta_{uv})} \quad (3.13)$$

$$v = \frac{\sin(\theta_{uv})(s - s_0) + \cos(\theta_{uv})(t - t_0)}{L_v \sin(\theta_{uv})}$$

donde las derivadas parciales son

$$\frac{\partial}{\partial s} = \frac{\partial u}{\partial s} \frac{\partial}{\partial u} + \frac{\partial v}{\partial s} \frac{\partial}{\partial v} = \frac{1}{L_v} \frac{\partial}{\partial v} \quad (3.14)$$

$$\frac{\partial}{\partial t} = \frac{\partial u}{\partial t} \frac{\partial}{\partial u} + \frac{\partial v}{\partial t} \frac{\partial}{\partial v} = \frac{1}{L_u \sin(\theta_{uv})} \frac{\partial}{\partial u} + \frac{\cos(\theta_{uv})}{L_v \sin(\theta_{uv})} \frac{\partial}{\partial v}$$

con 3.6, 3.9 y 3.14

$$L_v P_{14} - 5L_u \cos(\theta_{uv}) P_{05} = 0 \quad (3.15)$$

para la figura 3.17 se tiene

$$u = A(s - s_0) + B(t - t_0) \quad (3.16)$$

$$v = C(s - s_0) + D(t - t_0)$$

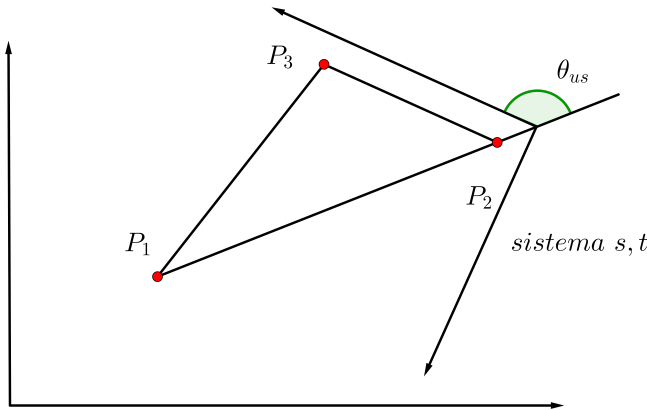


Figura 3.17: Sistema “\$s, t\$” paralelo a \$\overline{P_2P_3}\$.

donde

$$A = \frac{\sin(\theta_{uv} - \theta_{us})}{L_u \sin \theta_{uv}}$$

$$B = \frac{-\cos(\theta_{uv} - \theta_{us})}{L_u \sin \theta_{uv}}$$

$$C = \frac{\sin(\theta_{us})}{L_v \sin(\theta_{uv})} \quad (3.17)$$

$$D = \frac{\cos(\theta_{us})}{L_v \sin(\theta_{uv})}$$

$$\theta_{us} = \arctan \frac{d - c}{b - a} - \arctan \frac{c}{a}$$

por lo tanto las derivadas parciales son

$$\begin{aligned} \frac{\partial}{\partial s} &= \frac{\partial u}{\partial s} \frac{\partial}{\partial u} + \frac{\partial v}{\partial s} \frac{\partial}{\partial v} = A \frac{\partial}{\partial u} + C \frac{\partial}{\partial v} \\ \frac{\partial}{\partial t} &= \frac{\partial u}{\partial t} \frac{\partial}{\partial u} + \frac{\partial v}{\partial t} \frac{\partial}{\partial v} = B \frac{\partial}{\partial u} + D \frac{\partial}{\partial v} \end{aligned} \quad (3.18)$$

retomando 3.6,3.9 y 3.18

$$\begin{aligned}
& 5A^4BP_{50} + A^3(4BC + AD)P_{41} + \\
& A^2C(3BC + 2AD)P_{32} + AC^2(2BC + 3AD)P_{23} + \quad (3.19) \\
& C^3(BC + 4AD)P_{14} + 5C^4DP_{05} = 0
\end{aligned}$$

4. Calculamos los coeficientes del polinomio de acuerdo a 3.6 y 3.7 con lo cual obtenemos los siguientes resultados

$$z(0, 0) = P_{00}$$

$$z_u(0, 0) = P_{10}$$

$$z_v(0, 0) = P_{01}$$

$$\frac{z_{uu}(0, 0)}{2} = P_{20} \quad (3.20)$$

$$z_{uv}(0, 0) = P_{11}$$

$$\frac{z_{vv}(0, 0)}{2} = P_{02}$$

hacemos $u = 1$ y $v = 0$ en las primeras tres ecuaciones 3.7

$$P_{30} + P_{40} + P_{50} = z(1, 0) - P_{00} - P_{10} - P_{20}$$

$$3P_{30} + 4P_{40} + 5P_{50} = z_u(1, 0) - P_{10} - 2P_{20}$$

$$6P_{30} + 12P_{40} + 20P_{50} = z_{uu}(1, 0) - 2P_{20}$$

resolvemos para P_{00}, P_{40}, P_{50}

$$P_{30} = \frac{20z(1, 0) - 8z_u(1, 0) + z_{uu}(1, 0) - 20P_{00} - 12P_{10} - 6P_{20}}{2}$$

$$P_{40} = -15z(1, 0) + 7z_u(1, 0) - z_{uu}(1, 0) + 15P_{00} + 8P_{10} + 3P_{20}$$

$$P_{50} = \frac{12z(1, 0) - 6z_u(1, 0) + z_{uu}(1, 0) - 12P_{00} - 6P_{10} - 2P_{20}}{2} \quad (3.21)$$

de la misma forma usando z , z_u y z_{vv} haciendo $u = 0$ y $v = 1$ en las ecuaciones 3.6 y 3.7 podemos obtener los siguientes resultados

$$\begin{aligned}
P_{03} &= \frac{20z(0, 1) - 8z_v(0, 1) + z_{vv}(0, 1) - 20P_{00} - 12P_{01} - 6P_{02}}{2} \\
P_{04} &= -15z(0, 1) + 7z_v(0, 1) - z_{vv}(0, 1) + 15P_{00} + 8P_{01} + 3P_{02} \\
P_{05} &= \frac{12z(0, 1) - 6z_v(0, 1) + z_{vv}(0, 1) - 12P_{00} - 6P_{01} - 2P_{02}}{2}
\end{aligned} \tag{3.22}$$

hemos obtenido P_{50} y P_{05} ahora podemos encontrar P_{41} y P_{14} de 3.12 y 3.15

$$\begin{aligned}
P_{41} &= \frac{5L_v \cos(\theta_{uv})}{L_u} P_{50} \\
P_{14} &= \frac{5L_u \cos(\theta_{uv})}{L_v} P_{05}
\end{aligned} \tag{3.23}$$

tomamos z_u y z_{uv} de 3.7 con $u = 1$ y $v = 0$ llegando a

$$P_{21} + P_{31} = z_v(1, 0) - P_{01} - P_{11} - P_{41}$$

$$2P_{21} + 3P_{31} = z_{uv}(1, 0) - P_{11} - 4P_{41}$$

y resolviendo para P_{21} y P_{31}

$$\begin{aligned}
P_{21} &= 3z_v(1, 0) - z_{uv}(1, 0) - 3P_{01} - 2P_{11} + P_{41} \\
P_{31} &= -2z_v(1, 0) + z_{uv}(1, 0) + 2P_{01} + P_{11} - 2P_{41}
\end{aligned} \tag{3.24}$$

de manera similar usamos z_u y z_{uv} de 3.7 con $u = 0$ y $v = 1$ dando como resultado

$$\begin{aligned}
P_{12} &= 3z_u(0, 1) - z_{uv}(0, 1) - 3P_{10} - 2P_{11} + P_{14} \\
P_{13} &= -2z_u(0, 1) + z_{uv}(0, 1) + 2P_{10} + P_{11} - 2P_{14}
\end{aligned} \tag{3.25}$$

podemos reescribir 3.19 como

$$g_1 P_{32} + g_2 P_{23} = h_1 \tag{3.26}$$

donde

$$\begin{aligned}
 g_1 &= A^2 C (3BC + 2AD) \\
 g_2 &= AC^2 (2BC + 3AD) \\
 h_1 &= -5A^4 BP_{50} - A^3 (4BC + AD) P_{41} - \\
 &\quad C^3 (BC + 4AC) P_{41} - 5C^4 DP_{05}
 \end{aligned} \tag{3.27}$$

para z_{vv} de 3.7 y $u = 1$ y $v = 0$ obtenemos

$$P_{22} + P_{32} = h_2 \tag{3.28}$$

siendo

$$h_2 = \frac{1}{2} z_{vv}(1, 0) - P_{02} - P_{12} \tag{3.29}$$

de igual forma con z_{uu} de 3.7 y $u = 0$ y $v = 1$

$$P_{22} + P_{23} = h_3 \tag{3.30}$$

$$h_3 = \frac{1}{2} z_{uu}(0, 1) - P_{20} - P_{21} \tag{3.31}$$

formando el sistema de ecuaciones con 3.26, 3.28 y 3.30

$$g_1 P_{32} + g_2 P_{23} = h_1$$

$$P_{22} + P_{32} = h_2$$

$$P_{22} + P_{23} = h_3$$

resolviendo para P_{22} , P_{23} y P_{32}

$$\begin{aligned}
 P_{22} &= \frac{g_1 h_2 + g_2 h_3 - h_1}{g_1 + g_2} \\
 P_{32} &= h_2 - P_{22}
 \end{aligned} \tag{3.32}$$

$$P_{23} = h_3 - P_{22}$$

obteniendo así los veintiún coeficientes del polinomio 3.6, para llevar los valores al plano “ x, y, z ” basta con regresar a la transformación de 3.2.

En este capítulo hemos visto dos métodos de interpolación bivariada, por un lado los IBMIU teniendo como base los interpolantes univariados y la Interpolación Bivariada de Akima, ambos métodos ofrecen aproximaciones sobre superficies, ahora es necesario analizar cual de los métodos se ajusta mejor a los datos y el costo computacional de los interpolantes.

Capítulo 4

Descripción de Rutinas

A continuación se da una descripción de los códigos realizados en el software numérico Matlab en su versión 2016a utilizados para el cálculo de los interpolantes, los programas forman parte de dos interfaces gráficas que realizan la interpolación bivariada mediante los métodos descritos en el capítulo 3.

4.1. Reseña de Códigos

4.1.1. Interpolación Univariada

ILagrange

Calcula la interpolación de Lagrange mediante los siguientes parámetros

$$[\text{newy}] = \text{ILagrange}(\text{x}, \text{y}, \text{newx})$$

1. Parámetros de Entrada:

- a) x,y:Vectores que contienen los puntos (x_i, y_i) para el cálculo del interpolante.
- b) newx: Vector que contiene los puntos que evaluará el método.

2. Parámetros de Salida:

- a) newy: Vector con los resultados al evaluar “newx” con el programa.

INewton

Calcula la interpolación de Newton mediante los siguientes parámetros

$$[\text{newy}]=\text{INewton}(\text{x}, \text{y}, \text{newx})$$

1. Parámetros de Entrada:

- a) x,y:Vectores que contienen los puntos (x_i, y_i) para el cálculo del interpolante.
- b) newx: Vector que contiene los puntos que evaluará el método.

2. Parámetros de Salida:

- a) newy: Vector con los resultados al evaluar “newx” con el programa.

IHermite

Calcula la interpolación de Hermite mediante los siguientes parámetros

$$[\text{newy}]=\text{IHermite}(\text{x}, \text{y}, \text{dy}, \text{newx})$$

1. Parámetros de Entrada:

- a) x,y:Vectores que contienen los puntos (x_i, y_i) para el cálculo del interpolante.
- b) dy: Vector que contiene el valor de la derivada en cada punto (x_i, y_i) .
- c) newx: Vector que contiene los puntos que evaluará el método.

2. Parámetros de Salida:

- a) newy: Vector con los resultados al evaluar “newx” con el programa.

ILineal

Calcula la interpolación Lineal mediante los siguientes parámetros

$$[\text{newy}]=\text{ILineal}(\text{x}, \text{y}, \text{newx})$$

1. Parámetros de Entrada:

- a) x,y:Vectores que contienen los puntos (x_i, y_i) para el cálculo del interpolante.
- b) newx: Vector que contiene los puntos que evaluará el método.

2. Parámetros de Salida:

- a) newy: Vector con los resultados al evaluar “newx” con el programa.

SCNatural

Calcula el interpolante Spline Cúbico Natural mediante los siguientes parámetros

$$[\text{newy}] = \text{SCNatural}(\text{x}, \text{y}, \text{newx})$$

1. Parámetros de Entrada:

- a) x,y:Vectores que contienen los puntos (x_i, y_i) para el cálculo del interpolante.
- b) newx: Vector que contiene los puntos que evaluará el método.

2. Parámetros de Salida:

- a) newy: Vector con los resultados al evaluar “newx” con el programa.

SCCompleto

Calcula el interpolante Spline Cúbico Completo mediante los siguientes parámetros

$$[\text{newy}] = \text{SCCompleto}(\text{x}, \text{y}, \text{dfa}, \text{dfb}, \text{newx})$$

1. Parámetros de Entrada:

- a) x,y:Vectores que contienen los puntos (x_i, y_i) para el cálculo del interpolante.
- b) dfa,dfb: Valor de la derivada en el punto (x_0, y_0) y (x_n, y_n) respectivamente.
- c) newx: Vector que contiene los puntos que evaluará el método.

2. Parámetros de Salida:

- a) newy: Vector con los resultados al evaluar “newx” con el programa.

SCNKnot

Calcula el interpolante Spline Cúbico Not-A-Knot mediante los siguientes parámetros

$$[\text{newy}] = \text{SCNKnot}(\text{x}, \text{y}, \text{newx})$$

1. Parámetros de Entrada:

- a) x,y:Vectores que contienen los puntos (x_i, y_i) para el cálculo del interpolante.
- b) newx: Vector que contiene los puntos que evaluará el método.

2. Parámetros de Salida:

- a) newy: Vector con los resultados al evaluar “newx” con el programa.

ICAkima

Calcula el interpolante cúbico de Akima mediante los siguientes parámetros

$$[\text{newy}] = \text{ICAkima}(\text{x}, \text{y}, \text{newx})$$

1. Parámetros de Entrada:

- a) x,y:Vectores que contienen los puntos (x_i, y_i) para el cálculo del interpolante.
- b) newx: Vector que contiene los puntos que evaluará el método.

2. Parámetros de Salida:

- a) newy: Vector con los resultados al evaluar “newx” con el programa.

ICCons

Calcula el interpolante cúbico Restringido mediante los siguientes parámetros

$$[\text{newy}] = \text{ICCons}(\text{x}, \text{y}, \text{newx})$$

1. Parámetros de Entrada:

- a) x,y:Vectores que contienen los puntos (x_i, y_i) para el cálculo del interpolante.

b) newx: Vector que contiene los puntos que evaluará el método.

2. Parámetros de Salida:

a) newy: Vector con los resultados al evaluar “newx” con el programa.

MPIH

Calcula el interpolante cúbico Monótono mediante los siguientes parámetros

$$[\text{newy}] = \text{MPIH}(\text{x}, \text{y}, \text{newx})$$

1. Parámetros de Entrada:

a) x,y:Vectores que contienen los puntos (x_i, y_i) para el cálculo del interpolante.

b) newx: Vector que contiene los puntos que evaluará el método.

2. Parámetros de Salida:

a) newy: Vector con los resultados al evaluar “newx” con el programa.

4.1.2. Interpolación Bivariada de Akima

Las siguientes rutinas están basadas en los códigos en Fortran 90 e implementadas en Matlab 2016b.[4, pág. 33-50]

idcldp

Determina los puntos cercanos de un conjunto irregularmente distribuido

$$[\text{ipc}] = \text{idcldp}(\text{xd}, \text{yd}, \text{ncp})$$

1. Parámetros de Entrada:

a) xd,yd:Vectores que contienen los puntos (x_i, y_i) irregularmente distribuidos.

b) ncp: Número de puntos cercanos que se determinarán,es recomendado de tres a cinco puntos.

2. Parámetros de Salida:

a) ipc: Vector que contiene el índice de los puntos cercanos.

idpdrv

Aproxima las derivadas parciales z_x, z_y, z_{xx}, z_{xy} y z_{yy}

$$[pd]=\text{idpdrv}(\text{xd}, \text{yd}, \text{zd}, \text{ncp}, \text{ipc})$$

1. Parámetros de Entrada:

- a) xd,yd,zd:Vectores que contienen los puntos (x_i, y_i, z_i) irregularmente distribuidos.
- b) ncp: Número de puntos cercanos que se determinarán,es recomendado de tres a cinco puntos.
- c) ipc: Índice de puntos cercanos

2. Parámetros de Salida:

- a) pd: Vector que contiene la aproximación a las derivadas parciales z_x, z_y, z_{xx}, z_{xy} y z_{yy} .

idtang

Programa que crea una malla triangular con puntos distribuidos irregularmente.

$$[\text{nt}, \text{ipt}, \text{nl}, \text{ipl}, \text{iwl}, \text{iwp}, \text{wk}] = \text{idtang}(\text{xd}, \text{yd})$$

1. Parámetros de Entrada:

- a) xd,yd:Vectores que contienen los puntos (x_i, y_i) irregularmente distribuidos.

2. Parámetros de Salida:

- a) nt: Número de triángulos de la malla.
- b) ipt: Índice de los puntos que conforman los vértices del triángulo.
- c) nl: Número de lineas que conforman la malla triangular.
- d) ipl:Índice de los puntos que forman las lineas de la malla.
- e) iwl,iwp,wk: Vectores que contienen información de la malla.

idlctn

Función para encontrar un punto dentro de la malla triangular.

$$[iti, iwk, wk] = idlctn(xd, yd, nt, ipt, nl, ipl, xii, yii, iwk, wk)$$

1. Parámetros de Entrada:

- a) xd,yd:Vectores que contienen los puntos (x_i, y_i) irregularmente distribuidos.
- b) nt: Número de triángulos de la malla.
- c) ipt: Índice de los puntos que conforman los vértices del triángulo.
- d) nl: Número de lineas que conforman la malla triangular.
- e) ipl:Índice de los puntos que forman las lineas de la malla.
- f) xii,yii:Punto (x_k, y_k) que se buscará dentro de la malla triangular.
- g) iwk,wk: Vectores que contienen información de la malla.

2. Parámetros de Salida:

- a) iti: Índice del triángulo que contiene al punto.
- b) iwk,wk: Vectores que guardan la información de la búsqueda del punto en la malla.

idptip

Calcula el valor del interpolante en un punto.

$$[zii] = idptip(xd, yd, zd, nt, ipt, nl, ipl, pdd, iti, xii, yii)$$

1. Parámetros de Entrada:

- a) xd,yd,zd:Vectores que contienen los puntos (x_i, y_i, z_i) irregularmente distribuidos.
- b) nt: Número de triángulos de la malla.
- c) ipt: Índice de los puntos que conforman los vértices del triángulo.
- d) nl: Número de lineas que conforman la malla triangular.
- e) ipl:Índice de los puntos que forman las lineas de la malla.
- f) pdd:Vector que contiene la aproximación a las derivadas parciales z_x, z_y, z_{xx}, z_{xy} y z_{yy} .

- g) iti: Índice del triángulo que contiene al punto.
- h) xii,yii:Punto (x_k, y_k) que se evaluará en el interpolante.

2. Parámetros de Salida:

- a) zii:Valor del interpolante en el punto (x_{ii}, y_{ii}) .

idbvip

Calcula el valor de interpolante en una serie de puntos .

$$[zi,iwk,wk] = idbvip(ncp,xd,yd,zd,xi,yi)$$

1. Parámetros de Entrada:

- a) xd,yd,zd:Vectores que contienen los puntos (x_i, y_i, z_i) irregulamente distribuidos.
- b) xii,yii:Vector que contiene los puntos (x_k, y_k) que evaluará en el interpolante.

2. Parámetros de Salida:

- a) zi:Valor del interpolante en los puntos (x_i, y_i) .
- b) iwk,wk: Información de la interpolacion en la serie de puntos.

3. Programas utilizados internamente

- a) idcldp
- b) idpdrv
- c) idtang
- d) idlctn
- e) idptip

4.2. Interfaz Gráfica

Con el propósito de facilitar el uso de los programas previamente descritos se crean dos interfaces gráficas, en esta sección aprenderemos su funcionamiento, un interfaz interpola mediante el método de IBMIU, mientras que la segunda, interpola mediante la Interpolación Bivariada de Akima.
Es importante especificar que la interfaz trabaja con archivos de texto con

extensión .txt, delimitado por tabuladores, donde la primera fila del archivo contiene los caracteres del nombre de cada columna, ambas interfaces reciben dos archivos de texto, uno contiene los valores numéricicos de (x, y, z) (tres columnas) que serán los puntos sobre con los cuales se realizará la interpolación, el segundo, contienen los puntos (x, y) que se aproximarán mediante la interpolación.

4.2.1. Interfaz de IBMIU

A continuación se muestra la imagen de la interfaz, que servirá para la descripción de su funcionamiento.

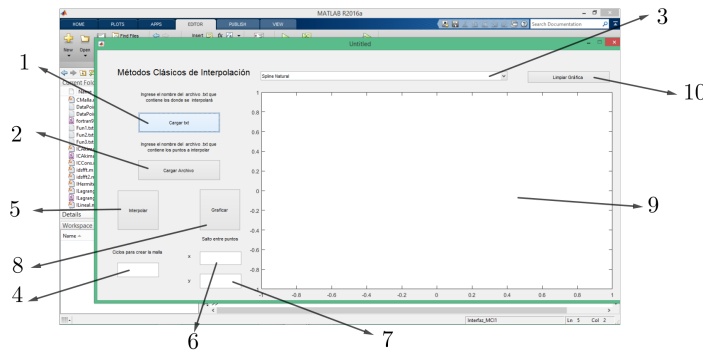


Figura 4.1: Interfaz para IBMIU

1. El botón permite cargar un archivo con extensión .txt con las tres columnas, que representan las coordenadas (x, y, z) que se utilizarán para la interpolación, la primera fila de estos datos deben contener el nombre de cada columna.

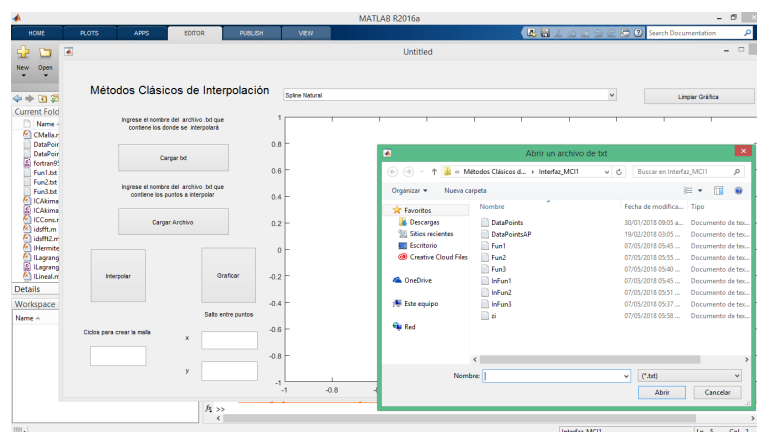


Figura 4.2: Interfaz para IBMIU

2. De manera similar que 1 permite cargar una archivo .txt, el cual debe contener dos columnas que son los puntos (x, y) que se aproximarán mediante el método elegido.
3. La pestaña permite escoger cual método univariado se utilizará para la interpolación bivariada.
4. Matlab maneja los datos de una malla mediante matrices, puesto que la interfaz acepta únicamente datos en columnas, es necesario para ejecutar el programa, organizar dichos datos en una malla para llevar acabo la IBMIU. Los datos de una malla pueden ser guardados en columnas, los datos tienen cierto ciclo de repetición y esta casilla recibe un número entero positivo, que indica cada cuantos hay una repetición de la malla, a continuación se muestra un ejemplo para ser más explícito.

Vemos los datos del primer archivo .txt que debe ser ingresados

x	y	z
1	11	0.0909
1	14	0.0714
1	17	0.0588
1	20	0.0500
4	11	0.3636
4	14	0.2857
4	17	0.2353
4	20	0.2000
7	11	0.6364
7	14	0.5000
7	17	0.4118
7	20	0.3500
10	11	0.9091
10	14	0.7143
10	17	0.5882
10	20	0.5000

notemos que para la columna x se repite un número por ciclos de cuatro, este es el ciclo que pide la interfaz para poder organizar los datos en matrices y así Matlab pueda construir la malla para poder implementar el método

X =

1	4	7	10
1	4	7	10
1	4	7	10
1	4	7	10

Y =

11	11	11	11
14	14	14	14
17	17	17	17
20	20	20	20

Z =

0.0909	0.3636	0.6364	0.9091
0.0714	0.2857	0.5000	0.7143
0.0588	0.2353	0.4118	0.5882
0.0500	0.2000	0.3500	0.5000

una vez organizados los datos, Matlab puede graficar la malla.

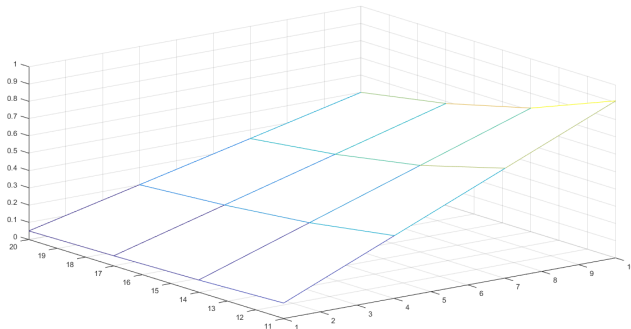


Figura 4.3: Malla

5. Una vez cargados ambos archivos .txt con su información correspondiente y agregando los ciclos de repetición, al presionar el botón interpolar, genera un archivo .txt que contiene los valores aproximados mediante el método en los puntos (x, y) .

6. Para graficar y suavizar la superficie, es necesario crear una partición en el eje x para generar puntos que se interpolarán y graficarán, el salto entre ellos se indica en la distancia que habrá entre los nuevos puntos, tomando el ejemplo de la malla anterior, si indicamos el salto entre puntos de 0.5 se generará la nueva malla y se aproximarán los nuevos puntos mediante el método, como se muestra a continuación.

X=

9.0 9.5 10.0
1.0 1.5 2.0 2.5 3.0 3.5 4.0 4.5 5.0 5.5 6.0 6.5 7.0 7.5 8.0 8.5
9.0 9.5 10.0
1.0 1.5 2.0 2.5 3.0 3.5 4.0 4.5 5.0 5.5 6.0 6.5 7.0 7.5 8.0 8.5
9.0 9.5 10.0

7. De la misma forma que 6 se crea una partición en el eje y creando la nueva matriz para graficar una suavización

18.0 18.0 18.0 18.0 18.0 18.0 18.0 18.0 18.0 18.0 18.0 18.0 18.0 18.0
18.0 18.0 18.0 18.0 18.0 18.0
18.5 18.5 18.5 18.5 18.5 18.5 18.5 18.5 18.5 18.5 18.5 18.5 18.5 18.5
18.5 18.5 18.5 18.5 18.5 18.5
19.0 19.0 19.0 19.0 19.0 19.0 19.0 19.0 19.0 19.0 19.0 19.0 19.0 19.0
19.0 19.0 19.0 19.0 19.0 19.0
19.5 19.5 19.5 19.5 19.5 19.5 19.5 19.5 19.5 19.5 19.5 19.5 19.5 19.5
19.5 19.5 19.5 19.5 19.5 19.5
20.0 20.0 20.0 20.0 20.0 20.0 20.0 20.0 20.0 20.0 20.0 20.0 20.0 20.0
20.0 20.0 20.0 20.0 20.0 20.0

Z=

0.09 0.14 0.18 0.23 0.27 0.32 0.36 0.41 0.45 0.50 0.55 0.59 0.64
0.68 0.73 0.77 0.82 0.86 0.91
0.09 0.13 0.17 0.22 0.26 0.30 0.35 0.39 0.43 0.48 0.52 0.57 0.61
0.65 0.70 0.74 0.78 0.83 0.87
0.08 0.13 0.17 0.21 0.25 0.29 0.33 0.38 0.42 0.46 0.50 0.54 0.58
0.63 0.67 0.71 0.75 0.79 0.83
0.08 0.12 0.16 0.20 0.24 0.28 0.32 0.36 0.40 0.44 0.48 0.52 0.56
0.60 0.64 0.68 0.72 0.76 0.80
0.08 0.12 0.15 0.19 0.23 0.27 0.31 0.35 0.38 0.42 0.46 0.50 0.54
0.58 0.62 0.65 0.69 0.73 0.77
0.07 0.11 0.15 0.19 0.22 0.26 0.30 0.33 0.37 0.41 0.44 0.48 0.52
0.56 0.59 0.63 0.67 0.70 0.74
0.07 0.11 0.14 0.18 0.21 0.25 0.29 0.32 0.36 0.39 0.43 0.46 0.50
0.54 0.57 0.61 0.64 0.68 0.71
0.07 0.10 0.14 0.17 0.21 0.24 0.28 0.31 0.34 0.38 0.41 0.45 0.48
0.52 0.55 0.59 0.62 0.66 0.69
0.07 0.10 0.13 0.17 0.20 0.23 0.27 0.30 0.33 0.37 0.40 0.43 0.47
0.50 0.53 0.57 0.60 0.63 0.67
0.06 0.10 0.13 0.16 0.19 0.23 0.26 0.29 0.32 0.35 0.39 0.42 0.45
0.48 0.52 0.55 0.58 0.61 0.65
0.06 0.09 0.13 0.16 0.19 0.22 0.25 0.28 0.31 0.34 0.38 0.41 0.44
0.47 0.50 0.53 0.56 0.59 0.63
0.06 0.09 0.12 0.15 0.18 0.21 0.24 0.26 0.29 0.32 0.35 0.38 0.41
0.44 0.47 0.50 0.53 0.56 0.59
0.06 0.09 0.11 0.14 0.17 0.20 0.23 0.26 0.29 0.31 0.34 0.37 0.40
0.43 0.46 0.49 0.51 0.54 0.57
0.06 0.08 0.11 0.14 0.17 0.19 0.22 0.25 0.28 0.31 0.33 0.36 0.39

```

0.42 0.44 0.47 0.50 0.53 0.56
0.05 0.08 0.11 0.14 0.16 0.19 0.22 0.24 0.27 0.30 0.32 0.35 0.38
0.41 0.43 0.46 0.49 0.51 0.54
0.05 0.08 0.11 0.13 0.16 0.18 0.21 0.24 0.26 0.29 0.32 0.34 0.37
0.39 0.42 0.45 0.47 0.50 0.53
0.05 0.08 0.10 0.13 0.15 0.18 0.21 0.23 0.26 0.28 0.31 0.33 0.36
0.38 0.41 0.44 0.46 0.49 0.51
0.05 0.08 0.10 0.13 0.15 0.18 0.20 0.23 0.25 0.28 0.30 0.33 0.35
0.38 0.40 0.43 0.45 0.48 0.50

```

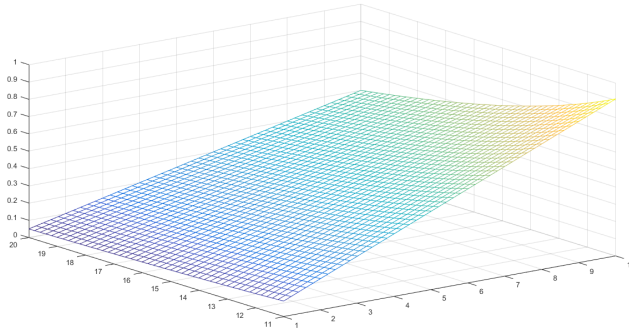


Figura 4.4: Suavización de la malla

- Una vez que es cargada la información requerida, el botón grafica una aproximación de la superficie, se muestra la gráfica estimada mediante el método , además una nueva ventana aparece con la gráfica suavizada y con los puntos estimados de (x, y) y su ubicación en la superficie.

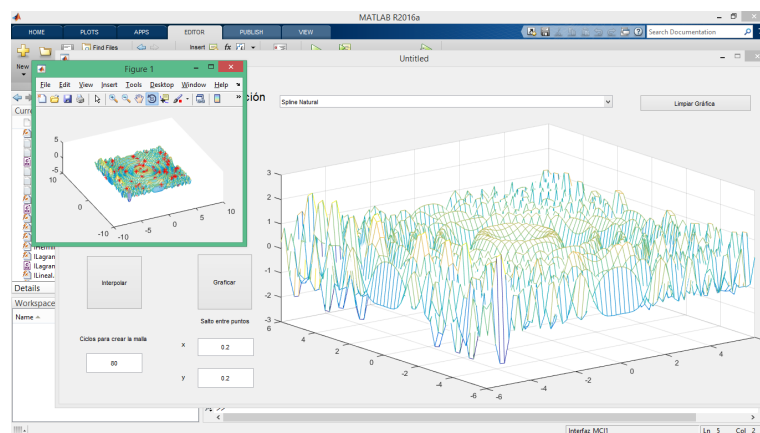


Figura 4.5: Gráfica en la interfaz

9. Ventana donde aparece la gráfica de la interpolación.
10. Botón que limpia la gráfica después de un proceso.

4.2.2. Interfaz para Interpolación Bivariada de Akima

La imagen de la interfaz para el método de Interpolación Bivariada de Akima es la siguiente

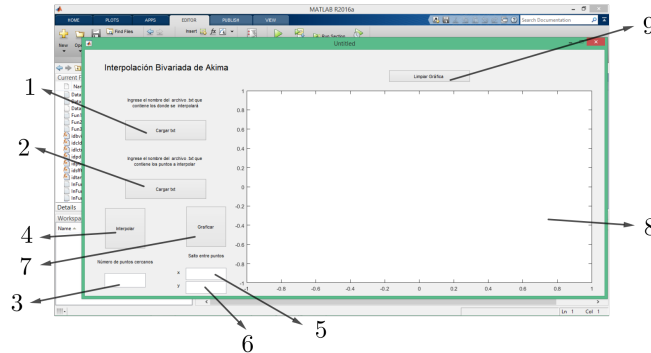


Figura 4.6: Interfaz de la Interpolación Bivariada de Akima

1. Documentos .txt con las características de 1 de la interfaz para IBMIU.
2. Documentos .txt con las características de 2 de la interfaz para IBMIU.

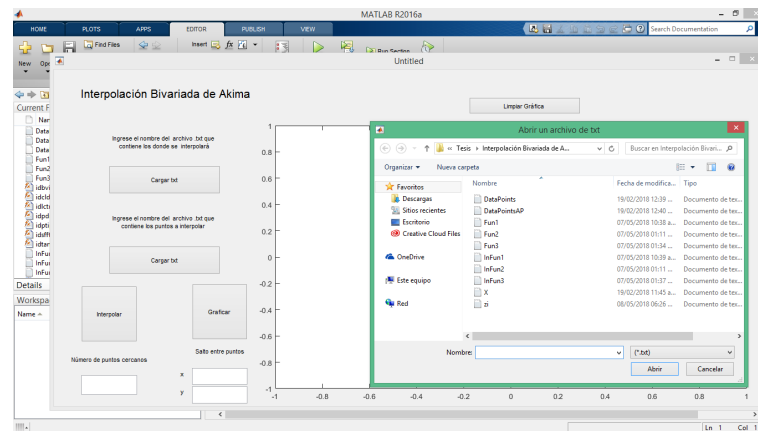


Figura 4.7: Interfaz de la Interpolación Bivariada de Akima

3. Ingresa el valor entero positivo del número de puntos cercanos que se considerarán para estimar las derivadas parciales del método, debe ser mayor a tres.

4. Realiza la misma función que 5 de la interfaz IBMIU.
5. La misma función que 6 de la interfaz IBMIU.
6. La misma función que 7 de la interfaz IBMIU.
7. La misma función que 8 de la interfaz IBMIU

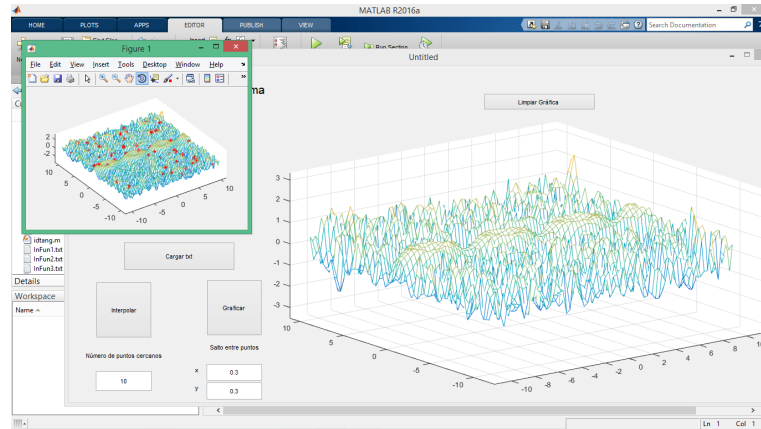


Figura 4.8: Gráfica de la Interfaz

8. Ventana donde aparece la gráfica de la interpolación.
9. Botón que limpia la gráfica después de un proceso.

Es importante mencionar, el costo computacional de los métodos, por una lado el tiempo de ejecución del interpolante IBMIU es mejor que el Interpolante Bivariado de Akima (se analizará más a detalle en el siguiente capítulo), ahora una vez que tenemos los programas implementados, es necesario analizar su comportamientos en los datos y concluir que tipo de resultados ofrece.

Capítulo 5

Conclusiones

En los capítulos dos y tres estudiamos la teoría en los métodos de interpolación, ahora veremos algunos resultados obtenidos, una vez implementados mediante programas en el software numérico Matlab en su versión 2016, primero los aplicaremos a algunas funciones analíticas para comparar el resultados reales y estimados por los interpolantes, después usaremos para poder estimar los resultados sobre las superficies que se usan como herramienta de cálculo de propiedades de los fluidos en yacimientos de petróleos.

En el caso de la IBMIU usaremos los siguientes interpolantes para implementarlo

1. Spline Cúbico Natural.
2. Spline Not-A-Knot.
3. Interpolación Lineal.
4. Interpolación Cúbica de Akima
5. Interpolación Restringida.
6. Interpolación de Preservación. Monótona

Nota: la interpolación de Lagrange, Hermite y Newton no se usarán debido a que el grado de los polinomios es grande con lo cual el polinomio tiene curvas muy pronunciadas, como consecuencia la distancia entre el valor real y estimado es muy grande, lo cual resulta ineficiente, en el caso del Spline Cúbico Completo, es necesario conocer el valor de las derivadas en los puntos frontera, lo cual no siempre es posible tener dentro de los datos originales.

5.1. Interpolación Univariada

Antes de analizar los interpolantes bidimensionales, analicemos su comportamiento en forma univariada para conocer sus características, para hacerlo, utilizaremos la siguiente lista de puntos.

Cuadro 5.1: Cuadro con datos

x	y
10.8724	6.6347
13.7967	6.8361
21.1833	2.7942
37.4934	3.1524
43.6586	6.3842
71.7471	4.8199
74.6233	5.9897
78.6149	2.8916
79.6756	2.4170
85.0460	7.6371
92.0875	7.1354

5.1.1. Interpolantes Polinomiales

A continuación se muestran los datos interpolados mediante los métodos de Newton y Hermite

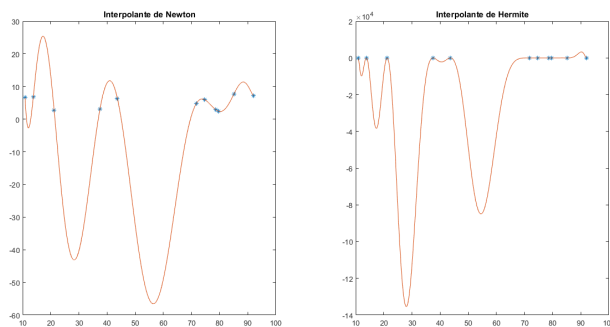


Figura 5.1

en la imagen podemos observar como en ambos métodos la escala de los polinomios rebasa por mucho a la de los datos del Cuadro 5.1, por lo cual se tendría errores muy grandes al utilizarlos en el interpolante IBMIU.

5.1.2. Interpolantes Polinomiales a Trozos

Debido a los grandes errores que generan los interpolantes polinomiales, analicemos el comportamientos de los interpolantes por intervalos (Spline Cúbico y Hermite Cúbico) como alternativa para reducir el error

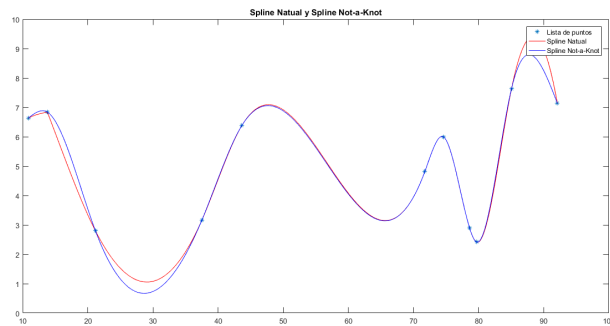


Figura 5.2

en la figura 5.2 anterior observamos la forma de interpolar de ambos Spline, donde notamos algunas diferencias cerca de la frontera

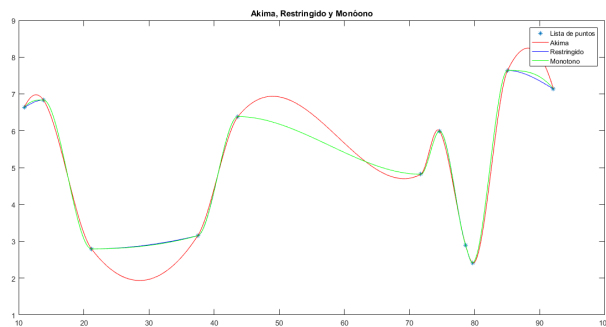


Figura 5.3

en los interpolates Hermite Cúbico de la figura 5.4 (Akima, Restringido y Monótono) observemos por las curvas generadas que el interpolante de Akima suaviza de mejor manera que los otros dos, generando algunas curvas sin ser muy pronunciadas, ahora comparemos la interpolación de Akima con el interpolante Spline vista en la figura 5.4

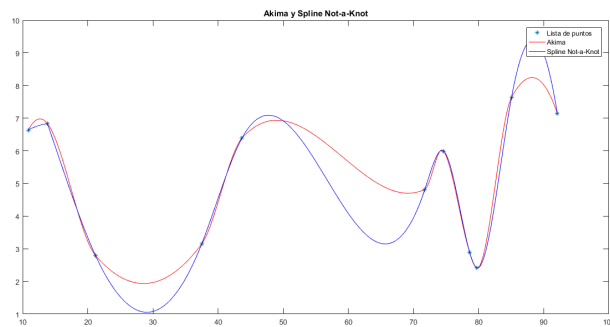
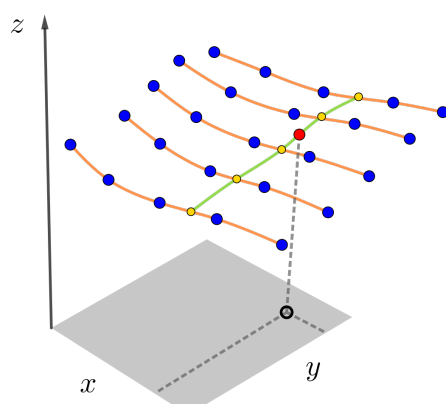


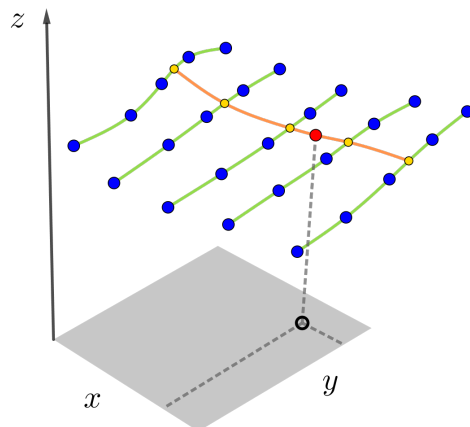
Figura 5.4

podemos notar que el interpolante de Akima realiza una suavización con curvas menos pronunciadas que el Spline, este resultado será importante para analizar el comportamiento de los interpolantes IBMIU, ya que nos permite comprender mejor los resultados obtenidos en interpolación bivariada.

5.2. Funciones Analíticas

Antes de analizar la eficiencia de los interpolates sobre funciones analíticas, analizaremos si existen diferencias numéricas significativas al cambiar el orden de interpolación de los IBMIU, es decir, si existen diferencias importantes al interpolar primero sobre el plano (x, z) y después sobre el plano (y, z) y comparar con los resultados obtenidos al interpolar sobre el plano (y, z) y posteriormente sobre el plano (x, z) como se muestra en las siguientes imágenes





para compararlos se realizaron pruebas en mil datos interpolados, obteniendo los siguientes resultados, que representan la diferencia en valor absolutos de ambas formas de interpolar

<i>Intervalo</i>		<i>Frecuencia</i>
0	$7.105427357601E - 15$	954
$7.105427357601E - 15$	$1.4210854715202E - 14$	33
$1.42108547152E - 14$	$2.1316282072803E - 14$	11
$2.13162820728E - 14$	$2.8421709430404E - 14$	2

se puede notar que la diferencia numérica al invertir el orden de interpolación es muy pequeña para todos los casos por lo cual el orden de interpolación de los IBMIU no representa un aspecto significativo, en nuestro caso siempre lo haremos en el orden de los planos (x, z) y (y, z) . Finalmente mostramos quince

datos obtenidos con ambas formas de interpolación.

<i>Interpolante</i>	<i>Diferencia</i>
$(x, z) \rightarrow (y, z)$	$ (x, z) \rightarrow (y, z) - (y, z) \rightarrow (x, z) $
23.2082683189647	0.00000000000000000000000000000000
-12.625617246642	0.00000000000000000000000000000000
64.7802371233969	0.0000000000000001421085
-13.5018572218662	0.000000000000000177636
40.4252060404357	0.00000000000000000000000000000000
63.6044154402264	0.00000000000000000000000000000000
-4.54651383275162	0.00000000000000088818
8.09322608102197	0.00000000000000000000000000000000
1.25444453364654	0.00000000000000044409
-1.73472931601773	0.00000000000000022204
-12.2160628619673	0.00000000000000000000000000000000
85.0452791065428	0.00000000000000000000000000000000
56.7701559930283	0.00000000000000000000000000000000

A continuación estimaremos puntos con los interpolantes en algunas funciones, también usaremos el cálculo del error absoluto (Δz) y relativo ε_r para comparar los valores originales ($z_o = f(x, y)$) y los estimados z_e

$$\Delta z = |z_e - z_o|$$

$$\varepsilon_r = \left| \frac{\Delta z}{z_o} \right|$$

vemos la gráfica de la función $\sin(\sin(xy) + \cos(xy))$

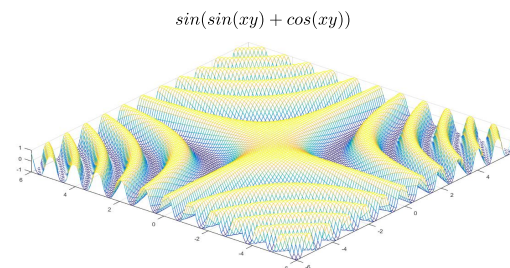


Figura 5.5

en la siguiente tabla se muestran treinta datos tomados de cinco mil estimados con IBMIU con cada interpolante y la Interpolación Bivariada de Akima

Cuadro 5.2: Estimación de treinta puntos (x_{ii}, y_{ii}) en la función $z_o = f(x, y) = \sin(\sin(xy) + \cos(xy))$

x_{ii}	y_{ii}	z_o	S.Nat. (z_e)	Δz	ε_r
1.83037	1.40514	-0.29812	-0.29794	0.00019	0.00062
-1.41044	4.88863	0.24166	0.24249	0.00083	0.00341
1.38884	-0.34428	0.41478	0.41478	0.00000	0.00001
-4.65912	2.41272	0.93671	0.96887	0.03217	0.03434
1.30741	0.53204	0.98686	0.98681	0.00005	0.00005
-2.76124	-3.16486	-0.14010	-0.14086	0.00075	0.00538
-3.50024	0.57373	-0.97102	-0.97203	0.00101	0.00104
-3.29371	0.84090	-0.96222	-0.97963	0.01742	0.01810
0.70173	4.28751	-0.75698	-0.69622	0.06076	0.08027
0.73836	-2.43522	-0.93190	-0.92998	0.00191	0.00205
1.72857	4.80360	0.44962	0.44115	0.00847	0.01884
3.41861	-0.53803	-0.94231	-0.99529	0.05298	0.05623
1.91158	3.65200	0.98691	0.99576	0.00885	0.00897
4.11965	4.53629	0.73525	0.58679	0.14846	0.20191
-2.40219	4.91606	0.98768	0.95723	0.03045	0.03083
-0.44314	-3.52499	0.84613	0.84613	0.00000	0.00000
-4.05139	2.29767	-0.89527	-0.88049	0.01478	0.01650
-4.36308	-1.61046	0.98757	0.99376	0.00619	0.00627
3.63112	-1.84284	0.49742	0.49574	0.00168	0.00338
-1.89679	1.25731	-0.98768	-0.98799	0.00032	0.00032
4.61502	2.99518	0.95215	0.95694	0.00479	0.00503
-1.82210	3.82679	0.13486	0.13509	0.00022	0.00167
-1.33935	2.84690	-0.16016	-0.15997	0.00019	0.00118
0.29577	-2.28851	0.15257	0.15214	0.00043	0.00283
-2.33183	0.49028	-0.47535	-0.47523	0.00012	0.00025
1.52536	-1.24328	-0.95432	-0.95433	0.00001	0.00001
1.92777	-2.23809	0.50934	0.49016	0.01918	0.03765
4.38172	2.17506	-0.89119	-0.80692	0.08426	0.09455
1.70538	-4.81989	-0.96125	-0.93838	0.02288	0.02380
-3.40529	1.01238	-0.60716	-0.60733	0.00017	0.00028

S.Not. (z_e)	Δz	ε_r	ILin. (z_e)	Δz	ε_r
-0.29794	0.00019	0.00062	-0.28953	0.00859	0.02883
0.24249	0.00083	0.00341	0.23949	0.00218	0.00902
0.41478	0.00000	0.00001	0.41368	0.00110	0.00265
0.96887	0.03217	0.03434	0.76250	0.17420	0.18598
0.98681	0.00005	0.00005	0.98581	0.00105	0.00107
-0.14086	0.00075	0.00538	-0.11905	0.02105	0.15025
-0.97203	0.00101	0.00104	-0.94919	0.02182	0.02247
-0.97963	0.01742	0.01810	-0.85080	0.11142	0.11579
-0.69622	0.06076	0.08027	-0.49714	0.25984	0.34326
-0.92998	0.00191	0.00205	-0.86050	0.07139	0.07661
0.44115	0.00847	0.01884	0.35703	0.09260	0.20594
-0.99529	0.05298	0.05623	-0.77166	0.17065	0.18110
0.99576	0.00885	0.00897	0.95215	0.03476	0.03522
0.58679	0.14846	0.20191	-0.14066	0.87591	1.19131
0.95723	0.03045	0.03083	0.62649	0.36118	0.36569
0.84613	0.00000	0.00000	0.84144	0.00470	0.00555
-0.88049	0.01478	0.01650	-0.72626	0.16900	0.18877
0.99376	0.00619	0.00627	0.93551	0.05206	0.05271
0.49574	0.00168	0.00338	0.45747	0.03995	0.08032
-0.98799	0.00032	0.00032	-0.98409	0.00358	0.00363
0.95694	0.00479	0.00503	0.90131	0.05085	0.05340
0.13509	0.00022	0.00167	0.12779	0.00707	0.05245
-0.15997	0.00019	0.00118	-0.15507	0.00509	0.03178
0.15214	0.00043	0.00283	0.14147	0.01110	0.07277
-0.47523	0.00012	0.00025	-0.46380	0.01155	0.02430
-0.95433	0.00001	0.00001	-0.95398	0.00034	0.00035
0.49016	0.01918	0.03765	0.37241	0.13692	0.26883
-0.80692	0.08426	0.09455	-0.54444	0.34675	0.38908
-0.93838	0.02288	0.02380	-0.63905	0.32220	0.33519
-0.60733	0.00017	0.00028	-0.60441	0.00275	0.00453

Ak. (z_e)	Δz	ε_r	I.R. (z_e)	Δz	ε_r
-0.29512	0.00301	0.01008	-0.29437	0.00375	0.01259
0.24617	0.00451	0.01866	0.24667	0.00500	0.02070
0.41408	0.00070	0.00170	0.41552	0.00074	0.00178
0.92314	0.01357	0.01449	0.81125	0.12545	0.13393
0.98751	0.00065	0.00066	0.98634	0.00052	0.00053
-0.12932	0.01078	0.07698	-0.17369	0.03359	0.23975
-0.98389	0.01287	0.01326	-0.96819	0.00283	0.00291
-0.93410	0.02812	0.02922	-0.89462	0.06759	0.07025
-0.70156	0.05542	0.07321	-0.65385	0.10313	0.13624
-0.92909	0.00281	0.00301	-0.91121	0.02068	0.02219
0.40369	0.04593	0.10216	0.39297	0.05666	0.12601
-0.94314	0.00084	0.00089	-0.78173	0.16057	0.17041
0.96937	0.01754	0.01777	0.95849	0.02842	0.02879
0.40682	0.32842	0.44668	-0.03277	0.76802	1.04457
0.77795	0.20972	0.21234	0.80961	0.17807	0.18029
0.84676	0.00063	0.00074	0.84553	0.00060	0.00071
-0.86250	0.03276	0.03660	-0.82704	0.06823	0.07621
0.98085	0.00672	0.00680	0.97086	0.01671	0.01692
0.49048	0.00694	0.01395	0.48321	0.01421	0.02856
-0.98855	0.00087	0.00088	-0.98495	0.00273	0.00276
0.95220	0.00005	0.00005	0.92323	0.02892	0.03037
0.13165	0.00321	0.02381	0.13343	0.00144	0.01066
-0.15583	0.00432	0.02700	-0.15979	0.00037	0.00231
0.15008	0.00249	0.01634	0.14772	0.00485	0.03179
-0.47685	0.00150	0.00316	-0.47099	0.00436	0.00916
-0.95428	0.00004	0.00005	-0.95443	0.00011	0.00011
0.46101	0.04833	0.09488	0.44822	0.06112	0.11999
-0.75756	0.13363	0.14995	-0.73951	0.15168	0.17020
-0.89456	0.06670	0.06939	-0.79157	0.16968	0.17652
-0.61272	0.00556	0.00916	-0.61358	0.00642	0.01058

IMon. (z_e)	Δz	ε_r	Biv.Ak. (z_e)	Δz	ε_r
-0.29484	0.00329	0.01102	-0.30233	0.00420	0.01391
0.24732	0.00565	0.02338	0.22479	0.01688	0.07509
0.41536	0.00058	0.00139	0.41508	0.00030	0.00071
0.82653	0.11017	0.11762	0.92607	0.01064	0.01149
0.98632	0.00054	0.00055	0.98544	0.00142	0.00144
-0.17127	0.03116	0.22244	-0.13649	0.00361	0.02645
-0.96798	0.00304	0.00313	-0.97973	0.00871	0.00889
-0.90509	0.05713	0.05937	-0.96455	0.00233	0.00242
-0.67067	0.08631	0.11402	-0.76106	0.00408	0.00536
-0.91736	0.01453	0.01559	-0.93256	0.00066	0.00071
0.40059	0.04903	0.10905	0.47186	0.02224	0.04713
-0.78543	0.15688	0.16649	-0.94002	0.00229	0.00243
0.95983	0.02708	0.02743	0.99071	0.00380	0.00384
0.01374	0.72151	0.98131	0.69836	0.03689	0.05282
0.81244	0.17524	0.17743	1.00489	0.01721	0.01713
0.84560	0.00053	0.00063	0.85699	0.01086	0.01267
-0.84198	0.05328	0.05952	-0.92565	0.03038	0.03282
0.97301	0.01457	0.01475	1.07545	0.08788	0.08172
0.48595	0.01147	0.02306	0.50373	0.00632	0.01254
-0.98498	0.00270	0.00273	-0.98839	0.00072	0.00073
0.92459	0.02756	0.02894	0.94388	0.00827	0.00876
0.13351	0.00136	0.01005	0.14371	0.00885	0.06156
-0.16029	0.00013	0.00081	-0.17697	0.01682	0.09502
0.14872	0.00385	0.02523	0.15605	0.00348	0.02230
-0.47194	0.00341	0.00717	-0.47838	0.00304	0.00635
-0.95434	0.00002	0.00002	-0.95108	0.00324	0.00341
0.45972	0.04962	0.09743	0.49695	0.01239	0.02493
-0.76402	0.12717	0.14270	-0.88781	0.00337	0.00380
-0.81288	0.14838	0.15436	-0.97597	0.01471	0.01508
-0.61214	0.00498	0.00821	-0.60368	0.00348	0.00576

5.2.1. Análisis de Datos

A continuación se presentan algunos resultados encontrados con cinco mil puntos interpolados, se muestran una tabla con promedios de Δz y ε_r e histogramas para cada interpolante

Cuadro 5.3: Promedios de Δ_z y ε_r

Interpolante	Promedio Δ_z	Promedio ε_r
Spline Natural	0.02705	16.327 %
Spline Not-a-Knot	0.02705	16.327 %
Lineal	0.10409	39.249 %
Akima	0.04726	25.799 %
Restringido	0.06519	30.178 %
Monótono	0.06144	28.899 %
Bivariado de Akima	0.01832	7.2477 %

los siguientes histogramas muestran la frecuencia del error tanto absoluto como relativo para cada interpolante

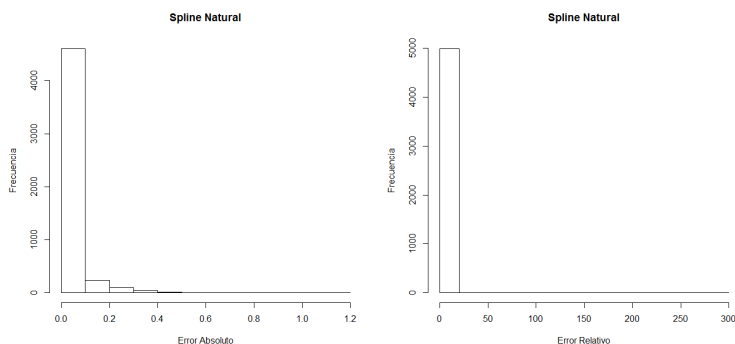


Figura 5.6

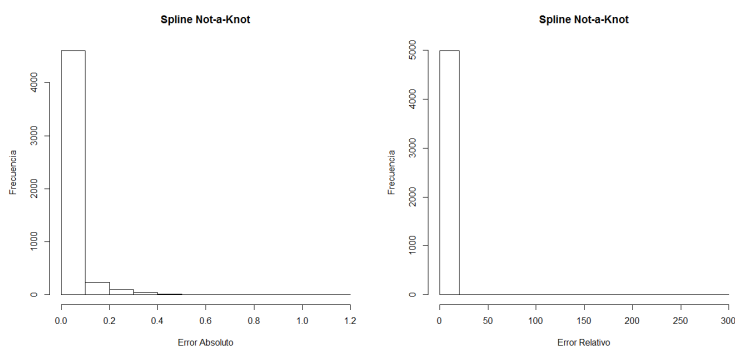


Figura 5.7

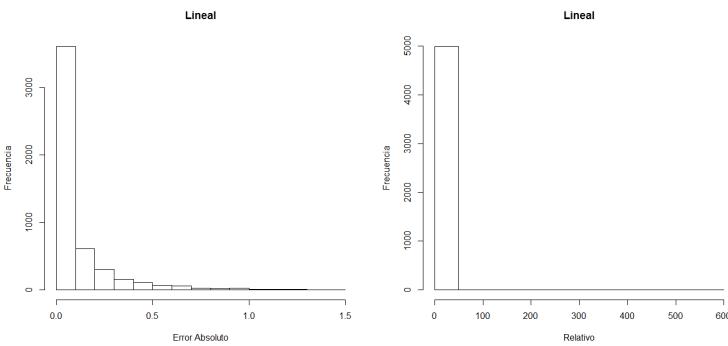


Figura 5.8

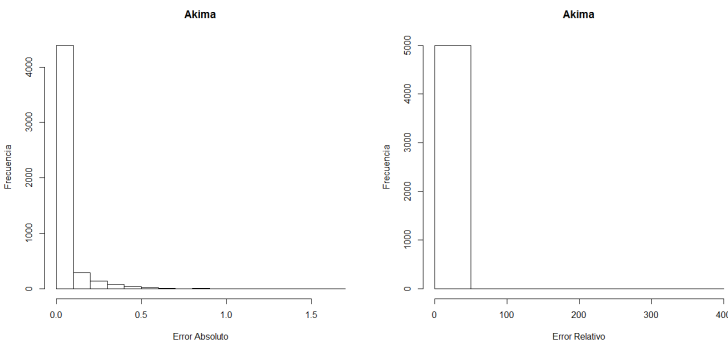


Figura 5.9

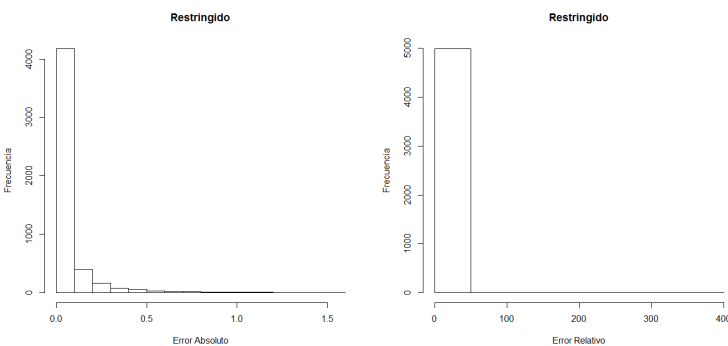


Figura 5.10

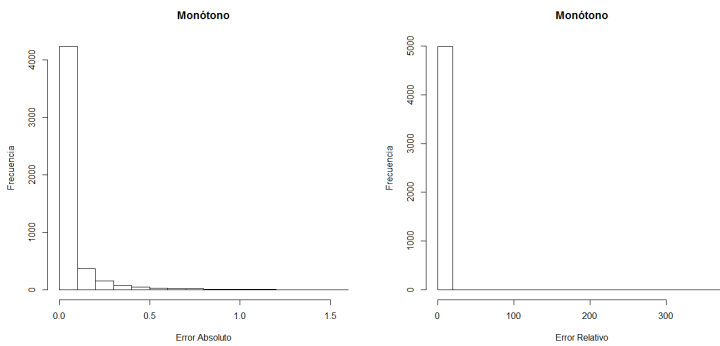


Figura 5.11

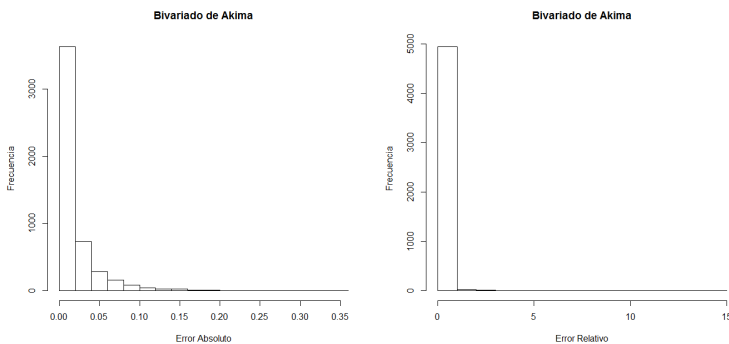


Figura 5.12

Las gráficas del lado izquierdo nos muestran la diferencia que hay entre el valor real de la función analítica y el valor estimado de cinco mil puntos mediante el interpolante, mientras que las gráficas del lado izquierdo nos muestran el grado de error en porcentaje de la misma cantidad de datos, es importante notar que los interpolantes IBMIU Spline y Bivariado de Akima, tiene una mejor disminución del error en funciones analíticas elegidas, esto se puede ver más claro en las siguientes tablas.

Cuadro 5.4: Frecuencias de Δz y ε_r (Spline Natural)

Δz		Datos	ε_r		Datos
0	0.1	4605	0 %	20 %	4994
0.1	0.2	231	20 %	40 %	3
0.2	0.3	95	60 %	80 %	2
0.3	0.4	40	280 %	300 %	1
0.4	0.5	13			
0.5	0.6	4			
0.6	0.7	4			
0.7	0.8	1			
0.8	0.9	2			
0.9	1	2			
1	1.1	2			
1.1	1.2	1			

Cuadro 5.5: Frecuencias de Δz y ε_r (Spline Not-a-Knot)

Δz		Datos	ε_r		Datos
0	0.1	4605	0 %	20 %	4994
0.1	0.2	231	20 %	40 %	3
0.2	0.3	95	60 %	80 %	2
0.3	0.4	40	280 %	300 %	1
0.4	0.5	13			
0.5	0.6	4			
0.6	0.7	4			
0.7	0.8	1			
0.8	0.9	2			
0.9	1	2			
1	1.1	2			
1.1	1.2	1			

Cuadro 5.6: Frecuencias de Δz y ε_r (Lineal)

Δz		Datos	ε_r		Datos
0	0.1	3607	0 %	50 %	4996
0.1	0.2	611	50 %	100 %	2
0.2	0.3	303	100 %	150 %	1
0.3	0.4	159	550 %	600 %	1
0.4	0.5	105			
0.5	0.6	66			
0.6	0.7	55			
0.7	0.8	24			
0.8	0.9	17			
0.9	1	24			
1	1.1	10			
1.1	1.2	8			
1.2	1.3	7			
1.3	1.4	3			
1.4	1.5	1			

Cuadro 5.7: Frecuencias de Δz y ε_r (Akima)

Δz		Datos	ε_r		Datos
0	0.1	4388	0 %	50 %	4998
0.1	0.2	289	50 %	100 %	1
0.2	0.3	137	350 %	400 %	1
0.3	0.4	79			
0.4	0.5	42			
0.5	0.6	25			
0.6	0.7	11			
0.7	0.8	4			
0.8	0.9	9			
0.9	1	2			
1	1.1	3			
1.1	1.2	3			
1.2	1.3	2			
1.3	1.4	0			
1.4	1.5	2			
1.5	1.6	3			
1.6	1.7	1			

Cuadro 5.8: Frecuencias de Δz y ε_r (Restringido)

Δz		Datos	ε_r		Datos
0	0.1	4179	0 %	50 %	4997
0.1	0.2	401	50 %	100 %	1
0.2	0.3	159	100 %	150 %	1
0.3	0.4	78	350 %	400 %	1
0.4	0.5	55			
0.5	0.6	31			
0.6	0.7	22			
0.7	0.8	23			
0.8	0.9	13			
0.9	1	12			
1	1.1	8			
1.1	1.2	9			
1.2	1.3	4			
1.3	1.4	3			
1.4	1.5	2			
1.5	1.6	1			

Cuadro 5.9: Frecuencias de Δz y ε_r (Monótono)

Δz		Datos	ε_r		Datos
0	0.1	4236	0.00 %	20.00 %	4993
0.1	0.2	365	20.00 %	40.00 %	4
0.2	0.3	151	60.00 %	80.00 %	1
0.3	0.4	78	340.00 %	380.00 %	1
0.4	0.5	46			
0.5	0.6	31			
0.6	0.7	20			
0.7	0.8	24			
0.8	0.9	11			
0.9	1	12			
1	1.1	10			
1.1	1.2	6			
1.2	1.3	3			
1.3	1.4	4			
1.4	1.5	2			
1.5	1.6	1			

Cuadro 5.10: Frecuencias de Δz y ε_r (Bivariado de Akima)

Δz		Datos	ε_r		Datos
0	0.02	3630	0 %	1 %	4951
0.02	0.04	731	1 %	2 %	19
0.04	0.06	279	2 %	3 %	16
0.06	0.08	155	3 %	4 %	5
0.08	0.1	87	4 %	5 %	2
0.1	0.12	42	5 %	6 %	2
0.12	0.14	27	6 %	7 %	1
0.14	0.16	27	7 %	8 %	1
0.16	0.18	10	8 %	9 %	1
0.18	0.2	5	9 %	10 %	0
0.2	0.22	3	10 %	11 %	0
0.22	0.24	1	11 %	12 %	1
0.24	0.26	1	12 %	13 %	0
0.26	0.28	0	13 %	14 %	0
0.28	0.3	0	14 %	15 %	1
0.3	0.32	1			
0.32	0.34	0			
0.34	0.36	1			

En los datos de las tablas podemos confirmar que la mejor disminución del error absoluto y relativo en funciones analíticas es mediante el interpolante IBMIU Spline y Bivariado de Akima, sin embargo es necesario mencionar que los resultados obtenidos provienen de funciones con secciones “suaves”, ahora analizaremos mediante gráficas el comportamiento de los interpolantes en las secciones de las funciones donde no tienen las característica de ser suaves.

5.2.2. Gráficas Generadas por los Interpolantes

En esta sección se mostrarán gráficas de algunas funciones, se interpolarán mediante los métodos mencionados previamente, las funciones tienen la características de ser “suaves” en algunas secciones, mientras que en otras no tiene dicha característica.

1. $f(x, y) = \sin(x^2 + y^2)$

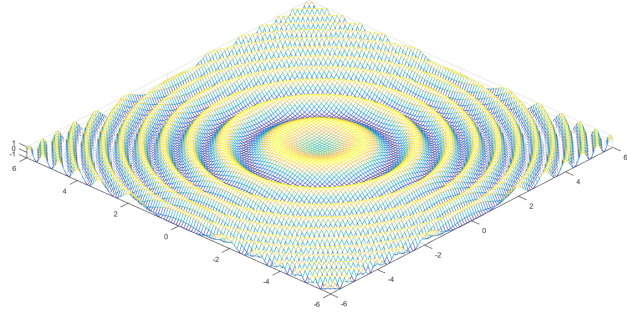
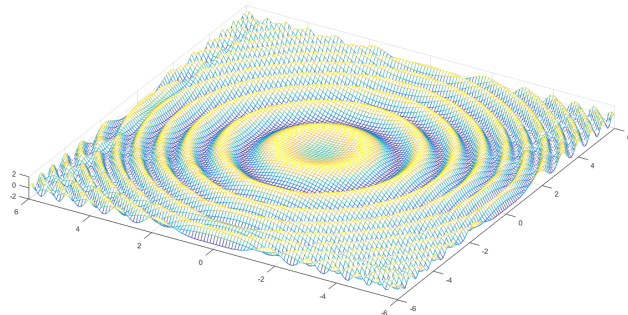
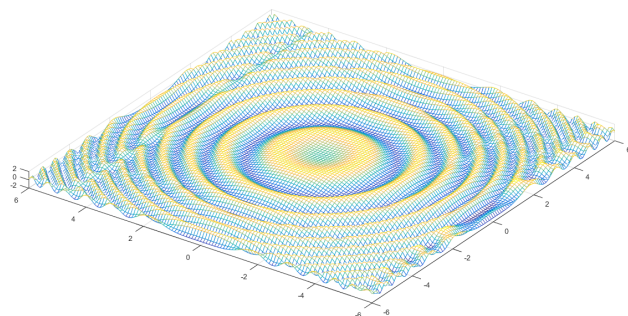


Figura 5.13: $\sin(x^2 + y^2)$

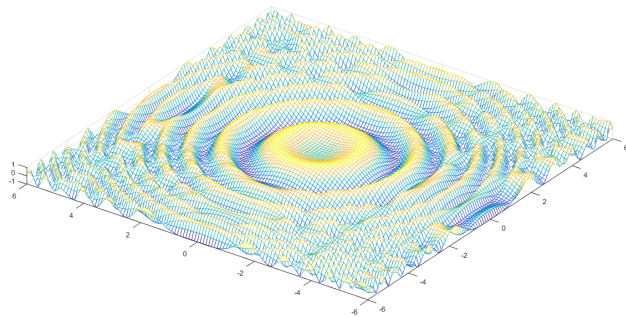
a) Spline Natural



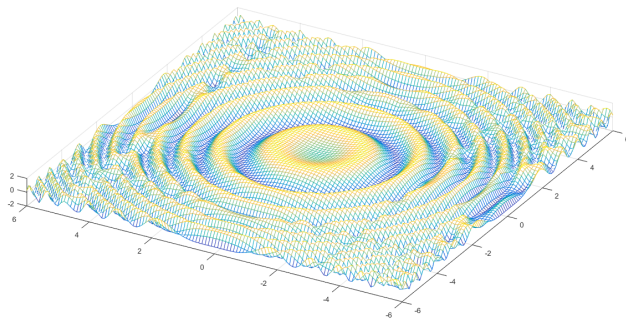
b) Spline Not-A-Knot



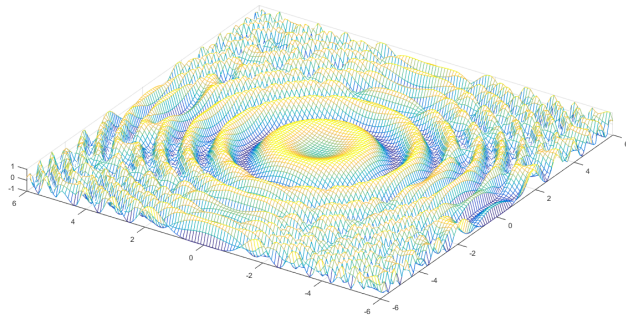
c) Lineal



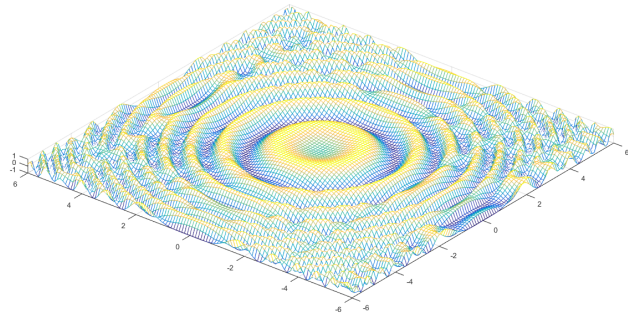
d) Akima



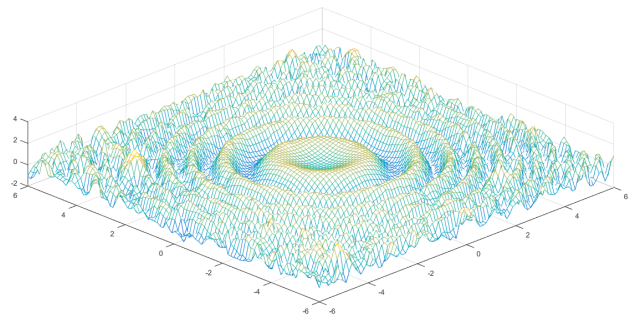
e) Restringido



f) Monótono



g) Bivariado de Akima



2. $\cos(y^2 + \sin(x))$

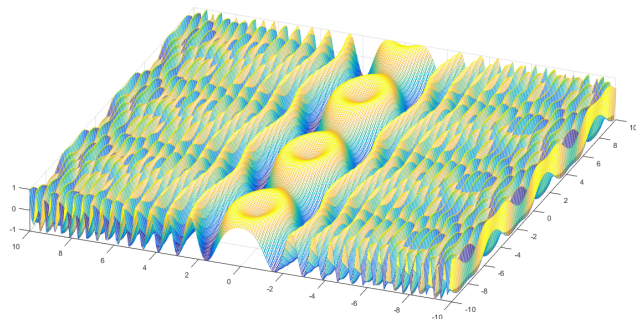
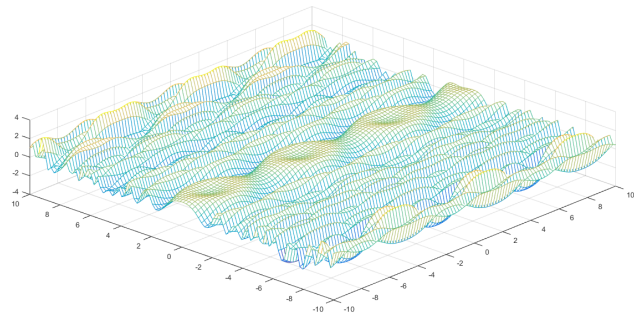
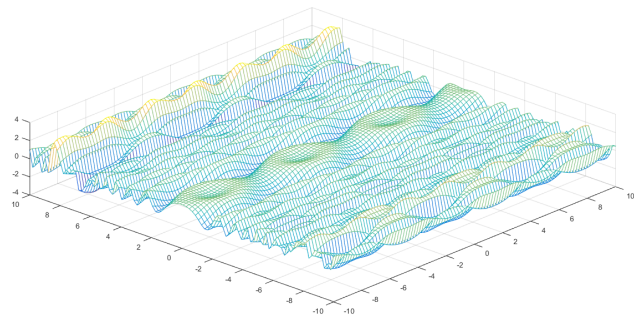


Figura 5.14: $\cos(y^2 + \sin(x))$

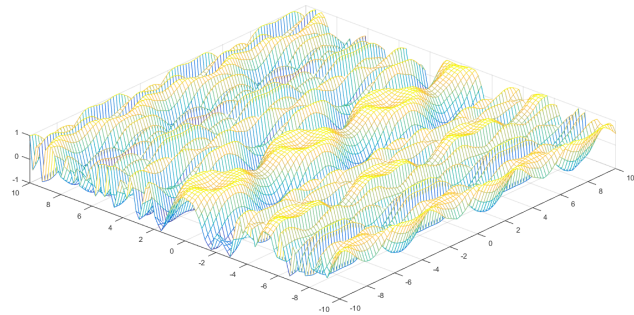
a) Spline Natural



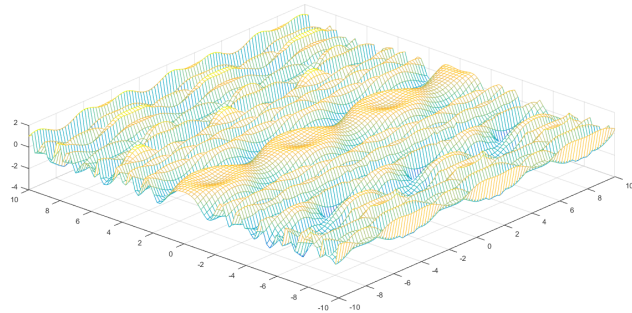
b) Spline Not-A-Knot



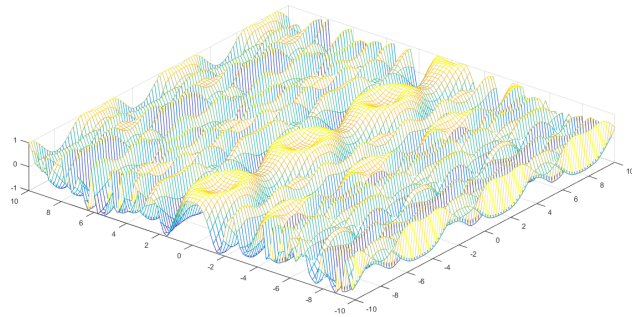
c) Lineal



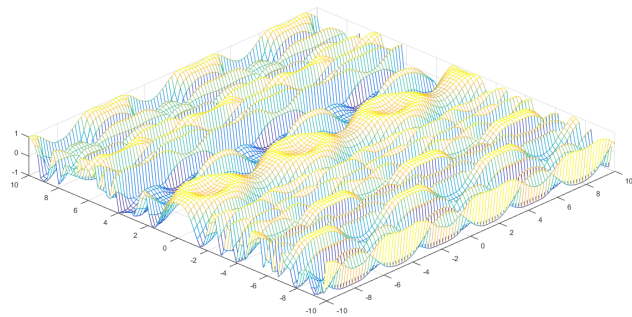
d) Akima



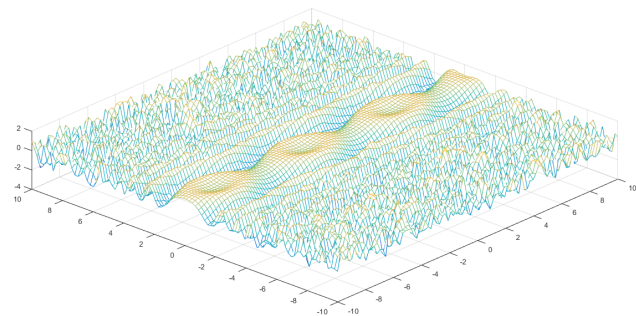
e) Restringido



f) Monótono



g) Bivariado de Akima



3. $f(x, y) = e^{\sin(x)+\cos(y)}$

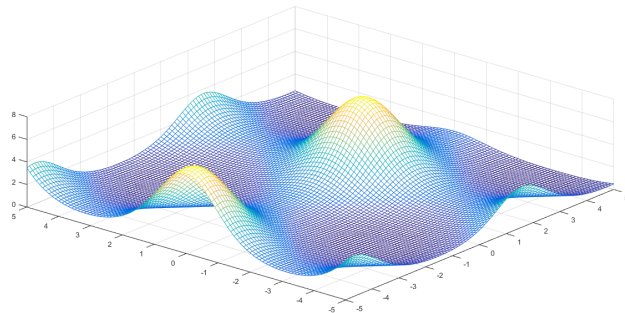
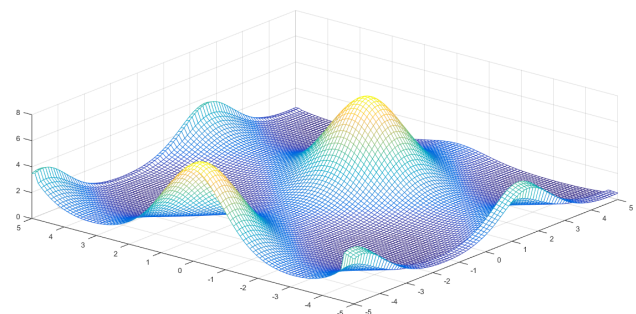
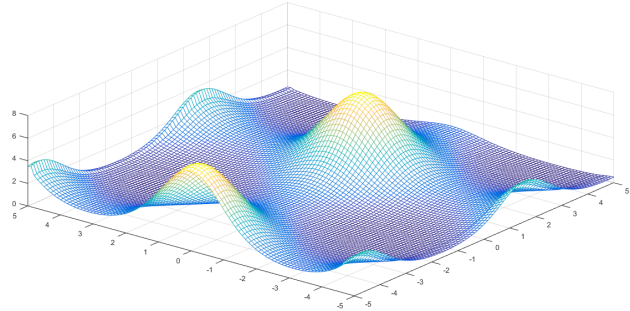


Figura 5.15: $e^{\sin(x)+\cos(y)}$

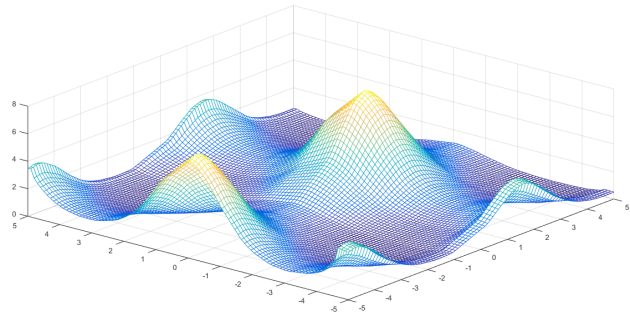
a) Spline Natural



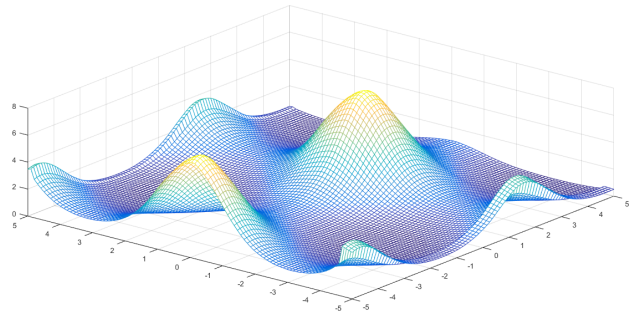
b) Spline Not-A-Knot



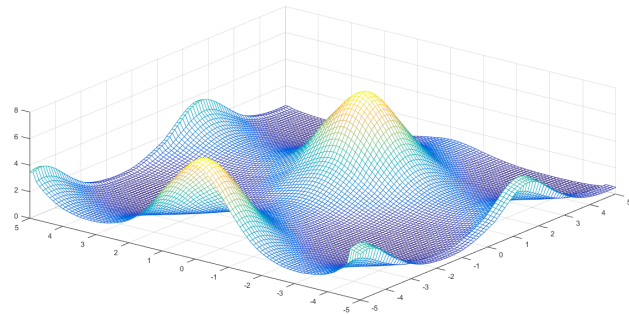
c) Lineal



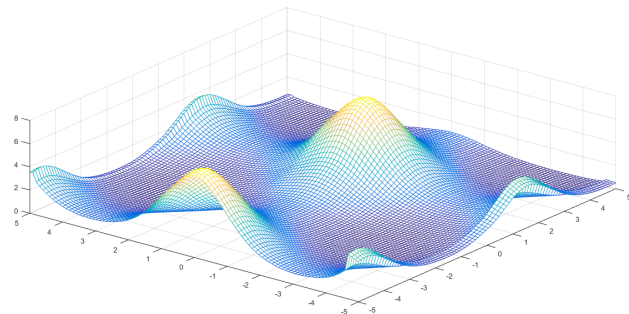
d) Akima



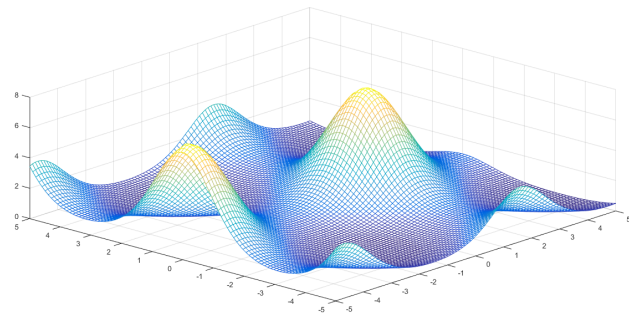
e) Restringido



f) Monótono



g) Bivariado de Akima



4. $f(x, y) = \sin(\sqrt{x^2 + y^2})$

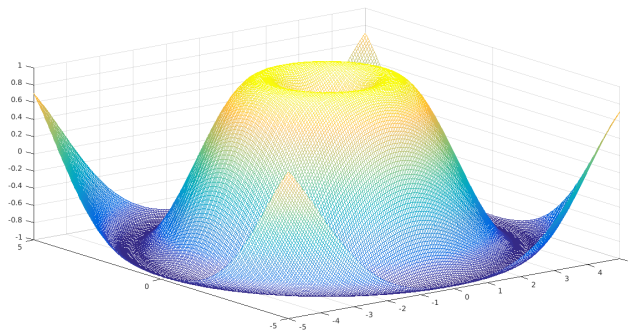
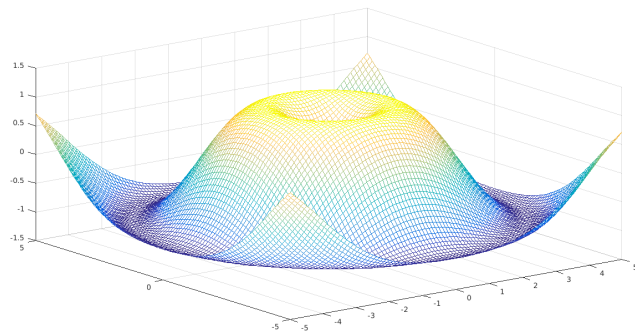
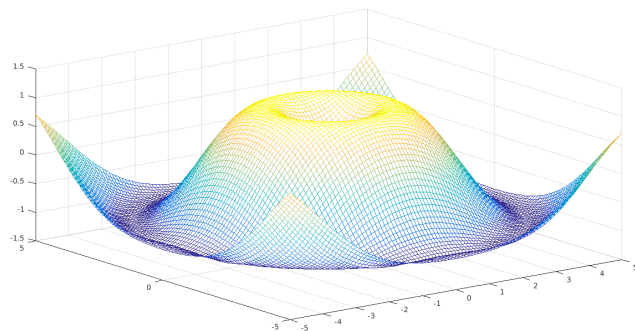


Figura 5.16: $\sin(\sqrt{x^2 + y^2})$

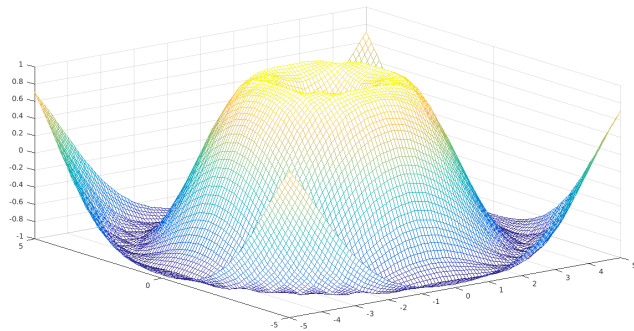
a) Spline Natural



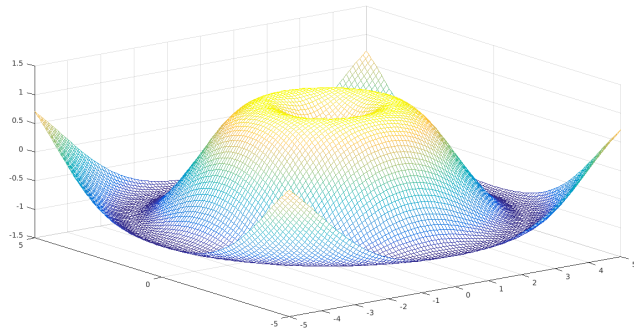
b) Spline Not-A-Knot



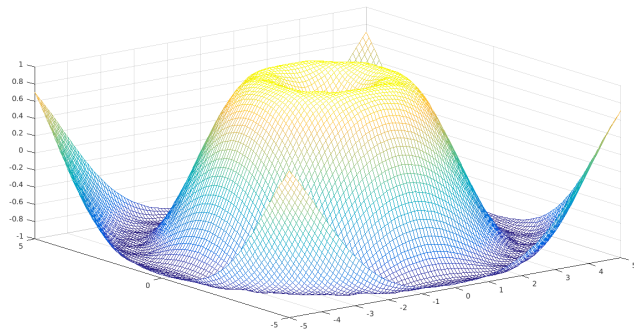
c) Lineal



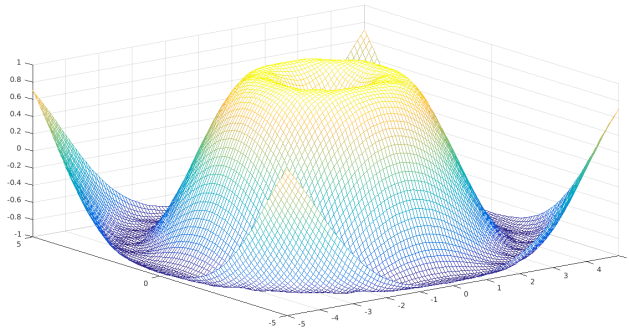
d) Akima



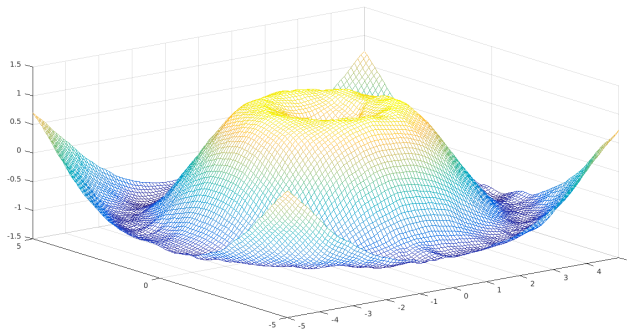
e) Restringido



f) Monótono



g) Bivariado de Akima



5.2.3. Interpolantes Óptimos

Una vez analizados los datos y las gráficas, podemos buscar interpolantes óptimos para las funciones analíticas.

En las gráficas con secciones no “suaves” observamos que los interpolantes IBMIU Spline y Bivariado de Akima, comienzan a realizar curvas pronunciadas que se alejan de la superficie original, sin embargo los interpolantes IBMIU Hermite Cúbico, reducen el error en las secciones no “suaves”.

Mediante las gráficas y los datos analizados, es posible realizar algunas observaciones, podemos notar, que para el caso de la IBMIU, los interpolantes Spline reducen mejor el error que los de tipo Hermite Cúbico en funciones suaves, y a que el Spline contempla la segunda derivada para su construcción, mientras que los interpolantes de tipo Hermite Cúbico sólo la primera derivada, veamos en la siguiente gráfica el comportamiento de los dos tipos de interpolante

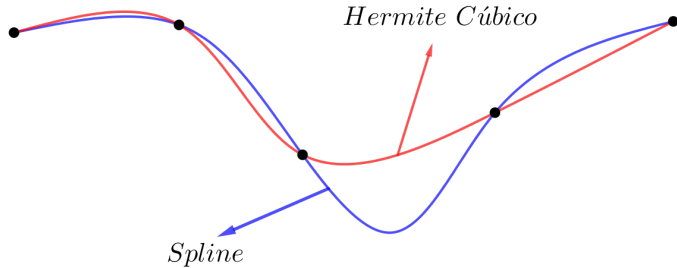


Figura 5.17: Spline y Hermite Cúbico

como se ve en la gráfica, el interpolante Spline suele tener curvas más pronunciadas en ciertas secciones, mientras que el Hermite Cúbico, no presenta esta característica, si lo calculamos en IBMIU, es posible notarlo en la gráficas y los datos en histogramas y tablas, resultado de las características propias de los interpolantes.

El caso del interpolante Bivariado de Akima, vemos que se reduce aún más el error, gracias a la construcción del método, que aproxima hasta la segunda derivada parcial ($z_x, z_y, z_{xx}, z_{xy}, z_{yy}$), para cada punto del triángulo al que pertenece un polinomio de grado cinco.

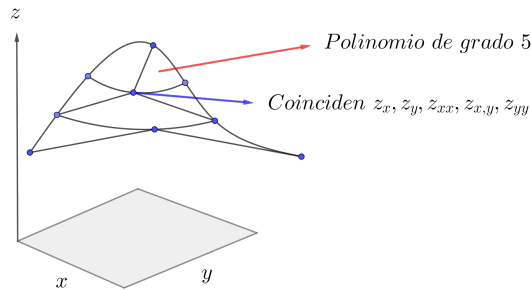


Figura 5.18: Spline y Hermite Cúbico

Otro aspecto importante además del error para evaluar la eficiencia de un método, es el costo numérico de cada interpolante, por un lado, la IBMIU tiene un costo menor, ya que consiste en aplicar un mismo método de interpolación univariado varias veces para aproximar un valor bivariado, haciendo con más rapidez el cálculo para varios puntos, por otro lado el método Bivariado de Akima reduce mejor el error, pero el costo es más alto, debido a que su construcción teórica requiere de varios procesos (triangulación, aproximación a las derivadas parciales, etc.).

En conclusión, podemos decir que para las funciones analíticas el interpolante **Bivariado de Akima** es el mejor, ya que reduce el error mejor que en otros interpolantes, sin embargo, si la función en la mayor de su estructura es “no suave” entonces el mejor estimador es el interpolante **IBMIU Akima** ya que al observar las gráficas y los datos vemos reduce mejor el error que los otros interpolantes de tipo Hemite Cúbico.

5.3. Fluidos en Yacimientos de Petróleos

Los datos utilizados para su análisis fueron proporcionados por la empresa Grupo SSC S.A. de C.V. en donde se desarrolló un modulo computacional PVT PCTSAG (Programa de Caracterización Termodinámica de Sistemas Aceite-Gas). En los modulos PVT se calculan propiedades termodinámicas, equilibrio de fases y algunas propiedades mecánicas. Los datos de las tablas a analizar provienen de solucionar para un conjunto de puntos iniciales la ecuación de estado Peng-Robinson [8]:

$$P = \frac{RT}{(v - b)} - \frac{a(t)}{(v^2 + 2vb - b^2)}$$

en el modulo PCTSAG. Los fluidos de yacimientos de petróleo y gas son mezclas multicomponentes constituidas principalmente de hidrocarburos. Los hidrocarburos presentes van del metano hasta hidrocarburos de alto peso molecular.

A continuación se describen de manera muy general, las propiedades de los fluidos que se analizarán con los interpolantes, propiedades dependen de una presión (PT: Fuerza que ejerce una gas, líquido o sólido sobre una superficie) y una temperatura (TM: Magnitud escalar con al que se mide el nivel térmico) determinada.

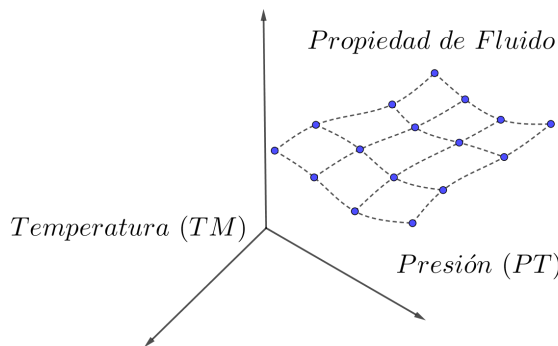


Figura 5.19

1. Densidad de Gas (ROG): Cantidad de moléculas gas que ocupan en un volumen determinado.
2. Densidad de Líquido (ROHL): Relación que existe entre el volumen y la masa del líquido.
3. Fracción Masa de Gas (RS): Fracción de masa del gas con respecto a la masa total de la mezcla.
4. Viscosidad de Gas (VISG): Resistencia a fluir de un gas.
5. Viscosidad de Líquido (VISHL): Resistencia a fluir de un líquido.
6. Capacidad Calorífica de Gas (CPG): Cantidad de energía necesaria para aumentar la temperatura de un gas.
7. Capacidad Calorífica de Líquido (CPHL): Cantidad de energía necesaria para aumentar la temperatura de un líquido.
8. Entalpía de gas (HG): Cantidad de energía contenida en un gas.
9. Entalpía de líquido (HHG): Cantidad de energía contenida en un líquido .
10. Conductividad Térmica de Gas (TCG): Capacidad de conducción de calor de una gas.
11. Conductividad Térmica de Líquido (TCHL): Capacidad de conducción de calor de un líquido.
12. Tensión interfacial del gas-líquido (SIGGHL): Energía que es el resultado de la diferencia del grado de atracción de las moléculas de la superficie del líquido con la del grado de atracción que existe en las moléculas del gas.
13. Entropía de Gas (SEG): Nivel de orden del sistema a nivel molecular del gas.
14. Entropía de Líquido (SEG): Nivel de orden del sistema a nivel molecular del líquido.

5.3.1. Análisis de Datos

Hasta el momento, se han estudiado métodos de interpolación y analizado como se comportan al ingresar puntos en funciones analíticas, ahora se buscará el interpolante óptimo, que aproxime los datos de las distintas superficies generadas propiedades de los fluidos.

Para realizar los cálculos, tomando en cuenta los requerimientos teóricos en los fluidos, se buscan dos propiedades importantes que debe cumplir el interpolante

1. Tiempo requerido para calcular un punto (por cuestiones de optimización).
2. El interpolante no debe hacer grandes cambios en la estructura de la superficie original.
3. El interpolante debe suavizar las superficies sin hacer grandes curvas en los “cambios de fase”.

Tiempo de ejecución

A continuación se muestran los tiempos de ejecución de cada método bivariado (IBMIU y Bivariado de Akima), calculando un puntos interpolando dos mil quinientos datos (número de datos base de las propiedades de los fluidos).

Cuadro 5.11: Tiempo de ejecución de cada método

Interpolante	Tiempo en segundos
Spline Natural (IBMIU)	0.00205349960893
Spline Not-A-Knot (IBMIU)	0.00190553816272
Lineal (IBMIU)	0.00092454522168
Akima (IBMIU)	0.00180418884841
Restringido (IBMIU)	0.00152152261736
Monótono (IBMIU)	0.00234086981659
Bivariado de Akima	2.14729700000000

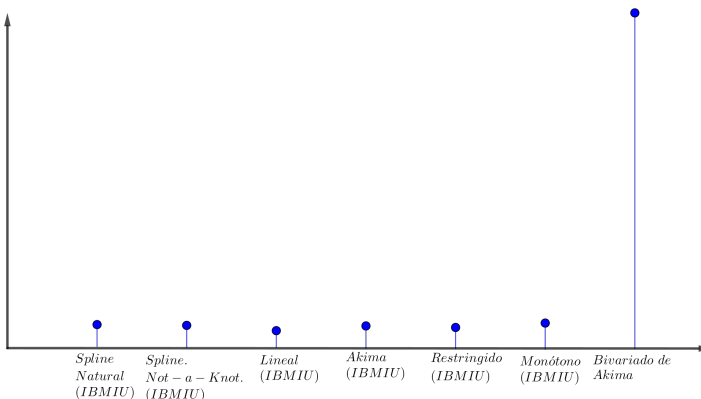


Figura 5.20: Gráfica de tiempos en segundos de los interpolantes

Podemos notar que el interpolante bivariado de Akima es el que consume más tiempo de ejecución, es importante mencionar que dicho tiempo fue calculado tomando en cuenta sólo tres puntos cercanos para estimar las derivadas parciales, si se requieren más puntos cercanos para la estimación, el tiempo de ejecución crece.

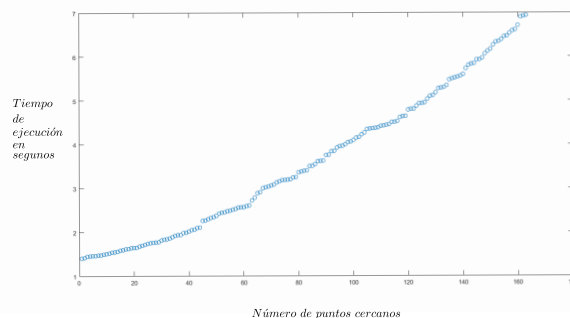


Figura 5.21: Gráfica del tiempo de ejecución en relación a puntos cercanos

Por lo anterior, tomando en cuenta los tiempos de ejecución, el interpolante Bivariado de Akima no podría considerarse, sin embargo es necesario analizar su comportamiento en las superficies de las propiedades de los fluidos para verificar si los resultados obtenidos gráficamente podrían hacer que el tiempo de ejecución no sea una determinante para su elección.

Análisis Gráfico de los Interpolantes

Anteriormente, se había mencionado, que el interpolante no debe hacer grandes cambios en la estructura de las superficies originales en las propiedades

de los fluidos, las estructuras pueden ser clasificadas en tres grupos

1. Superficies regulares

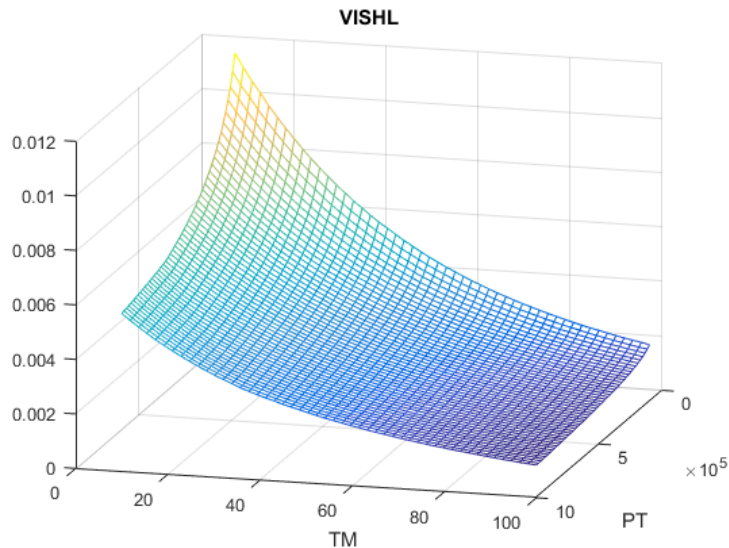


Figura 5.22: Propiedad VISHL

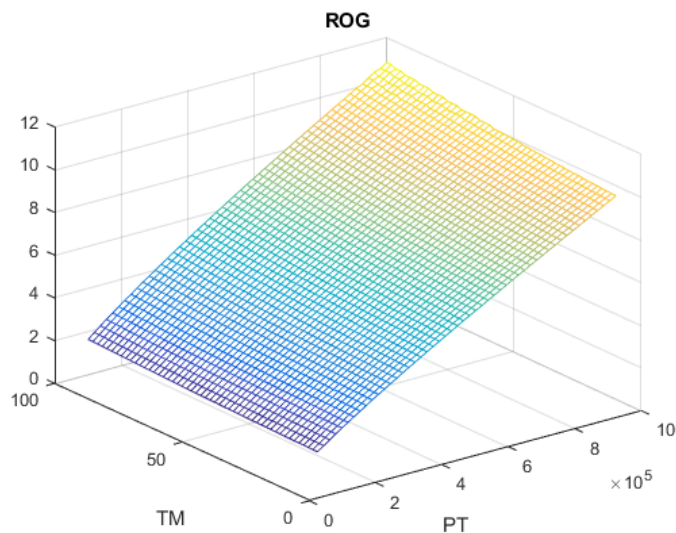


Figura 5.23: Propiedad ROG

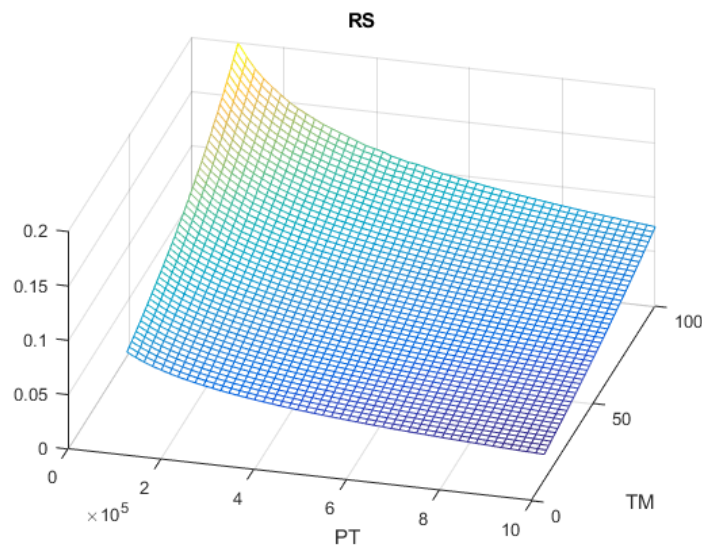


Figura 5.24: Propiedad RS

2. Irregulares

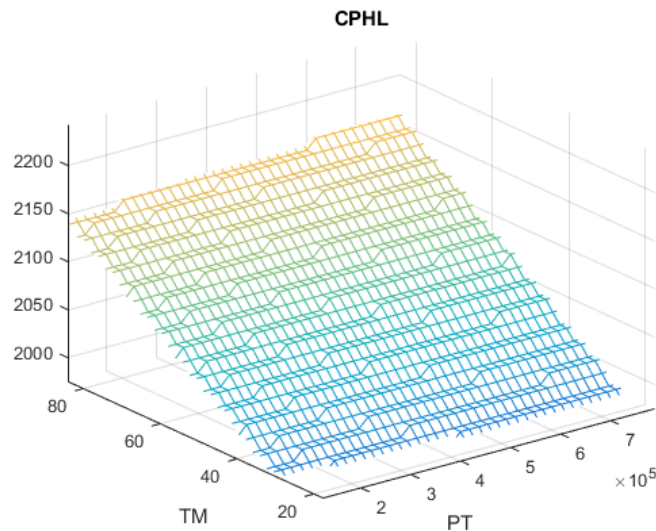


Figura 5.25: Propiedad CPHL

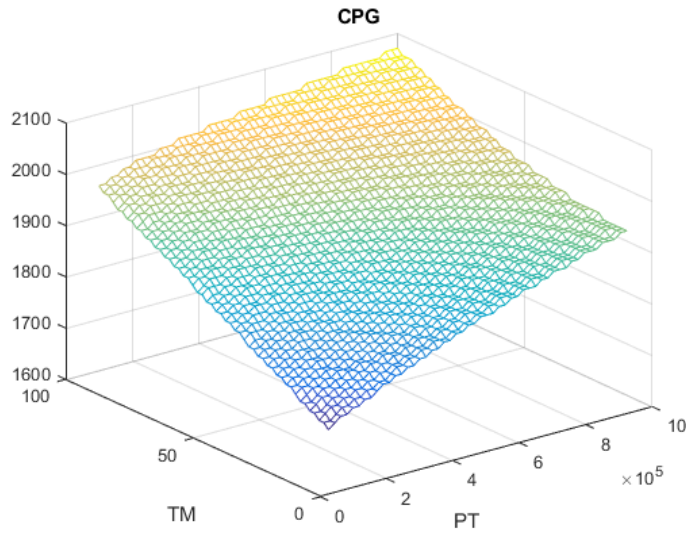


Figura 5.26: Propiedad CPG

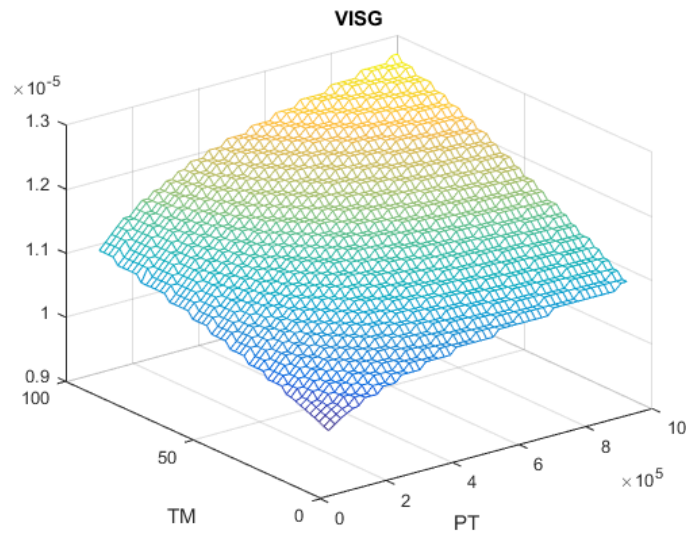


Figura 5.27: Propiedad VISG

3. Con cambios de fase: Esta característica, la analizaremos de manera gráfica, observemos como es el comportamiento de las superficies generadas por las propiedades

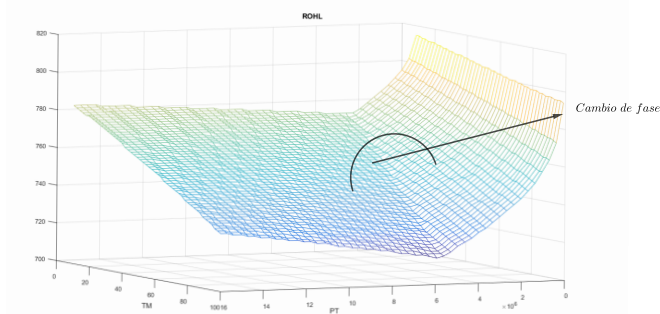


Figura 5.28: Propiedad ROHL

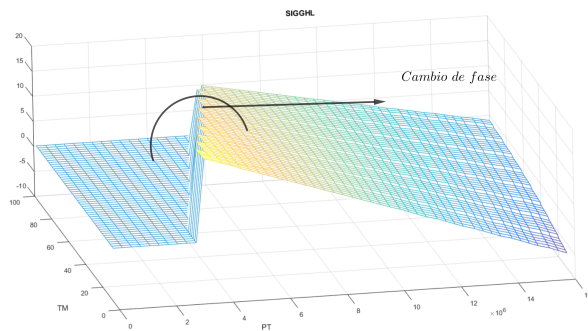


Figura 5.29: Propiedad SIGGHL

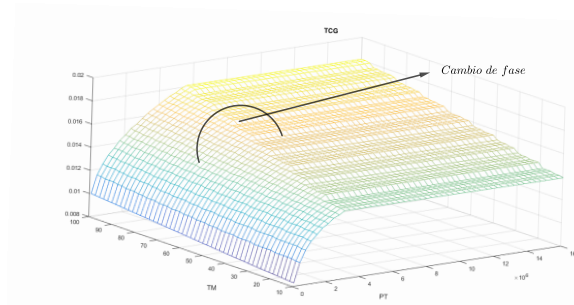


Figura 5.30: Propiedad TCG

es importantes destacar que en las superficies puede cambiar de regulares a irregulares después de un cambio de fase.

El método actualmente utilizado al interpolar dichas superficies es el interpolante lineal, ahora analizaremos el comportamiento de los interpolantes en las tres características antes mencionadas divididos en tres grupos, IBMIU Spline Cúbico, IBMIU Hermite Cúbico y Bivariado de Akima, primero observaremos su comportamiento gráfico sobre superficies regulares, realizando la interpolación sobre la propiedad VISHL

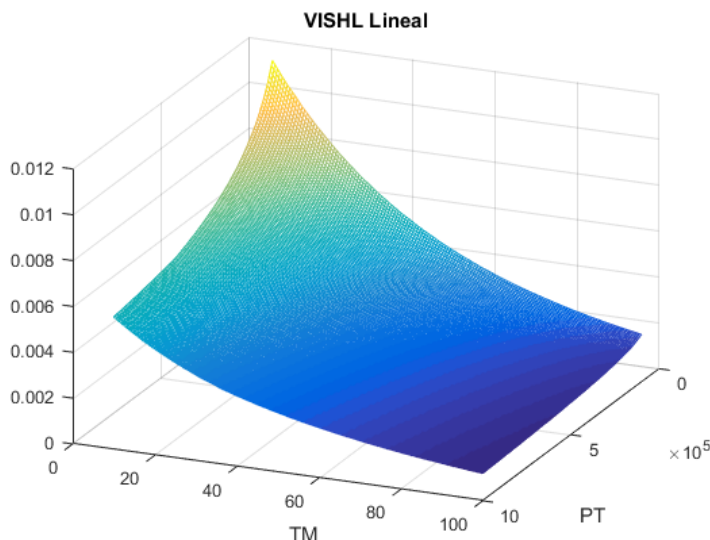


Figura 5.31: IBMIU Lineal CPHL

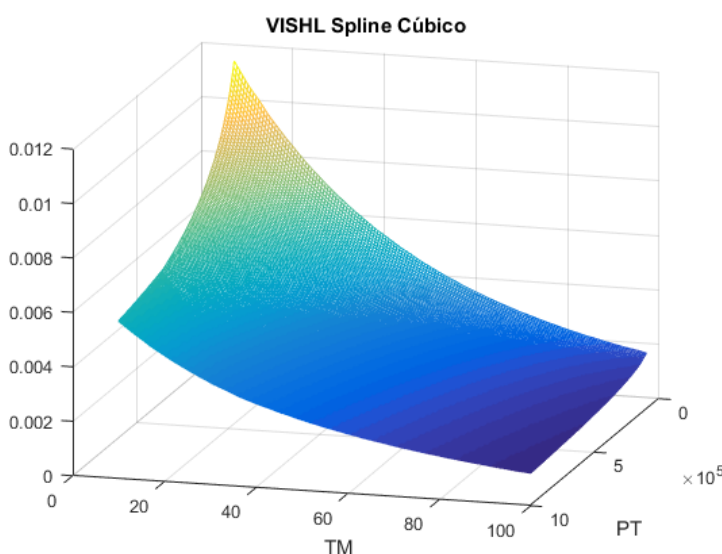


Figura 5.32: IBMIU Spline Cúbico CPHL

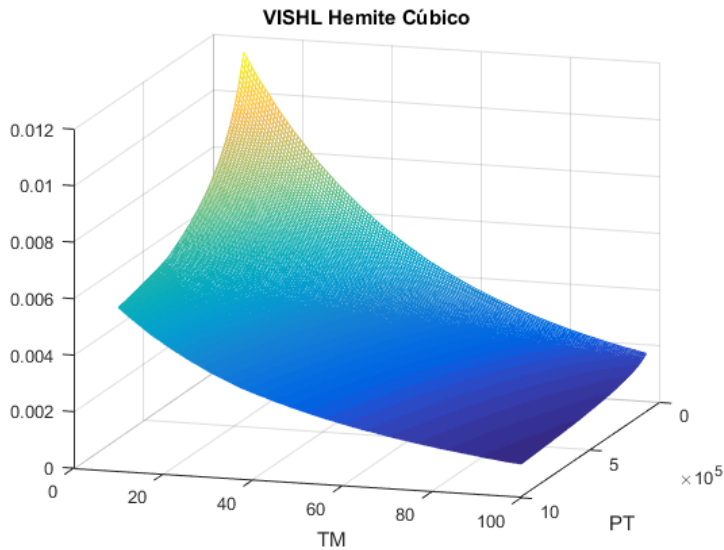


Figura 5.33: IBMIU Hermite Cúbico CPHL

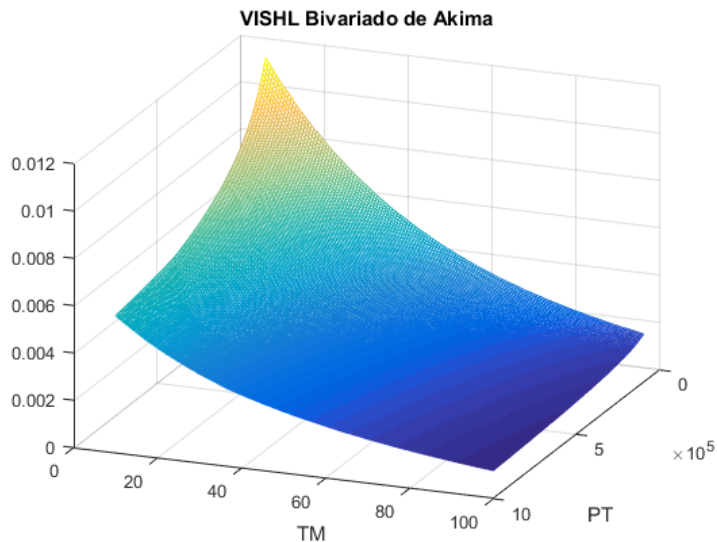


Figura 5.34: Bivariado de Akima CPHL

Es importante notar que no existe un cambio significativo en la suavización de los interpolantes sobre las superficies regulares, siendo los interpolates Lineal, IBMIU Spline Cúbico, IBMIU Hermite Cúbico y BIvariado de Akima métodos candidatos para este tipo de superficies, ahora analicemos su comportamiento sobre las superficies irregulares, tomaremos las gráfica generadas con la propiedad CPHL.

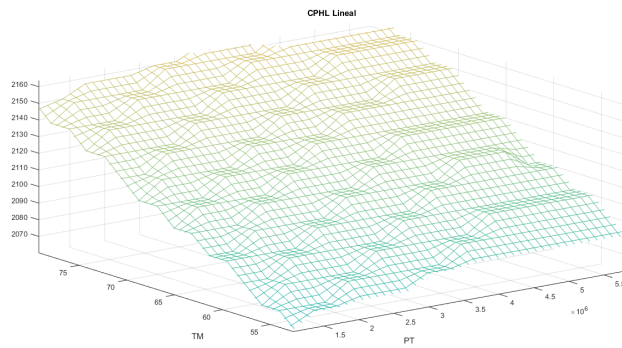


Figura 5.35: IBMIU Lineal CPHL

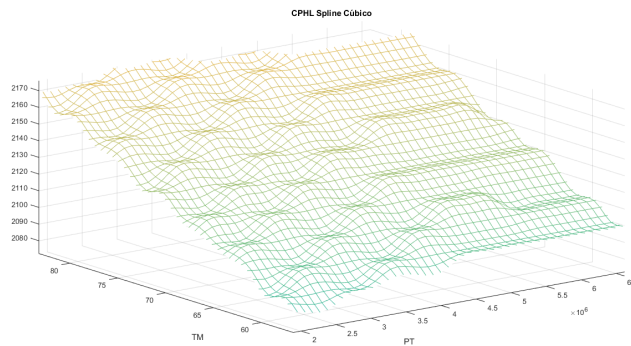


Figura 5.36: IBMIU Spline Cúbico CPHL

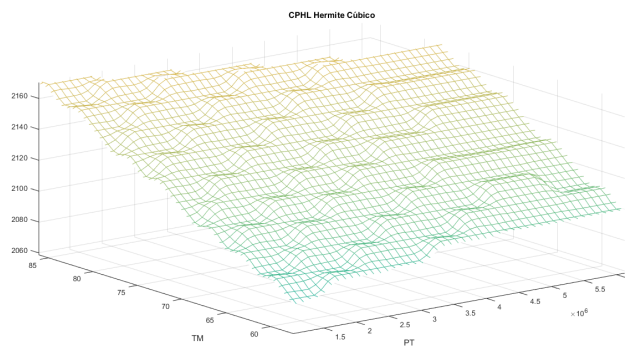


Figura 5.37: IBMIU Hermite Cúbico CPHL

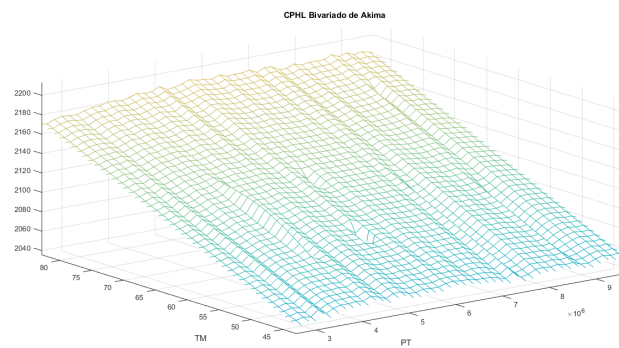


Figura 5.38: Bivariado de Akima CPHL

Al observar las distintas gráficas, notamos que en el caso de las IBMIU Hermite Cúbico e IBMIU Spline Cúbico hubo un mejoramiento en la suavización en las superficies al comparar con la interpolación lineal.

En el caso de la Interpolación bivariada de Akima, el comportamiento del interpolante no ayudó a mejorar la suavización, ya que generó una superficie con algunos “picos” y curvas muy pronunciadas como se muestra en la figura.

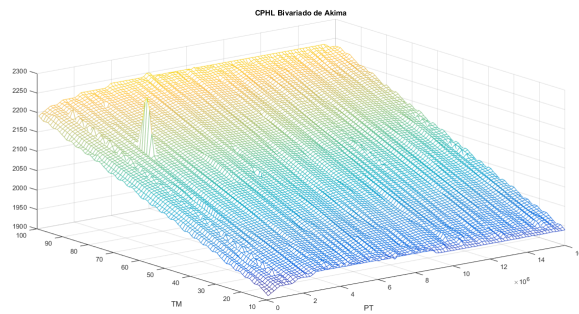


Figura 5.39: Bivariado de Akima CPHL

Por la observación anterior, no podemos contemplar al interpolante bivariado de Akima, ya que no cumple con uno de los requerimientos básicos de no generar grandes cambios en la estructura de la superficie original. Ahora debemos ver el comportamiento de los interpolantes en los “cambios de fase”, veamos las gráficas de los interpolantes Spline Cúbico y Hermite Cúbico para analizar su comportamiento sobre la propiedad SIGGHL.

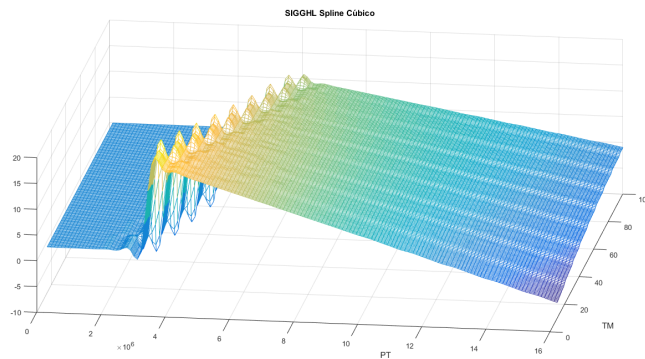


Figura 5.40: IBMIU Spline Cúbico “cambio de fase”

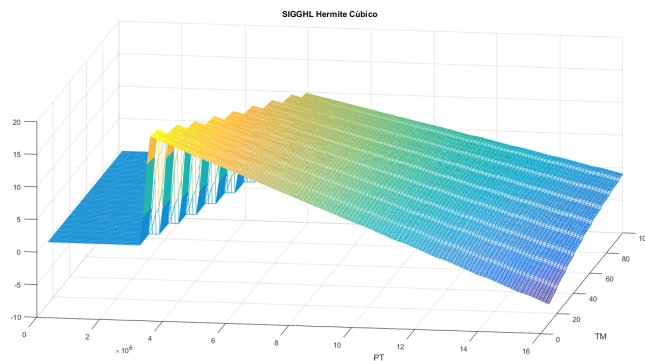


Figura 5.41: IBMIU Hermite Cúbico “cambio de fase”

Como podemos observar el interpolante Spline realiza grandes curvas en los “cambios de fase” mientras que en interpolante Hermite Cúbico suaviza las superficies sin realizar curvas muy pronunciadas en los “cambios de fase”.

Seleccionando el interpolante

Ahora observemos que los mejores métodos tomando en cuenta las condiciones gráficas son los que corresponden al IBMIU Hermite Cúbico (Aki-ma, Restringido y Monónoto) ya que logran suavizar las superficies sin hacer grandes curvas en los “cambios de fase” además de no cambiar de manera significativa en la estructura original de las superficies, ahora analizaremos el criterio del tiempo de ejecución para los interpolantes

Cuadro 5.12: Tiempo de ejecución de cada método

Interpolante	Tiempo en segundos
Akima (IBMIU)	0.00180418884841
Restringido (IBMIU)	0.00152152261736
Monótono (IBMIU)	0.00234086981659

Observemos que el mejor tiempo de ejecución lo tiene el interpolante IB-MIU Restringido, sin embargo el método tiene el problema de no estar definido si alguna pendientes $s_i = 0$, lo cual puede provocar errores al momento de hacer los cálculos ya que en la figura 5.40 vemos una sección de la superficie donde parte de su estructura parece un plano con pendientes $s_i = 0$.

Debido a la observación mencionada, el siguiente mejor tiempo es el Método IBMIU de Akima, qué es un método bivariado óptimo en cuestión de suavización sobre superficies regulares e irregulares y tiempo requerido, además de estar perfectamente definido para las cualquier pendiente, por tal motivo concluimos que este método IBMIU **Bivarido de Akima** es el mejor para poder interpolar las superficies en las propiedades de los fluidos, mejorando la suavización de la interpolación lineal y sin desbordarse en los “cambios de fase”, conservando la estructura de las superficies originales, además de la eficiencia en el tiempo de la ejecución.

Apéndice A

Spline Cúbico, una forma alternativa

Es posible dar una contrucción alterna a la vista previamente en el Capítulo 2. Teniendo $(x_0, y_0), (x_1, y_1), \dots, (x_n, y_n)$, $n + 1$ puntos en \mathbb{R}^2 y cumplen que $x_0 < x_1 < \dots < x_j < \dots < x_{n-1} < x_n$, llamamos S_j con $j = 0, 1, \dots, n - 1$ a los polinomios de grado 3 que pasan por cada punto (x_i, y_i) para $i = 0, 1, \dots, n$ y que además cumplen:

1. $S_{i-1}(x_i) = y_i = S_i(x_i)$
2. $S'_{i-1}(x_i) = S'_i(x_i)$
3. $S''_{i-1}(x_i) = S''_i(x_i)$

con $i = 1, 2, \dots, n - 1$.

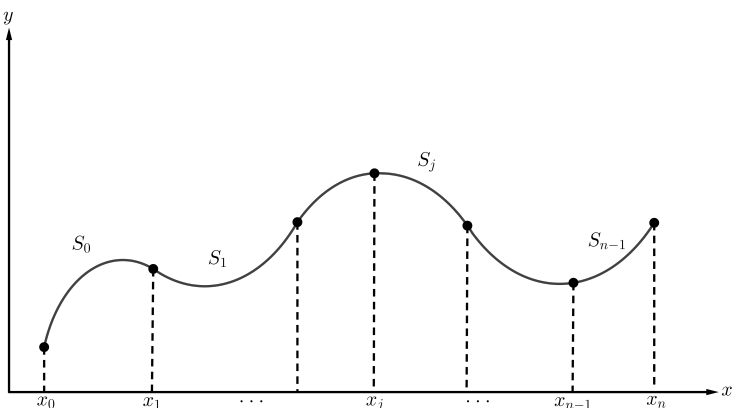


Figura A.1

Usando las condiciones 1,2 y 3 construiremos una expresión para $S_i(x)$, la condición 3, nos permite dar una condición de continuidad que llamaremos z_i

$$\lim_{x \rightarrow x_i^-} S''(x) = z_i = \lim_{x \rightarrow x_i^+} S''(x)$$

para $i = 1, 2, \dots, n - 1$. Si $S_i(x)$ es un polinomio de grado 3, entonces $S_i''(x)$ es una función lineal que podemos definir a partir de z_i usando la ecuación de la recta

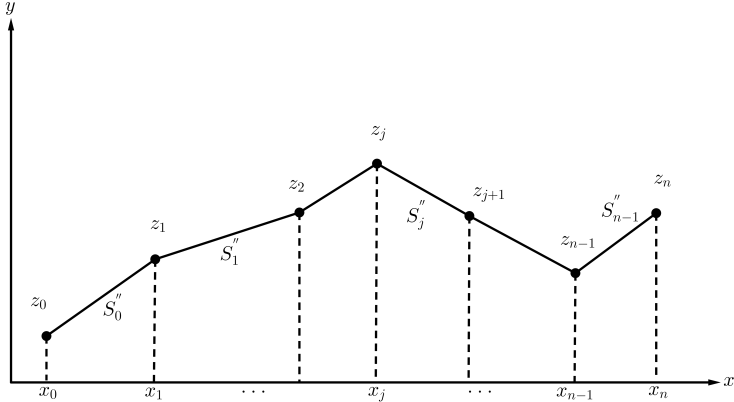


Figura A.2

$$S''_i(x) = \frac{z_{i+1} - z_i}{x_{i+1} - x_i}(x - x_i) + z_i = \frac{z_{i+1}}{h_i}(x - x_i) + \frac{z_i}{h_i}(x_{i+1} - x)$$

donde $h_i = x_{i+1} - x_i$. Al integrar la expresión obtenemos

$$\begin{aligned} S'_i(x) &= \int \frac{z_{i+1}}{h_i}(x - x_i) + \frac{z_i}{h_i}(x_{i+1} - x) dx \\ &= \frac{z_{i+1}}{2h_i}(x - x_i)^2 - \frac{z_i}{2h_i}(x_{i+1} - x)^2 + C1 \end{aligned}$$

integrando nuevamente

$$\begin{aligned} S_i(x) &= \int \frac{z_{i+1}}{2h_i}(x - x_i)^2 - \frac{z_i}{2h_i}(x_{i+1} - x)^2 + C1 dx \\ &= \frac{z_{i+1}}{6h_i}(x - x_i)^3 + \frac{z_i}{6h_i}(x_{i+1} - x)^3 + Cx + D \end{aligned}$$

podemos modificar las constantes de $S_i(x)$, ya que esto no afectará a $S'_i(x)$, entonces haciendo

$$\begin{aligned} C &= (C_1 - C_2) \text{ y} \\ D &= C_2 x_{i+1} - C_1 x_i \end{aligned}$$

obtenemos

$$S_i(x) = \frac{z_{i+1}}{6h_i}(x - x_i)^3 + \frac{z_i}{6h_i}(x_{i+1} - x)^3 + C_1(x - x_i) + C_2(x_{i+1} - x)$$

usando la condición 1 obtenemos que $S_i(x_i) = y_i$ y $S_i(x_{i+1}) = y_{i+1}$, con lo cual

$$y_i = \frac{z_i}{6h_i} + C_2 h_i$$

despejando C_2

$$C_2 = \frac{y_i}{h_i} - \frac{z_i}{6} h_i$$

de la misma forma

$$y_{i+1} = \frac{z_{i+1}}{6h_i} + C_1 h_i$$

despejando C_1

$$C_1 = \frac{y_{i+1}}{h_i} - \frac{z_{i+1}}{6} h_i$$

y la expresión final de $S_i(x)$ es

$$\begin{aligned} S_i(x) = \\ \frac{z_{i+1}}{6h_i}(x - x_i)^3 + \frac{z_i}{6h_i}(x_{i+1} - x)^3 + \left(\frac{y_{i+1}}{h_i} - \frac{z_{i+1}}{6} h_i \right) (x - x_i) + \left(\frac{y_i}{h_i} - \frac{z_i}{6} h_i \right) (x_{i+1} - x) \end{aligned}$$

derivando la nueva expresión $S_i(x)$

$$S'_i(x) = \frac{z_{i+1}}{2h_i}(x - x_i)^2 - \frac{z_i}{2h_i}(x_{i+1} - x)^2 + \frac{y_{i+1}}{h_i} - \frac{z_{i+1}}{6} h_i - \frac{y_i}{h_i} + \frac{z_i}{6} h_i$$

la condición 2 nos da como resultado que $S'_{i-1}(x_i) = S'_i(x_i)$ por lo tanto se obtiene la siguiente igualdad

$$-\frac{h_i}{3} z_i - \frac{h_i}{6} z_{i+1} - \frac{y_i}{h_i} + \frac{y_{i+1}}{h_i} = \frac{h_{i-1}}{3} z_i + \frac{h_{i-1}}{6} z_{i-1} - \frac{y_{i-1}}{h_{i-1}} + -\frac{y_i}{h_{i-1}}$$

reagrupando obtenemos

$$h_{i-1} z_{i-1} + 2(h_{i-1} + h_i) z_i + h_i z_{i+1} = \frac{6}{h_i} (y_{i+1} - y_i) - \frac{6}{h_{i-1}} (y_i - y_{i-1})$$

para $i = 1, 2, \dots, n-1$, con lo cual obtenemos el sistema de ecuaciones $Ax = b$

$$A = \begin{pmatrix} h_0 & 2(h_0 + h_1) & h_1 & \ddots & & & \vdots \\ 0 & h_1 & 2(h_1 + h_2) & h_2 & \ddots & & 0 \\ 0 & 0 & h_2 & 2(h_2 + h_3) & h_3 & \ddots & \vdots \\ \vdots & \ddots & \ddots & \ddots & \ddots & \ddots & \vdots \\ & & & h_{n-2} & 2(h_{n-2} + h_{n-1}) & h_{n-1} & \end{pmatrix}$$

$$x = \begin{pmatrix} z_0 \\ z_1 \\ z_2 \\ \vdots \\ z_n \end{pmatrix}$$

$$b = \begin{pmatrix} v_1 \\ v_2 \\ \vdots \\ v_{n-1} \end{pmatrix}$$

donde

$$\begin{aligned} b_i &= \frac{6}{h_i}(y_{i+1} - y_i) \\ v_i &= b_i - b_{i-1} \end{aligned}$$

para $i = 1, 2, \dots, n-1$, el sistema obtenido, no es cuadrado, para obtener un sistema cuadrado es necesario contar con condiciones de frontera para completar el sistema, dependiendo de estas condiciones, el Spline Cúbico recibirá diferentes nombres.

A.1. Spline Cúbico Natural

En este caso la condición de frontera es

$$S_0''(x_0) = S_n'' - 1(x_n) = 0$$

con lo cual

$$\begin{aligned} \frac{z_0}{h_0} h_0 &= 0 \\ \frac{z_n}{h_{n-1}} h_{n-1} &= 0 \end{aligned}$$

y podemos completar el sistema $Ax = b$ para que sea cuadrado, resolviendo el sistema para obtener los valores de los coeficientes de cada polinomio $S_i(x)$, en este caso

$$A = \begin{pmatrix} 1 & 0 & 0 & 0 & \cdots & \cdots & 0 \\ h_0 & 2(h_0 + h_1) & h_1 & \ddots & & & \vdots \\ 0 & h_1 & 2(h_1 + h_2) & h_2 & \ddots & & 0 \\ 0 & 0 & h_2 & 2(h_2 + h_3) & h_3 & \ddots & \vdots \\ \vdots & \ddots & \ddots & \ddots & \ddots & & \vdots \\ 0 & \cdots & \cdots & h_{n-2} & 2(h_{n-2} + h_{n-1}) & h_{n-1} & 0 \\ & & & 0 & 0 & 0 & 1 \end{pmatrix}$$

$$x = \begin{pmatrix} z_0 \\ z_1 \\ z_2 \\ \vdots \\ z_n \end{pmatrix}$$

$$b = \begin{pmatrix} 0 \\ v_1 \\ v_2 \\ \vdots \\ v_{n-1} \\ 0 \end{pmatrix}$$

A.2. Spline Cúbico Completo

Las condiciones de frontera para este Spline son las siguientes:

$$\begin{aligned} S'_0(x_0) &= f'(x_0) \\ S'_{n-1}(x_n) &= f'(x_n) \end{aligned}$$

con lo cual obtenemos el siguiente resultado

$$f'(x_0) = S'_0(x_0) = -\frac{z_0}{2h_0}h_0^2 + \frac{y_1}{h_0} - \frac{z_1}{6}h_0 - \frac{y_0}{h_0} + \frac{z_0}{6}h_0$$

reordenando términos

$$2h_0z_0 + h_0z_1 = \frac{6}{h_0}(y_1 - y_0) - 6f'(x_0)$$

con el mismo reordenamiento

$$\begin{aligned} f'(x_n) = S'_{n-1}(x_n) &= \frac{z_n}{2h_{n-1}}h_{n-1}^2 + \frac{y_n}{h_{n-1}} - \frac{z_n}{6}h_{n-1} - \frac{y_{n-1}}{h_{n-1}} + \frac{z_{n-1}}{6}h_{n-1} \\ h_{n-1}z_{n-1} + 2h_{n-1}z_n &= 6f'(x_n) - \frac{6}{h_{n-1}}(y_n - y_{n-1}) \end{aligned}$$

con lo anteriormente obtenido completamos el sistema

$$A = \begin{pmatrix} 2h_0 & h_0 & 0 & 0 & \cdots & \cdots & 0 \\ h_0 & 2(h_0 + h_1) & h_1 & \ddots & & & \vdots \\ 0 & h_1 & 2(h_1 + h_2) & h_2 & \ddots & & 0 \\ 0 & 0 & h_2 & 2(h_2 + h_3) & h_3 & \ddots & \vdots \\ \vdots & \ddots & \ddots & \ddots & \ddots & & \vdots \\ 0 & \dots & \dots & h_{n-2} & 2(h_{n-2} + h_{n-1}) & h_{n-1} & 0 \\ & & & 0 & 0 & h_{n-1} & 2h_{n-1} \end{pmatrix}$$

$$x = \begin{pmatrix} z_0 \\ z_1 \\ z_2 \\ \vdots \\ z_n \end{pmatrix}$$

$$b = \begin{pmatrix} \frac{6}{h_0}(y_1 - y_0) - 6f'(x_0) \\ v_1 \\ v_2 \\ \vdots \\ v_{n-1} \\ 6f'(x_n) - \frac{6}{h_{n-1}}(y_n - y_{n-1}) \end{pmatrix}$$

A.3. Spline Cúbico Not-a-Knot

Las condiciones de frontera son

$$\begin{aligned} S'''_0(x_0) &= S'''_1(x_1) \\ S'''_{n-2}(x_{n-1}) &= S'''_{n-1}(x_n) \end{aligned}$$

Calculando $S'''_i(x)$ obtenemos

$$S'''_i(x) = \frac{z_{i+1}}{h_i} - \frac{z_i}{h_i}$$

usando las condiciones de frontera

$$\begin{aligned} \frac{z_1}{h_0} - \frac{z_0}{h_0} &= \frac{z_2}{h_1} - \frac{z_1}{h_1} \\ -h_1 z_0 + (h_0 + h_1) z_1 - h_0 z_2 &= 0 \end{aligned}$$

de manera similar

$$\begin{aligned} \frac{z_{n-1}}{h_{n-2}} - \frac{z_{n-2}}{h_{n-2}} &= \frac{z_n}{h_{n-1}} - \frac{z_{n-1}}{h_{n-1}} \\ -h_{n-1} z_{n-2} + (h_{n-2} + h_{n-1}) z_{n-1} - h_{n-2} z_n &= 0 \end{aligned}$$

por lo tanto el sistema se modifica de la siguiente manera

$$A = \begin{pmatrix} -h_1 & h_0 + h_1 & -h_0 & 0 & \cdots & \cdots & 0 \\ h_0 & 2(h_0 + h_1) & h_1 & \ddots & & & \vdots \\ 0 & h_1 & 2(h_1 + h_2) & h_2 & \ddots & & 0 \\ 0 & 0 & h_2 & 2(h_2 + h_3) & h_3 & \ddots & \vdots \\ \vdots & \ddots & \ddots & \ddots & \ddots & & \vdots \\ 0 & \cdots & \cdots & h_{n-2} & 2(h_{n-2} + h_{n-1}) & h_{n-1} & 0 \\ & & & 0 & -h_{n-1} & h_{n-1} + h_{n-2} & -h_{n-2} \end{pmatrix}$$

$$x = \begin{pmatrix} z_0 \\ z_1 \\ z_2 \\ \vdots \\ z_n \end{pmatrix}$$

$$b = \begin{pmatrix} 0 \\ v_1 \\ v_2 \\ \vdots \\ v_{n-1} \\ 0 \end{pmatrix}$$

Apéndice B

Códigos

A continuación se presentan los códigos de programación de cada uno de los interpolantes mencionados en la tesis, dichos códigos fueron realizados en el software numérico Matlab en su versión 2016a.

```

1 %%%%%%%%%%%%%%
2 %
3 %Interpolación de Lagrange %
4 %
5 %%%%%%%%%%%%%%
6
7 %Parámetros de Entrada:
8
9 %x,y:Vectores que guardan los números de los pares ordenado (xi,yi)
10 % para i=0,1,2,...,n donde x0<x1<x2<...<xn.
11
12 %newx:Vector de elementos para los cuales se estimarán mediante la
13 % Interpolación
14 % Lagrange.
15
16 function[newy]=ILagrange(x,y,newx)
17 n1=length(x);%Obtenemos el número de elementos de x.
18 n2=length(newx);%Obtenemos el número de elementos de newx.
19 Lk=zeros(n1,n2);%Matriz que guarda los valores Lk.
20 prodLk=1;%Variable para realizar el producto Lk.
21 for i=(1:n2)
22     for k=(1:n1)
23         for j=(1:n1)
24             if(j~=k)
25                 prodLk=prodLk*((newx(i)-x(j))/(x(k)-x(j)));%Obtenemos cada
26                 %valor Lk.
27             end
28         end
29         Lk(k,i)=prodLk;%Guardamos el valor Lk correspondiente.
30         prodLk=1;
31     end
32     %Obtenemos los nuevos valores de newy.
33     newy=(y'*Lk)';
34 end
35
36 %Parámetros de Salida:
37
38 %newy:Nuevos puntos estimados mediante el polinomio de Lagrange.

```

```

1 %%%%%%%%%%%%%%%%
2 %
3 %Interpolación de Newton %
4 %
5 %%%%%%%%%%%%%%%%
6
7 %Parámetros de Entrada:
8
9 %x,y:Vectores que guardan los números de los pares ordenado (xi,yi)
10 % para i=0,1,2,...,n donde x0<x1<x2<...<xn.
11
12 %newx:Vector de elementos para los cuales se estimarán mediante la
13 % Interpolación
14 % Newton.
15
16 function[newy]=INewton(x,y,newx)
17 n1=length(x);%Obtenemos el número de elemnts de x.
18 n2=length(newx);%Obtenemos el número de elemnts de newx.
19 PNewton=zeros(n1-1,n2);%Matriz que guardará los valores de polinomio de
20 Newton.
21 producto=1;%Variable para realizar el producto del polinomio.
22 %Construimos el polinomio de Newton para cada newx.
23 for i=(1:n2)
24     for k=(1:n1-1)
25         producto=producto*(newx(i)-x(k));%Obtenemos el producto.
26         PNewton(k,i)=producto;%Guardamos los valores del polinomio.
27     end
28     producto=1;
29 end
30 %Obtenemos los ak (Diferencias divididas).
31 ak=DDivididasN(x,y);
32 %Reajustamos la matriz PNewton.
33 PNewton=[ones(1,n2);PNewton];
34 newy=(ak'*PNewton)';%Obtenemos los nuevos valores de y.
35 end
36
37 %Parámetros de Salida:
38
39 %newy:Nuevos puntos estimados mediante el polinomio de Lagrange.
40
41 %%%%%%%%%%%%%%%%
42 %Diferencias Divididas de Newton %
43 %
44 %%%%%%%%%%%%%%%%
45
46 %Parámetros de Entrada:
47
48 %x,y:Vectores que guardan los números de los pares ordenado (xi,yi)
49 % para i=0,1,2,...,n donde x0<x1<x2<...<xn.
50
51 function[ak]=DDivididasN(x,y)
52 n=length(x);%Obtenemos el número de elemnts de x.
53 ak=zeros(n,n);%Matriz que guarda las dierencias divididas de Newton.
54 %Obtenemos la diferencias divididas de Newton.
55 ak(:,1)=y;
56 for i=(2:n)
57     for j=(2:i)
58         ak(i,j)=(ak(i,j-1)-ak(i-1,j-1))/(x(i)-x(i-(j-1)));
59     end
60 end
61 %Obtenemos la diagonal de ak que son los valoores de los coeficientes.
62 %del interpolante de Newton.

```

```
63      ak=diag(ak);
64 end
65
66 %Parámetros de Salida:
67
68 %ak:Vector que contiene los coeficientes del Interpolante de Newton.
69
70
71
```

```

1 %%%%%%%%%%%%%%%%
2 %
3 %Interpolación de Hermite %
4 %
5 %%%%%%%%%%%%%%%%
6
7 %Parámetros de Entrada:
8
9 %x,y:Vectores que guardan los números de los pares ordenado (xi,yi)
10 % para i=0,1,2,...,n donde x0<x1<x2<...<xn.
11
12
13 %dy:Vector que guarda las derivadas en los puntos(xi,yi).
14
15 %newx:Vector de elementos para los cuales se estimarán mediante la
16 % Interpolación
17 % de Hermite.
18
19 function[newy]=IHermite(x,y,dy,newx)
20     n1=length(x);%Obtenemos el número de elemntos de x.
21     n2=length(newx);%Obtenemos el número de elemntos de newx.
22     PHermite=zeros(2*n1-1,n2);%Matriz que guardará los valores de polinomio
23     % de Hermite.
24     producto=1;%Variable para realizar el producto del polinomio.
25     %Obtenemos los coeficientes de Polinomio de Hermite.
26     Q=DDivididasH(x,y,dy);
27     %Construimos el polinomio de Hermite para cada newx.
28     for i=(1:n2)
29         for k=(1:n1-1)
30             producto=producto*(newx(i)-x(k));
31             PHermite(2*k-1,i)=producto;
32             producto=producto*(newx(i)-x(k));
33             PHermite(2*k,i)=producto;
34         end
35         producto=producto*(newx(i)-x(n1));
36         PHermite(2*n1-1,i)=producto;
37         producto=1;
38     end
39     %Reajustamos la matriz PHermite.
40     PHermite=[ones(1,n2);PHermite];
41     newy=(Q'*PHermite)';%Obtenemos los nuevos valores de y.
42
43 end
44
45 %Parámetros de Salida:
46
47 %%%%%%%%%%%%%%%%
48 %
49 %Diferencias Divididas de Hermite %
50 %
51 %%%%%%%%%%%%%%%%
52
53 %Parámetros de Entrada:
54
55 %x,y:Vectores que guardan los números de los pares ordenado (xi,yi)
56 % para i=0,1,2,...,n donde x0<x1<x2<...<xn.
57
58 %dy:Vector que guarda las derivadas en los puntos(xi,yi).
59
60 function[Q]=DDivididasH(x,y,dy)
61     n=length(x);%Obtenemos el número de elemntos de x.
62     z=zeros(2*n,1);%Vector que guarda los nuevos valores zi para.

```

```

63 Q=zeros(2*n,2*n);%Matriz que guarda las dierencias divididas de Newton.
64 %Obtenemos la diferencias divididas de Hermite.
65 for i=(1:n)
66     z(2*i-1)=x(i);
67     z(2*i)=x(i);
68     Q(2*i-1,1)=y(i);
69     Q(2*i,1)=y(i);
70     Q(2*i,2)=dy(i);
71     if(i>1)
72         Q(2*i-1,2)=(Q(2*i-1,1)-Q(2*i-2,1))/(z(2*i-1)-z(2*i-2));
73     end
74 end
75 for i=(3:2*n)
76     for j=(3:i)
77         Q(i,j)=(Q(i,j-1)-Q(i-1,j-1))/(z(i)-z(i-(j-1)));
78     end
79 end
80 %Obtenemos la diagonal de Q que son los valoores de los coeficientes
81 %del interpolante de Hermite.
82 Q=diag(Q);
83 end
84
85 %Parámetros de Salida:
86
87 %ak:Vector que contiene los coeficientes del Interpolante de Hermite.
88
89

```

```

1 %%%%%%%%%%%%%%
2 % % %
3 %Interpolación Lineal %
4 % % %
5 %%%%%%%%%%%%%%
6
7 %Parámetros de Entrada:
8
9 %x,y:Vectores que guardan los números de los pares ordenado (xi,yi)
10 % para i=0,1,2,...,n donde x0<x1<x2<...<xn.
11
12 %newx:Vector de elementos para los cuales se estimarán mediante la
13 % Interpolación
14 % Lineal.
15
16 function[newy]=ILineal(x,y,newx)
17 n1=length(x);%Obtenemos el número de elementos de x.
18 n2=length(newx);%Obtenemos el número de elementos de newx.
19 newy=zeros(n2,1);%Vector que guardará los nuevos valores de y.
20
21 %Calculamos la pendiente de la recta.
22 s=zeros(n1-1,1);
23 h=zeros(n1-1,1);
24 for i=(1:n1-1)
25     h(i)=x(i+1)-x(i);
26     s(i)=(y(i+1)-y(i))/h(i);
27 end
28 %Encontramos el nuevo punto para determinar a que recta pertenece.
29 for i=(1:n2)
30     distancia=abs(min(x)-max(x));
31     for j=(1:n1)
32         if(abs(newx(i)-x(j))<distancia)
33             distancia=abs(newx(i)-x(j));
34             indx=j;
35         end
36     end
37 %Aproximamos los nuevos puntos y.
38 if(newx(i)<x(indx))
39     indx=indx-1;
40     newy(i)=y(indx)+s(indx)*(newx(i)-x(indx));
41 elseif(newx(i)>x(indx))
42     newy(i)=y(indx)+s(indx)*(newx(i)-x(indx));
43 elseif((newx(i)-x(indx))<10^-8)
44     newy(i)=y(indx);
45 end
46 end
47 %Parámetros de Salida:
48
49 %newy:Nuevos puntos estimados mediante Interpolación Lineal.

```

```

1 %%%%%%%%%%%%%%%%
2 %
3 %Interpolación Spline Cúbico Natural %
4 %
5 %%%%%%%%%%%%%%%%
6
7 %Parámetros de Entrada:
8
9 %x,y:Vectores que guardan los números de los pares ordenado (xi,yi)
10 % para i=0,1,2,...,n donde x0<x1<x2<...<xn.
11
12 %newx:Vector de elementos para los cuales se estimarán mediante la
13 % Interpolación
14 % Lagrange
15
16 function[newy]=SCNatural(x,y,newx)
17 n1=length(x);%Obtenemos el número de elementos de x.
18 n2=length(newx);%Obtenemos el número de elementos de newx.
19 newy=zeros(n2,1);%Vector que guardará los nuevos valores de y.
20
21 %Calculamos los coeficientes de los polinomio.
22 z=zeros(n1,1);
23 h=zeros(n1-1,1);
24 b=zeros(n1-1,1);
25 u=zeros(n1-2,1);
26 v=zeros(n1-2,1);
27 for i=(1:n1-1)
28     h(i)=x(i+1)-x(i);
29     b(i)=6*(y(i+1)-y(i))/h(i);
30 end
31 u(1)=2*(h(1)+h(2));
32 v(1)=b(2)-b(1);
33 for i=(2:n1-2)
34     u(i)=2*(h(i)+h(i+1))-(h(i)^2)/u(i-1);
35     v(i)=b(i+1)-b(i)-(h(i)*v(i-1))/u(i-1);
36 end
37 z(n1)=0;
38 for i=(n1-1:-1:2)
39     z(i)=(v(i-1)-(h(i)*z(i+1)))/u(i-1);
40 end
41 z(1)=0;
42 %Encontramos el nuevo punto para determinar a que polinomio pertenece.
43 for i=(1:n2)
44     distancia=abs(min(x)-max(x));
45     for j=(1:n1)
46         if(abs(newx(i)-x(j))<distancia)
47             distancia=abs(newx(i)-x(j));
48             indx=j;
49         end
50     end
51     %Aproximamos los nuevos puntos y.
52     if(newx(i)<x(indx))
53         indx=indx-1;
54         A=(1/(6*h(indx)))*(z(indx+1)-z(indx));
55         B=z(indx)/2;
56         C=(-h(indx)/6)*(z(indx+1))-(h(indx)/3)*z(indx)+(1/h(indx))*(y(indx+1)-y(indx));
57         newy(i)=y(indx)+(newx(i)-x(indx))* (C+(newx(i)-x(indx))* (B+(newx(i)-x(indx))*A));
58     elseif(newx(i)>x(indx))
59         A=(1/(6*h(indx)))*(z(indx+1)-z(indx));
60         B=z(indx)/2;
61         C=(-h(indx)/6)*(z(indx+1))-(h(indx)/3)*z(indx)+(1/h(indx))*(y(indx+1)-y(indx));

```

```
61      newy(i)=y(indx)+(newx(i)-x(indx))*(C+(newx(i)-x(indx))*(B+(newx(i)
62          )-x(indx))*A));
63      elseif((newx(i)-x(indx))<10^-8)
64          newy(i)=y(indx);
65      end
66  end
67
68 %Parámetros de Salida:
69
70 %newy:Nuevos puntos estimados mediante Spline Natural.
71
```

```

1 %%%%%%%%%%%%%%%%
2 %
3 %Interpolación Spline Cúbico Completo%
4 %
5 %%%%%%%%%%%%%%%%
6
7 %Parámetros de Entrada:
8
9 %x,y:Vectores que guardan los números de los pares ordenado (xi,yi)
10 % para i=0,1,2,...,n donde x0<x1<x2<...<xn.
11
12 %newx:Vector de elementos para los cuales se estimarán mediante la
13 % Interpolación
14 % Spline Cúbico Completo.
15
16 function[newy]=SCCompleto(x,y,dfa,dfb,newx)
17 n1=length(x);%Obtenemos el número de elementos de x.
18 n2=length(newx);%Obtenemos el número de elementos de newx.
19 newy=zeros(n2,1);%Vector que guardará los nuevos valores de y.
20
21 %Calculamos z para encontrar los coeficientes del polinomio.
22 h=zeros(n1-1,1);
23 a=zeros(n1,1);
24 l=zeros(n1,1);
25 u=zeros(n1,1);
26 zp=zeros(n1,1);
27 z=zeros(n1,1);
28 for i=(1:n1-1)
29     h(i)=x(i+1)-x(i);
30 end
31 a(1)=(3*(y(2)-y(1)))/h(1)-3*dfa;
32 a(n1)=3*dfb-3*((a(n1)-a(n1-1))/h(n1-1));
33 for i=(2:n1-1)
34     a(i)=(3/h(i))*(y(i+1)-y(i))-(3/h(i-1))*(y(i)-y(i-1));
35 end
36 l(1)=2*h(1);
37 u(1)=0.5;
38 zp(1)=a(1)/l(1);
39 for i=(2:n1-1)
40     l(i)=2*(x(i+1)-x(i-1))-h(i-1)*u(i-1);
41     u(i)=h(i)/l(i);
42     zp(i)=(a(i)-h(i-1)*zp(i-1))/l(i);
43 end
44 l(n1)=h(n1-1)*(2-u(n1-1));
45 zp(n1)=(a(n1)-h(n1-1)*zp(n1-1))/l(n1);
46 z(n1)=zp(n1);
47 for i=(n1-1:-1:1)
48     z(i)=zp(i)-u(i)*z(i+1);
49 end
50 %Encontramos el nuevo punto para determinar a que polinomio pertenece.
51 for i=(1:n2)
52     distancia=abs(min(x)-max(x));
53     for j=(1:n1)
54         if(abs(newx(i)-x(j))<distancia)
55             distancia=abs(newx(i)-x(j));
56             indx=j;
57         end
58     end
59     %Aproximamos los nuevos puntos y.
60     if(newx(i)<x(indx))
61         indx=indx-1;
62         A=(1/(6*h(indx)))*(z(indx+1)-z(indx));
63         B=z(indx)/2;
64         C=(-h(indx)/6)*(z(indx+1)-(h(indx)/3)*z(indx)+(1/h(indx))*((y(indx)

```

```

64      +1)-y(indx));
65      newy(i)=y(indx)+(newx(i)-x(indx))* (C+(newx(i)-x(indx))* (B+(newx(i)
66      )-x(indx))*A));
67      elseif(newx(i)>x(indx))
68          A=(1/(6*h(indx)))*(z(indx+1)-z(indx));
69          B=z(indx)/2;
70          C=(-h(indx)/6)*(z(indx+1))- (h(indx)/3)*z(indx)+(1/h(indx))*(y(indx
71          +1)-y(indx));
72          newy(i)=y(indx)+(newx(i)-x(indx))* (C+(newx(i)-x(indx))* (B+(newx(i)
73          )-x(indx))*A));
74      elseif((newx(i)-x(indx))<10^-8)
75          newy(i)=y(indx);
76      end
77  end
78 %Parámetros de Salida:
79 %newy:Nuevos puntos estimados mediante Spline Completo.

```

```

1 %%%%%%%%%%%%%%%%
2 %
3 %Interpolación Spline Cúbico Knot-A-Not %
4 %
5 %%%%%%%%%%%%%%%%
6
7 %Parámetros de Entrada:
8
9 %x,y:Vectores que guardan los números de los pares ordenado (xi,yi)
10 % para i=0,1,2,...,n donde x0<x1<x2<...<xn.
11
12 %newx:Vector de elementos para los cuales se estimarán mediante la
13 % Interpolación
14 % Spline Cúbico Knot-A-Not.
15
16 function[newy]=SCNKnot(x,y,newx)
17 n1=length(x);%Obtenemos el número de elementos de x.
18 n2=length(newx);%Obtenemos el número de elementos de newx.
19 newy=zeros(n2,1);%Vector que guardará los nuevos valores de y.
20
21 %Calculamos los coeficientes de los polinomio.
22 z=zeros(n1,1);
23 h=zeros(n1-1,1);
24 b=zeros(n1,1);
25 for i=(1:n1-1)
26     h(i)=x(i+1)-x(i);
27     if(i>2)
28         b(i)=((6/h(i))* (y(i+1)-y(i)))-((6/h(i-1))* (y(i)-y(i-1)));
29     end
30 end
31 e=zeros(n1-2,1);
32 a=zeros(n1-1,1);
33 d=zeros(n1,1);
34 c=zeros(n1-1,1);
35 f=zeros(n1-2,1);
36 e(n1-2)=-h(n1-1);
37 a(n1-1)=h(n1-2)+h(n1-1);
38 d(n1)=-h(n1-2);
39 d(1)=-h(2);
40 c(1)=h(1)+h(2);
41 f(1)=-h(1);
42 for i=(2:n1-1)
43     a(i-1)=h(i-1);
44     d(i)=2*(h(i)+h(i-1));
45     c(i)=h(i);
46 end
47 b(1)=0;
48 b(n1)=0;
49 r=a(1);
50 s=a(2);
51 t=e(1);
52 for i=(2:n1-1)
53     zmult=r/d(i-1);
54     d(i)=d(i)-zmult*c(i-1);
55     c(i)=c(i)-zmult*f(i-1);
56     b(i)=b(i)-zmult*b(i-1);
57     zmult=t/d(i-1);
58     r=s-zmult*c(i-1);
59     d(i+1)=d(i+1)-zmult*f(i-1);
60     b(i+1)=b(i+1)-zmult*b(i-1);
61     if(i<n1-2)
62         s=a(i+1);
63         t=e(i);

```

```

64      end
65  end
66  zmult=r/d(n1-1);
67  d(n1)=d(n1)-zmult*c(n1-1);
68  z(n1)=(b(n1)-zmult*b(n1-1))/d(n1);
69  z(n1-1)=(b(n1-1)-c(n1-1)*z(n1))/d(n1-1);
70  for i=(n1-2:-1:1)
71      z(i)=(b(i)-f(i)*z(i+2)-c(i)*z(i+1))/d(i);
72  end
73 %Encontramos el nuevo punto para determinar a que polinomio pertenece.
74 for i=(1:n2)
75     distancia=abs(min(x)-max(x));
76     for j=(1:n1)
77         if(abs(newx(i)-x(j))<distancia)
78             distancia=abs(newx(i)-x(j));
79             indx=j;
80         end
81     end
82     %Aproximamos los nuevos puntos y.
83     if(newx(i)<x(indx))
84         indx=indx-1;
85         A=(1/(6*h(indx)))*(z(indx+1)-z(indx));
86         B=z(indx)/2;
87         C=(-h(indx)/6)*(z(indx+1))-(h(indx)/3)*z(indx)+(1/h(indx))*(y(indx
88             +1)-y(indx));
89         newy(i)=y(indx)+(newx(i)-x(indx))*(C+(newx(i)-x(indx))*(B+(newx(i
90             )-x(indx))*A));
91     elseif(newx(i)>x(indx))
92         A=(1/(6*h(indx)))*(z(indx+1)-z(indx));
93         B=z(indx)/2;
94         C=(-h(indx)/6)*(z(indx+1))-(h(indx)/3)*z(indx)+(1/h(indx))*(y(indx
95             +1)-y(indx));
96         newy(i)=y(indx)+(newx(i)-x(indx))*(C+(newx(i)-x(indx))*(B+(newx(i
97             )-x(indx))*A));
98     elseif((newx(i)-x(indx))<10^-8)
99         newy(i)=y(indx);
100    end
101 end
102 %Parámetros de Salida:
103 %newy:Nuevos puntos estimados mediante Spline Cúbico Knot-A-Not.

```

```

1 %%%%%%%%%%%%%%%%
2 %
3 %Interpolación Cúbica de Akima %
4 %
5 %%%%%%%%%%%%%%%%
6
7 %Parámetros de Entrada:
8
9 %x,y:Vectores que guardan los números de los pares ordenado (xi,yi)
10 % para i=0,1,2,...,n donde x0<x1<x2<...<xn.
11
12 %newx:Vector de elementos para los cuales se estimarán mediante la
13 % Interpolación
14 % Cúbica de Akima.
15
16 function[newy]=ICAkima(x,y,newx)
17 n1=length(x);%Obtenemos el número de elementos de x.
18 n2=length(newx);%Obtenemos el número de elementos de newx.
19 newy=zeros(n2,1);%Vector que guardará los nuevos valores de y.
20 %Vectores necesarios para calcular los coeficientes de los polinomios.
21 xadd=zeros(n1+4,1);
22 yadd=zeros(n1+4,1);
23 h=zeros(n1-1,1);
24 s=zeros(n1+3,1);
25 dy=zeros(n1,1);
26 a=zeros(n1-1,1);
27 b=zeros(n1-1,1);
28 c=zeros(n1-1,1);
29 d=zeros(n1-1,1);
30
31 %Calculamos los nuevos puntos extra necesarios.
32 xadd(n1+4)=2*x(n1)-x(n1-2);
33 xadd(n1+3)=x(n1)+x(n1-1)-x(n1-2);
34 xadd(1)=2*x(1)-x(3);
35 xadd(2)=x(1)+x(2)-x(3);
36 yadd(n1+3)=((2*(y(n1)-y(n1-1)))/(x(n1)-x(n1-1))-((y(n1-1)-y(n1-2))/(x(n1-1)-x(n1-2)))* (xadd(n1+3)-x(n1)))+y(n1);
37 yadd(n1+4)=(((2*(yadd(n1+3)-y(n1)))/(xadd(n1+3)-x(n1))-((y(n1)-y(n1-1))/(x(n1)-x(n1-1)))* (xadd(n1+4)-xadd(n1+3)))+yadd(n1+3));
38 yadd(2)=-(((2*(y(2)-y(1)))/(x(2)-x(1))-((y(3)-y(2))/(x(3)-x(2))))*(x(1)-xadd(2)))+y(1);
39 yadd(1)=-(((2*(y(1)-yadd(2)))/(x(1)-xadd(2))-((y(2)-y(1))/(x(2)-x(1))))*(xadd(2)-xadd(1)))+yadd(2);
40 for i=(1:n1-1)
41     xadd(i+2)=x(i);
42     yadd(i+2)=y(i);
43     h(i)=x(i+1)-x(i);
44 end
45 xadd(n1+2)=x(n1);
46 yadd(n1+2)=y(n1);
47
48 %Calculamos los coeficientes del polinomio.
49 for i=(1:n1+3)
50     s(i)=(yadd(i+1)-yadd(i))/(xadd(i+1)-xadd(i));
51 end
52 for i=(3:n1+2)
53     w1=abs(s(i+1)-s(i));
54     w2=abs(s(i-1)-s(i-2));
55     if(w1<=10^-8 & w2<=10^-8)
56         dy(i-2)=(s(i-1)+s(i))/2;
57     else
58         dy(i-2)=(w1*s(i-1)+w2*s(i))/(w1+w2);
59     end
60 end

```

```

60     for i=(1:n1-1)
61         a(i)=y(i);
62         b(i)=dy(i);
63         c(i)=(3*s(i+2)-dy(i+1)-2*dy(i))/(h(i));
64         d(i)=-(2*s(i+2)-dy(i+1)-dy(i))/(h(i)^2);
65     end
66 %Encontramos el nuevo punto para determinar a que polinomio pertenece.
67     for i=(1:n2)
68         distancia=abs(min(x)-max(x));
69         for j=(1:n1)
70             if(abs(newx(i)-x(j))<distancia)
71                 distancia=abs(newx(i)-x(j));
72                 indx=j;
73             end
74         end
75 %Aproximamos los nuevos puntos y.
76         if(newx(i)<x(indx))
77             indx=indx-1;
78             newy(i)=a(indx)+b(indx)*(newx(i)-x(indx))+c(indx)*(newx(i)-x(indx
79 ))^2+d(indx)*(newx(i)-x(indx))^3;
80         elseif(newx(i)>x(indx))
81             newy(i)=a(indx)+b(indx)*(newx(i)-x(indx))+c(indx)*(newx(i)-x(indx
82 ))^2+d(indx)*(newx(i)-x(indx))^3;
83         elseif((newx(i)-x(indx))<10^-8)
84             newy(i)=y(indx);
85         end
86     end
87
88 %Parámetros de Salida:
89
90 %newy:Nuevos puntos estimados mediante Interpolación de Akima.

```

```

1 %%%%%%%%%%%%%%%%
2 %
3 %Interpolación Cúbica de Restringida %
4 %
5 %%%%%%%%%%%%%%%%
6
7 %Parámetros de Entrada:
8
9 %x,y:Vectores que guardan los números de los pares ordenado (xi,yi)
10 % para i=0,1,2,...,n donde x0<x1<x2<...<xn.
11
12 %newx:Vector de elementos para los cuales se estimarán mediante la
13 % Interpolación
14 % Cúbica Restringida.
15
16 function[newy]=ICCCons(x,y,newx)
17 n1=length(x);%Obtenemos el número de elementos de x.
18 n2=length(newx);%Obtenemos el número de elementos de newx.
19 newy=zeros(n2,1);%Vector que guardará los nuevos valores de y.
20 %Vectores necesarios para calcular los coeficientes de los polinomios.
21 h=zeros(n1-1,1);
22 s=zeros(n1+3,1);
23 dy=zeros(n1,1);
24 a=zeros(n1-1,1);
25 b=zeros(n1-1,1);
26 c=zeros(n1-1,1);
27 d=zeros(n1-1,1);
28 %Calculamos los coeficientes de los polinomio.
29 for i=(1:n1-1)
30     s(i)=(y(i+1)-y(i))/(x(i+1)-x(i)) ;
31 end
32 for i=(2:n1-1)
33     if(sign(s(i-1))~=sign(s(i)))
34         dy(i)=0;
35     else
36         dy(i)=2/((1/s(i))+(1/s(i-1)));
37     end
38 end
39 dy(1)=((3/2)*s(1))-((1/2)*dy(2));
40 dy(n1)=((3/2)*s(n1-1))-((1/2)*dy(n1-1));
41 for i=(1:n1-1)
42     a(i)=y(i);
43     b(i)=dy(i);
44     c(i)=(3*s(i)-dy(i+1)-2*dy(i))/(h(i));
45     d(i)=-(2*s(i)-dy(i+1)-dy(i))/(h(i)^2);
46 end
47 %Encontramos el nuevo punto para determinar a que polinomio pertenece.
48 for i=(1:n2)
49     distancia=abs(min(x)-max(x));
50     for j=(1:n1)
51         if(abs(newx(i)-x(j))<distancia)
52             distancia=abs(newx(i)-x(j));
53             indx=j;
54         end
55     end
56     %Aproximamos los nuevos puntos y.
57     if(newx(i)<x(indx))
58         indx=indx-1;
59         newy(i)=a(indx)+b(indx)*(newx(i)-x(indx))+c(indx)*(newx(i)-x(indx))^2+d(indx)*(newx(i)-x(indx))^3;
60     elseif(newx(i)>x(indx))
61         newy(i)=a(indx)+b(indx)*(newx(i)-x(indx))+c(indx)*(newx(i)-x(indx))^2+d(indx)*(newx(i)-x(indx))^3;

```

```
62      elseif((newx(i)-x(idx))<10^-8)
63          newy(i)=y(idx);
64      end
65  end
66
67 %Parámetros de Salida:
68
69
70 %newy:Nuevos puntos estimados mediante Interpolación Restringida.
```

```

1 %%%%%%%%%%%%%%%%
2 %
3 %Interpolación Cúbica Monótona %
4 %
5 %%%%%%%%%%%%%%%%
6
7 %Parámetros de Entrada:
8
9 %x,y:Vectores que guardan los números de los pares ordenado (xi,yi)
10 % para i=0,1,2,...,n donde x0<x1<x2<...<xn.
11
12 %newx:Vector de elementos para los cuales se estimarán mediante la
13 % Interpolación
14 % Cúbica Monótona.
15
16 function[newy]=MPIH(x,y,newx)
17 n1=length(x);%Obtenemos el número de elementos de x.
18 n2=length(newx);%Obtenemos el número de elementos de newx.
19 newy=zeros(n2,1);%Vector que guardará los nuevos valores de y.
20 %Vectores necesarios para calcular los coeficientes de los polinomios.
21 h=zeros(n1-1,1);
22 s=zeros(n1+3,1);
23 dy=zeros(n1,1);
24 a=zeros(n1-1,1);
25 b=zeros(n1-1,1);
26 c=zeros(n1-1,1);
27 d=zeros(n1-1,1);
28
29 %Calculamos los coeficientes del polinomio.
30 for i=(1:n1-1)
31     s(i)=(y(i+1)-y(i))/(x(i+1)-x(i));
32     h(i)=x(i+1)-x(i);
33 end
34 for i=(2:n1-1)
35     if ((s(i-1)*s(i))<=0)
36         dy(i)=0;
37     else
38         w1=((h(i-1)+2*h(i))/(3*(h(i)+h(i-1))))*(1/s(i-1));
39         w2=((2*h(i-1)+h(i))/(3*(h(i)+h(i-1))))*(1/s(i));
40         dy(i)=1/(w1+w2);
41     end
42 g1=((2*h(1)+h(2))/(h(1)+h(2)))*s(1)-((h(1)/(h(1)+h(2)))*s(2));
43 gn1=((2*h(n1-1)+h(n1-2))/(h(n1-1)+h(n1-2)))*s(n1-1)-((h(n1-1)/(h(n1-1)+h(n1-2)))*s(n1-2));
44 if(g1*s(1)<=0)
45     dy(1)=0;
46 elseif(s(1)*s(2)<=0 && abs(g1)>3*abs(s(1)))
47     dy(1)=3*s(1);
48 else
49     dy(1)=g1;
50 end
51 if(gn1*s(n1-1)<=0)
52     dy(n1)=0;
53 elseif(s(n1-1)*s(n1-2)<=0 && abs(gn1)>3*abs(s(n1-1)))
54     dy(n1)=3*s(n1-1);
55 else
56     dy(n1)=gn1;
57 end
58 for i=(1:n1-1)
59     a(i)=y(i);
60     b(i)=dy(i);
61     c(i)=(3*s(i)-dy(i+1)-2*dy(i))/(h(i));
62     d(i)=-(2*s(i)-dy(i+1)-dy(i))/(h(i)^2);

```

```

63
64    %Encontramos el nuevo punto para determinar a que polinomio pertenece.
65    for i=(1:n2)
66        distancia=abs(min(x)-max(x));
67        for j=(1:n1)
68            if(abs(newx(i)-x(j))<distancia)
69                distancia=abs(newx(i)-x(j));
70                indx=j;
71            end
72        end
73        %Aproximamos los nuevos puntos y.
74        if(newx(i)<x(indx))
75            indx=indx-1;
76            newy(i)=a(indx)+b(indx)*(newx(i)-x(indx))+c(indx)*(newx(i)-x(indx)
77            ))^2+d(indx)*(newx(i)-x(indx))^3;
78        elseif(newx(i)>x(indx))
79            newy(i)=a(indx)+b(indx)*(newx(i)-x(indx))+c(indx)*(newx(i)-x(indx)
80            ))^2+d(indx)*(newx(i)-x(indx))^3;
81        elseif((newx(i)-x(indx))<10^-8)
82            newy(i)=y(indx);
83        end
84    end
85    %Parámetros de Salida:
86    %newy:Nuevos puntos estimados mediante Interpolación Cúbica Monótona.

```

```

1 %%%%%%%%%%%%%%%%
2 %
3 %Función que encuentra los puntos cercanos %
4 %
5 %%%%%%%%%%%%%%%%
6
7
8 %Parámetros de Entrada:
9
10 %xd,yd:Vectores que guardan los números de (xi,yi).
11
12 %ncp: Número de puntos cercanos requeridos (mínimo 3).
13
14 function[ipc]=idcldp (xd, yd, ncp)
15
16 %Función para calcular distancias.
17
18 function[dis]= dsqf(x1,y1,x2,y2)
19     dis=(x2-x1)^2+(y2-y1)^2;
20 end
21
22 %Proceso preeliminar.
23
24 ndp=length(xd);
25 ipc=zeros(ndp*ncp,1);
26 dis0=zeros(ndp,1);
27 iip0=0;
28
29 %Obtenemos los puntos cercanos.
30
31 for i=(1:ndp)
32     if(i<ndp)
33         for j=(i+1:ndp)
34             dis0(j)= dsqf(xd(i),yd(i),xd(j),yd(j));
35         end
36     end
37     if(i>1)
38         for j=(1:i-1)
39             dis0(j)= dsqf(xd(i),yd(i),xd(j),yd(j));
30         end
41     end
42     maxim=max(dis0)+1;
43     dis0(i)=maxim;
44     for j=(1:ncp)
45         iip0=iip0+1;
46         [~,ipc0]=min(dis0);
47         ipc(iip0)=ipc0;
48         dis0(ipc0)=maxim;
49     end
50     dis0=zeros(ndp,1);
51 end
52
53 %Parámetros de Salida:
54
55 %ipc: Índice de los puintos cercanos.

```

```

1 %%%%%%%%%%%%%%%%
2 %
3 %Función que aproxima las derivadas parciales %
4 %
5 %%%%%%%%%%%%%%%%
6
7 %Parámetros de Entrada:
8
9 %xd,yd,zd:Vectores que guardan los números de (xi,yi,zi).
10
11 %ncp: Número de puntos cercanos requeridos (mínimo 3).
12
13 %ipc: Índice de puntos cercanos.
14
15 function[pd]=idpdrv(xd,yd,zd,ncp,ipc)
16
17 %Proceso preeliminar.
18
19 ndp=length(xd);
20 pd=zeros(5*ndp,1);
21 ndp0=ndp;
22 ncp0=ncp;
23 ncpml=ncp0-1;
24
25 %Estimamos las derivadas parciales ZX y ZY.
26
27 for ip0=(1:ndp0)
28     x0 = xd(ip0);
29     y0 = yd(ip0);
30     z0 = zd(ip0);
31     nmx = 0;
32     nmy = 0;
33     nmz = 0;
34     jipc0 = ncp0*(ip0-1);
35     for icl=(1:ncpml)
36         jipc = jipc0+ic1;
37         ipi = ipc(jipc);
38         dx1 = xd(ipi)-x0;
39         dy1 = yd(ipi)-y0;
40         dz1 = zd(ipi)-z0;
41         ic2mn = ic1+1;
42         for ic2=(ic2mn:ncp0)
43             jipc = jipc0+ic2;
44             ipi = ipc(jipc);
45             dx2 = xd(ipi)-x0;
46             dy2 = yd(ipi)-y0;
47             dnmx = dx1*dy2-dy1*dx2;
48             if (dnmx== 0)
49                 continue;
50             end
51             dz2 = zd(ipi)-z0;
52             dnmx = dy1*dz2-dz1*dy2;
53             dnmy = dz1*dx2-dx1*dz2;
54             if (dnmx < 0)
55                 dnmx = -dnmx;
56                 dnmy = -dnmy;
57                 dnmx = -dnmx;
58             end
59             nmx = nmx+dnmx;
60             nmy = nmy+dnmy;
61             nmz = nmz+dnmx;
62         end
63     end
64     jpd0 = 5*ip0;

```

```

65      pd(jpd0-4) = -nmxx/nmz;
66      pd(jpd0-3) = -nmxy/nmz;
67  end
68
69 %Estimamos las derivadas parciales ZXX, ZXY, y ZYY.
70
71 for ip0 =(1:ndp0)
72     x0 = xd(ip0);
73     jpd0 = 5*ip0;
74     y0 = yd(ip0);
75     zx0 = pd(jpd0-4);
76     zy0 = pd(jpd0-3);
77     nmxx = 0;
78     nmxy = 0;
79     nmyx = 0;
80     nmyy = 0;
81     nmz = 0;
82     jipc0 = ncp0*(ip0-1);
83     for ic1 =(1:ncpm1)
84         jipc = jipc0+ic1;
85         ipi = ipc(jipc);
86         dx1 = xd(ipi)-x0;
87         dy1 = yd(ipi)-y0;
88         jpd = 5*ipi;
89         dzx1 = pd(jpd-4)-zx0;
90         dzy1 = pd(jpd-3)-zy0;
91         ic2mn = ic1+1;
92         for ic2 =(ic2mn:ncp0)
93             jipc = jipc0+ic2;
94             ipi = ipc(jipc);
95             dx2 = xd(ipi)-x0;
96             dy2 = yd(ipi)-y0;
97             dnmx = dx1*dy2 - dy1*dx2;
98             if ( dnmx == 0 )
99                 continue;
100            end
101            jpd = 5 * ipi;
102            dzx2 = pd(jpd-4) - zx0;
103            dzy2 = pd(jpd-3) - zy0;
104            dnmxz = dy1 * dzx2 - dzx1 * dy2;
105            dnmxz = dzx1 * dx2 - dx1 * dzx2;
106            dnmyx = dy1 * dzy2 - dzy1 * dy2;
107            dnmyy = dzy1 * dx2 - dx1 * dzy2;
108            if ( dnmyz < 0 )
109                dnmxz = -dnmxz;
110                dnmxz = -dnmxz;
111                dnmyx = -dnmyx;
112                dnmyy = -dnmyy;
113                dnmyz = -dnmyz;
114            end
115            nmxx = nmxx+dnmxz;
116            nmxy = nmxy+dnmxz;
117            nmyx = nmyx+dnmyx;
118            nmuy = nmuy+dnmyy;
119            nmz = nmz +dnmyz;
120        end
121    end
122    pd(jpd0-2) = - nmxx / nmz;
123    pd(jpd0-1) = - ( nmxy + nmyx ) / ( 2 * nmz );
124    pd(jpd0) = - nmuy / nmz;
125 end
126 end
127
128 %Parámetros de Salida:

```

129
130 %pd: Aproximación a las derivadas parciales ZX, ZY, ZXX, ZXY, ZYY .
131

```

1 %%%%%%%%%%%%%%%%
2 %
3 % Función que crea una malla triangular %
4 %
5 %%%%%%%%%%%%%%%%
6
7
8 %Parámetros de Entrada:
9
10 %xd,yd:Vectores que guardan los números de (xi,yi).
11
12 function[nt, ipt, nl, ipl, iwl, iwp, wk]=idtang(xd,yd)
13
14 %Funciones para cálculos de la malla.
15
16 function[d]=dsqf(u1,v1,u2,v2)
17 d=(u2-u1)^2+(v2-v1)^2;
18 end
19 function[lado]=side(u1,v1,u2,v2,u3,v3)
20 lado=(v3-v1)*(u2-u1)-(u3-u1)*(v2-v1);
21 end
22
23 %Proceso preliminar.
24
25 ratio=10^(-6);
26 nrep = 100;
27 itf=zeros(2,1);
28 ndp=length(xd);
29 ipt=zeros(6*ndp-15,1);
30 ipl=zeros(6*ndp,1);
31 iwl=zeros(18*ndp,1);
32 iwp=zeros(ndp,1);
33 wk=zeros(ndp,1);
34 ndp0=ndp;
35 ndpml=ndp0-1;
36
37 %Determinamos el par de puntos más cercanos y el punto medio.
38
39 dsqmn = dsqf(xd(1),yd(1),xd(2),yd(2));
40 ipmn1 = 1;
41 ipmn2 = 2;
42 for ipl=(1:ndpml)
43 x1 = xd(ip1);
44 y1 = yd(ip1);
45 ip1pl = ip1+1;
46 for ip2=(ip1pl:ndp0)
47 dsqi = dsqf(x1,y1,xd(ip2),yd(ip2));
48 if ( dsqi < dsqmn )
49 dsqmn = dsqi;
50 ipmn1 = ip1;
51 ipmn2 = ip2;
52 end
53 end
54 end
55 dsq12 = dsqmn;
56 xdmp = (xd(ipmn1)+xd(ipmn2))/2;
57 ydmp = (yd(ipmn1)+yd(ipmn2))/2;
58
59 %Ordenamos los ndp-2 puntos restantes de forma ascendente con
60 %respecto a la distancia del punto medio
61 %calculado anteriormente.
62
63 jpl = 2;
64 for ip1 = (1:ndp0)

```

```

65      if ( ip1 ~= ipmn1 && ip1 ~= ipmn2 )
66          jp1 = jp1+1;
67          iwp(jp1) = ip1;
68          wk(jp1) = dsqf(xdmp,ydmp,xd(ip1),yd(ip1));
69      end
70  end
71 for jp1 = (3:ndpml)
72     dsqmn = wk(jp1);
73     jpmn = jp1;
74     for jp2 = (jp1:ndp0)
75         if ( wk(jp2) < dsqmn )
76             dsqmn = wk(jp2);
77             jpmn = jp2;
78         end
79     end
80     its = iwp(jp1);
81     iwp(jp1) = iwp(jpmn);
82     iwp(jpmn) = its;
83     wk(jpmn) = wk(jp1);
84 end
85
86 %Modificamos los puntos de tal manera que los primeros tres puntos
87 %no sean colineales.
88
89 ar = dsq12*ratio;
90 x1 = xd(ipmn1);
91 y1 = yd(ipmn1);
92 dx21 = xd(ipmn2)-x1;
93 dy21 = yd(ipmn2)-y1;
94 for jp=(1:ndp0)
95     ip = iwp(jp);
96     if(abs((yd(ip)-y1)*dx21-(xd(ip)-x1)*dy21)>ar)
97         break;
98     end
99 end
100
101 if ( jp ~= 3 )
102     jpmx = jp;
103     jp = jpmx+1;
104     for jpc =(4:jpmx)
105         jp = jp-1;
106         iwp(jp) = iwp(jp-1);
107     end
108     iwp(3) = ip;
109 end
110
111 %Para el primer triangulo guardamos
112 %en número de vértices en ipt y los
113 %bordes en ipl.
114
115 ip1 = ipmn1;
116 ip2 = ipmn2;
117 ip3 = iwp(3);
118 if(side(xd(ip1),yd(ip1),xd(ip2),yd(ip2),xd(ip3),yd(ip3))<0)
119     ip1 = ipmn2;
120     ip2 = ipmn1;
121 end
122
123 nt0 = 1;
124 ntt3 = 3;
125 ipt(1) = ip1;
126 ipt(2) = ip2;
127 ipt(3) = ip3;
128 nl0 = 3;

```

```

129      nlt3 = 9;
130      ipl(1) = floor(ip1);
131      ipl(2) = floor(ip2);
132      ipl(3) = floor(l);
133      ipl(4) = floor(ip2);
134      ipl(5) = floor(ip3);
135      ipl(6) = floor(l);
136      ipl(7) = floor(ip3);
137      ipl(8) = floor(ip1);
138      ipl(9) = 1;
139
140      %Seguimos el proceso con los ndp-3
141      %puntos restantes.
142
143      for jp1=(4:ndp0)
144          ip1 = iwp(jp1);
145          x1 = xd(ip1);
146          y1 = yd(ip1);
147
148          %Determinamos los bordes de los
149          %segmentos de linea.
150
151          ip2 = ipl(1);
152          jpmn = 1;
153          dxmn = xd(ip2)-x1;
154          dy mn = yd(ip2)-y1;
155          dsqmn = dxmn^2+dy mn^2;
156          armn = dsqmn*ratio;
157          jpmx = 1;
158          dxmx = dxmn;
159          dy mx = dy mn;
160          dsqmx = dsqmn;
161          armx = armn;
162          for jp2=(2:n10)
163              ip2 = ipl(3+jp2-2);
164              dx = xd(ip2)-x1;
165              dy = yd(ip2)-y1;
166              ar = dy*dxmn-dx*dy mn;
167              if(ar<=armn)
168                  dsqi = dx^2+dy^2;
169                  if(~(ar>=(-armn) && dsqi>=dsqmn))
170                      jpmn = jp2;
171                      dxmn = dx;
172                      dy mn = dy;
173                      dsqmn = dsqi;
174                      armn = dsqmn*ratio;
175                  end
176              end
177
178              ar = dy*dxmx-dx*dy mx;
179              if(ar>=(-armx))
180                  dsqi = dx^2+dy^2;
181                  if(~(ar<=armx && dsqi>=dsqmx))
182                      jpmx = jp2;
183                      dxmx = dx;
184                      dy mx = dy;
185                      dsqmx = dsqi;
186                      armx = dsqmx*ratio;
187                  end
188              end
189
190          end
191          if(jpmx<jpmn)
192              jpmx = jpmx+n10;

```

```

193
194     end
195     nsh = jpmn-1;
196
197     %Seguimos obteniendo los nuevos bordes para guardar en
198     %ipl.
199
200     if(nsh>0)
201         nsht3 = nsh*3;
202         for jp2t3 = (3:3:nsht3)
203             jp3t3 = jp2t3+nlt3;
204             ipl(jp3t3-2) = ipl(jp2t3-2);
205             ipl(jp3t3-1) = ipl(jp2t3-1);
206             ipl(jp3t3) = ipl(jp2t3);
207         end
208         for jp2t3 = (3:3:nlt3)
209             jp3t3 = jp2t3+nsht3;
210             ipl(jp2t3-2) = ipl(jp3t3-2);
211             ipl(jp2t3-1) = ipl(jp3t3-1);
212             ipl(jp2t3) = ipl(jp3t3);
213         end
214         jpmx = jpmx-nsh;
215     end
216
217     %Seguimos creando más triangulos
218     %y actualizamos los bordes de
219     %cada triangulo usando ipt,ipl,iwl.
220
221     jwl=0;
222     for jp2 = (jpmx:n10)
223         jp2t3 = jp2*3;
224         ipl1 = ipl(jp2t3-2);
225         ipl2 = ipl(jp2t3-1);
226         it = ipl(jp2t3);
227
228         %Tomamos los triangulos de ipt.
229
230         nt0 = nt0+1;
231         ntt3 = ntt3+3;
232         ipt(ntt3-2) = ipl2;
233         ipt(ntt3-1) = ipl1;
234         ipt(ntt3) = ip1;
235
236         %Actualizamos los bordes.
237
238         if(jp2==jpmx)
239             ipl(jp2t3-1) = ip1;
240             ipl(jp2t3)= nt0;
241         end
242         %61
243         if(jp2==n10)
244             nln = jpmx+1;
245             nlnt3 = nln*3;
246             ipl(nlnt3-2) = ip1;
247             ipl(nlnt3-1) = ipl(1);
248             ipl(nlnt3) = nt0;
249         end
250
251         %Determinamos los vértices que
252         %no están sobre el borde.
253
254         itt3 = it*3;
255         ipti = ipt(itt3-2);
256         if(~(ipti==ipl1 && ipti==ipl2))
257             ipti = ipt(itt3-1);

```

```

257         if(~(ipti~=ipl1&&ipti~=ipl2))
258             ipti = ipt(itt3);
259         end
260     end
261
262     %Revisamos el intercambio si es necesario.
263
264     if(idxchg(xd,yd,ipti,ipl1,ipl2)~=0)
265
266         %Modificamos ipt cuando sea necesario.
267         ipt(itt3-2) = ipti;
268         ipt(itt3-1) = ipl1;
269         ipt(itt3) = ipl;
270         ipt(ntt3-1) = ipti;
271         if(jp2==jpmx)
272             ipl(jp2t3) = it;
273         end
274         if(jp2==nl0&&ipl(3)==it)
275             ipl(3) = nt0;
276         end
277
278         %Usamos iwl.
279
280         jwl = jwl+4;
281         iwl(jwl-3) = ipl1;
282         iwl(jwl-2) = ipti;
283         iwl(jwl-1) = ipti;
284         iwl(jwl) = ipl2;
285     end
286
287     end
288     nl0 = nln;
289     nlt3 = nlt3;
290     nlf = jwl/2;
291
292     %Continua la triangulación.
293
294     if(nlf~=0)
295
296         ntt3p3 = ntt3+3;
297         for irep = (1:nrep)
298             for ilf = (1:nlf)
299                 ilft2 = ilf*2;
300                 ipl1 = iwl(ilft2-1);
301                 ipl2 = iwl(ilft2);
302
303                 %Buscamos en ipt dos lados que que coincidan.
304
305                 ntf=0;
306                 for itt3r =(3:3:ntt3)
307                     itt3 = ntt3p3-itt3r;
308                     ipt1 = ipt(itt3-2);
309                     ipt2 = ipt(itt3-1);
310                     ipt3 = ipt(itt3);
311                     if(~(ipl1~=ipt1&&ipl1~=ipt2&&ipl1~=ipt3))
312                         if(~(ipl2~=ipt1&&ipl2~=ipt2 &&ipl2~=ipt3))
313                             ntf = ntf+1;
314                             itf(ntf) = itt3/3;
315                             if(ntf==2)
316                                 break;
317                             end
318                         end
319                     end
320

```

```

321      end
322
323      %Determinamos los vértices del triangulo.
324
325      if(ntf>=2)
326
327          itlt3 = itf(1)*3;
328          iptil = ipt(itlt3-2);
329          if(~(iptil~=ipl1&&iptil~=ipl2))
330              iptil = ipt(itlt3-1);
331              if(~(iptil~=ipl1&&iptil~=ipl2))
332                  iptil = ipt(itlt3);
333              end
334      end
335
336      it2t3 = itf(2)*3;
337      ipti2 = ipt(it2t3-2);
338      if(~(ipti2~=ipl1&&ipti2~=ipl2))
339          ipti2 = ipt(it2t3-1);
340          if(~(ipti2~=ipl1&&ipti2~=ipl2))
341              ipti2 = ipt(it2t3);
342          end
343      end
344
345      %Revisamos nuevamente.
346
347      if(~(idxchg(xd,yd,iptil,ipti2,ipl1,ipl2)==0))
348
349          %Modificamos ipt si es necesario.
350
351          ipt(itlt3-2) = iptil;
352          ipt(itlt3-1) = ipti2;
353          ipt(itlt3)   = ipl1;
354          ipt(it2t3-2) = ipti2;
355          ipt(it2t3-1) = iptil;
356          ipt(it2t3)   = ipl2;
357
358          %Creamos nuevos marcadores.
359
360          jwl = jwl+8;
361          iwl(jwl-7) = ipl1;
362          iwl(jwl-6) = iptil;
363          iwl(jwl-5) = iptil;
364          iwl(jwl-4) = ipl2;
365          iwl(jwl-3) = ipl2;
366          iwl(jwl-2) = ipti2;
367          iwl(jwl-1) = ipti2;
368          iwl(jwl)   = ipl1;
369          for jlt3 = (3:3:nlt3)
370              iplj1 = ipl(jlt3-2);
371              iplj2 = ipl(jlt3-1);
372              if((iplj1==ipl1&&iplj2==ipti2)|| (iplj2==ipl1&&
373                  iplj1==ipti2))
374                  ipl(jlt3) = itf(1);
375              end
376              if((iplj1==ipl2&&iplj2==ipti1)|| (iplj2==ipl2&&
377                  iplj1==ipti1))
378                  ipl(jlt3) = itf(2);
379              end
380          end
381      end
382  end

```

```

383
384
385     end
386     nlfc = nlf;
387     nlf = jwl/2;
388     if(nlf~=nlfc)
389
390         %Reiniciamos iwl.
391
392     jwl = 0;
393     jwllmn = (nlfc+1)*2;
394     nlft2 = nlf*2;
395     for jwl1 =( jwllmn:2:nlft2)
396         jwl = jwl+2;
397         iwl(jwl-1) = iwl(jwl-1);
398         iwl(jwl) = iwl(jwl1);
399     end
400     nlf = jwl/2;
401     else
402         break;
403     end
404
405 end
406
407 end
408
409
410
411
412 end
413
414 for itt3 = (3:3:ntt3)
415     ip1 = ipt(itt3-2);
416     ip2 = ipt(itt3-1);
417     ip3 = ipt(itt3);
418     if(side(xd(ip1),yd(ip1),xd(ip2),yd(ip2),xd(ip3),yd(ip3))<0)
419         ipt(itt3-2) = ip2;
420         ipt(itt3-1) = ip1;
421     end
422 end
423 nt = nt0;
424 nl = n10;
425 end
426
427 %Parámetros de Salida:
428
429 %nt:Número de triángulos.
430
431 %ipt: Índice de los vértices de los triángulos.
432
433 %nl: Número de lineas que conforman en borde de la triangular.
434
435 %ipl: Índice de los puntos que conforman las nl
436
437 %iwl,iwp,iwk: Vectores que guardan información de la malla.
438
439 %%%%%%%%%%%%%%
440 %
441 % Función para el intercambio de triángulos %
442 %
443 %%%%%%%%%%%%%%
444
445 %Parámetros de Entrada:
446

```

```

447 %x,y:Coordenadas (xi,yi).
448
449 %i1,i2,i3,i4: Índices de los puntos del cuadrilátero y la diagonal.
450
451 function[idx]=idxchg( x, y, i1, i2, i3, i4 )
452
453 %Proceso preliminar.
454
455 x1 = x(i1);
456 y1 = y(i1);
457 x2 = x(i2);
458 y2 = y(i2);
459 x3 = x(i3);
460 y3 = y(i3);
461 x4 = x(i4);
462 y4 = y(i4);
463
464 %Cálculos.
465
466 idx = 0;
467 u3 = ( y2 - y3 ) * ( x1 - x3 ) - ( x2 - x3 ) * ( y1 - y3 );
468 u4 = ( y1 - y4 ) * ( x2 - x4 ) - ( x1 - x4 ) * ( y2 - y4 );
469 if ( 0 < u3 * u4 )
470
471 u1 = (y3-y1)*(x4-x1)-(x3-x1)*(y4-y1);
472 u2 = (y4-y2)*(x3-x2)-(x4-x2)*(y3-y2);
473
474 alsq = (x1-x3)^2+(y1-y3)^2;
475 b3sq = alsq;
476 b1sq = (x4-x1)^2+(y4-y1)^2;
477 a4sq = b1sq;
478 c1sq = (x3-x4)^2+(y3-y4)^2;
479 c2sq = c1sq;
480 a2sq = (x2-x4)^2+(y2-y4)^2;
481 b4sq = a2sq;
482 b2sq = (x3-x2)^2+(y3-y2)^2;
483 a3sq = b2sq;
484 c3sq = (x2-x1)^2+(y2-y1)^2;
485 c4sq = c3sq;
486
487 s1sq = u1 * u1 / ( c1sq * max ( alsq, b1sq ) );
488 s2sq = u2 * u2 / ( c2sq * max ( a2sq, b2sq ) );
489 s3sq = u3 * u3 / ( c3sq * max ( a3sq, b3sq ) );
490 s4sq = u4 * u4 / ( c4sq * max ( a4sq, b4sq ) );
491
492 if ( min ( s1sq, s2sq ) < min ( s3sq, s4sq ) )
493     idx = 1;
494 end
495
496 end
497
498 end
499
500 %Parámetros de Salida:
501
502 %idx: Indicador del intercambio de triángulos.
503

```

```

1 %%%%%%%%%%%%%%
2 %
3 %Encuentra el punto en el triángulo %
4 %
5 %%%%%%%%%%%%%%
6
7 %Parámetros de entrada:
8
9 %nt:Número de triángulos.
10
11 %ipt: Índice de los vértices de los triángulos.
12
13 %nl: Número de lineas que conforman en borde de la triangular.
14
15 %ipl: Índice de los puntos que conforman las nl.
16
17 %xii,yii: Punto (xi,yi) que se ubicará dentro del triágulo correspondiente.
18
19 %iwp,iwk: Vectores que guardan información de la malla.
20
21 function [iti,iwk, wk] =idlctn(xd, yd, nt, ipt, nl, ipl, xii, yii,iwk,wk)
22
23 %Variables globales
24
25 global idlc
26 global nit
27
28 global i1
29 global i2
30 global i3
31 global idp
32 global ill
33 global illt3
34 global il2
35 global ipl
36 global ip2
37 global ip3
38 global isc
39 global it0
40 global it0t3
41 global itipv
42 global itsc
43 global jiwk
44 global jwk
45 global ndp0
46 global n10
47 global nt0
48 global ntl
49 global ntsci
50 global x0
51 global x1
52 global x2
53 global x3
54 global xi
55 global xm
56 global xmx
57 global xs1
58 global xs2
59 global y0
60 global y1
61 global y2
62 global y3
63 global yi
64 global ymn

```

```

65      global ymx
66      global ysl
67      global ys2
68      global ntsc
69      global idsc
70      ndp=length(xd);
71
72      %Vectores necesarios para los cálculos.
73
74      iwk=wk(1:18*ndp,1);
75      wk=wk(1:8*ndp,1);
76
77      %Funciones para el cálculo.
78
79      function[lado]=side(u1,v1,u2,v2,u3,v3)
80          lado=(u1-u3)*(v2-v3) - (v1-v3)*(u2-u3);
81      end
82      function[resultado]=spdt(u1,v1,u2,v2,u3,v3)
83          resultado=(u1-u2)*(u3-u2) + (v1-v2)*(v3-v2);
84      end
85
86      %Proceso preeliminar.
87
88      ndp0 = ndp;
89      nt0 = nt;
90      nl0 = nl;
91      ntl = nt0 + nl0;
92      x0 = xii;
93      y0 = yii;
94
95      %Comenzamos con la ubicación dentro de la malla triangular.
96
97      if( nit==0)
98          nit = 1;
99          xmnn = xd(1);
100         xmxx = xmnn;
101         ymn = yd(1);
102         ymx = ymn;
103
104         for idp = (2:ndp0)
105             xi = xd(idp);
106             yi = yd(idp);
107             xmnn = min (xi,xmnn);
108             xmxx = max (xi,xmxx);
109             ymn = min (yi,ymn);
110             ymx = max (yi,ymx);
111         end
112         xs1 = ( xmnn + xmnn + xmxx ) / 3;
113         xs2 = ( xmnn + xmxx + xmxx ) / 3;
114         ysl = ( ymn + ymn + ymx ) / 3;
115         ys2 = ( ymn + ymx + ymx ) / 3;
116
117         ntsc(1:9) = 0;
118         idsc(1:9) = 0;
119         it0t3 = 0;
120         jwk = 0;
121
122         for it0 = (1:nt0)
123             it0t3 = it0t3 + 3;
124             i1 = ipt(it0t3-2);
125             i2 = ipt(it0t3-1);
126             i3 = ipt(it0t3);
127             xmnn = min ([xd(i1),xd(i2),xd(i3)]);
128             xmxx = max ([xd(i1),xd(i2),xd(i3)]);

```

```

129      ymn = min ([yd(i1),yd(i2),yd(i3)]);
130      ymx = max ([yd(i1),yd(i2),yd(i3)]);
131      if (~(ymn>ys1))
132          if (xmn<=xs1)
133              idsc(1) = 1;
134          end
135          if (xmx>=xs1 && xmn<=xs2)
136              idsc(2) = 1;
137          end
138          if (xmx>=xs2)
139              idsc(3) = 1;
140          end
141
142          if (~(ymx<ys1 || ymn>ys2))
143              if (xmn<=xs1)
144                  idsc(4) = 1;
145              end
146              if (xmx>=xs1 && xmn<=xs2)
147                  idsc(5) = 1;
148              end
149              if (xmx>=xs2)
150                  idsc(6) = 1;
151              end
152
153              if (~(ymx<ys2))
154                  if (xmn<=xs1)
155                      idsc(7) = 1;
156                  end
157                  if (xmx>=xs1 && xmn<=xs2)
158                      idsc(8) = 1;
159                  end
160                  if (xmx>=xs2)
161                      idsc(9) = 1;
162                  end
163
164          end
165      else
166
167          if (~(ymx<ys2))
168              if (xmn<=xs1)
169                  idsc(7) = 1;
170              end
171              if (xmx>=xs1 && xmn<=xs2)
172                  idsc(8) = 1;
173              end
174              if (xmx>=xs2)
175                  idsc(9) = 1;
176              end
177          end
178      end
179  else
180
181      if (~(ymx<ys1 || ymn>ys2))
182          if (xmn<=xs1)
183              idsc(4) = 1;
184          end
185          if (xmx>=xs1 && xmn<=xs2)
186              idsc(5) = 1;
187          end
188          if (xmx>=xs2)
189              idsc(6) = 1;
190          end
191
192      if (~(ymx<ys2))

```

```

193             if (xmn<=xs1)
194                 idsc(7) = 1;
195             end
196             if (xmx>=xs1 && xmn<=xs2)
197                 idsc(8) = 1;
198             end
199             if (xmx>=xs2)
200                 idsc(9) = 1;
201             end
202         end
203     end
204 else
205
206     if (~(ymx<ys2))
207         if (xmn<=xs1)
208             idsc(7) = 1;
209         end
210         if (xmx>=xs1 && xmn<=xs2)
211             idsc(8) = 1;
212         end
213         if (xmx>=xs2)
214             idsc(9) = 1;
215         end
216     end
217 end
218
219 end
220
221 %Guardamos le información de la malla trangular.
222
223 for isc =(1:9)
224     if ( idsc(isc) ~= 0 )
225         jiwk = 9*ntsc(isc) + isc;
226         iwk(jiwk) = it0;
227         ntsc(isc) = ntsc(isc) + 1;
228         idsc(isc) = 0;
229     end
230 end
231
232 jwk = jwk + 4;
233 wk(jwk-3) = xmn;
234 wk(jwk-2) = xmx;
235 wk(jwk-1) = ymn;
236 wk(jwk) = ymx;
237 end
238
239 isc = 1;
240 if (x0>=xs1)
241     isc = isc + 1;
242 end
243 if (x0>=xs2)
244     isc = isc + 1;
245 end
246 if (y0>=ys1)
247     isc = isc + 3;
248 end
249 if (y0>=ys2)
250     isc = isc + 3;
251 end
252
253 ntsci = ntsc(isc);
254 if (~(ntsci<=0))
255     jiwk = -9 + isc;
256     for itsc = (1:ntsci)

```

```

257     jiwk = jiwk + 9;
258     it0 = iwk(jiwk);
259     jwk = it0*4;
260     if (x0<wk(jwk-3))
261         okl=1;
262         continue;
263     end
264     if (x0>wk(jwk-2))
265         okl=1;
266         continue;
267     end
268     if (y0<wk(jwk-1))
269         okl=1;
270         continue;
271     end
272     if (y0>wk(jwk))
273         okl=1;
274         continue;
275     end
276     it0t3 = it0*3;
277     ip1 = ipt(it0t3-2);
278     x1 = xd(ip1);
279     y1 = yd(ip1);
280     ip2 = ipt(it0t3-1);
281     x2 = xd(ip2);
282     y2 = yd(ip2);
283     if (side(x1,y1,x2,y2,x0,y0)<0)
284         okl=1;
285         continue;
286     end
287     ip3 = ipt(it0t3);
288     x3 = xd(ip3);
289     y3 = yd(ip3);
290     if (side(x2,y2,x3,y3,x0,y0)<0 )
291         okl=1;
292         continue;
293     end
294     if (side(x3,y3,x1,y1,x0,y0)<0 )
295         okl=1;
296         continue;
297     end
298     okl=2;
299     break;
300 end
301 if(okl==2)
302     iti = it0;
303     itipv = it0;
304
305     % Obtenemos el índice del triángulo donde se encuentra
306     % (xii,yii) .
307
308     return;
309 elseif(okl==1)
310
311     for ill = (1:nl0)
312         illt3 = ill*3;
313         ip1 = ipl(illt3-2);
314         x1 = xd(ip1);
315         y1 = yd(ip1);
316         ip2 = ipl(illt3-1);
317         x2 = xd(ip2);
318         y2 = yd(ip2);
319         if (spdt(x2,y2,x1,y1,x0,y0)<0 )
320             ok2=2;

```

```

320           continue;
321       end
322       if (~(spdt(x1,y1,x2,y2,x0,y0)<0))
323           if (side(x1,y1,x2,y2,x0,y0)>0)
324               ok2=2;
325               continue;
326           end
327           il2 = ill;
328           ok2=1;
329           break;
330       else
331
332
333           il2 = mod(ill,nl0) + 1;
334           ip3 = ipl(3*il2-1);
335           x3 = xd(ip3);
336           y3 = yd(ip3);
337           if (spdt(x3,y3,x2,y2,x0,y0)<=0)
338               ok2=1;
339               break;
340           end
341       end
342
343       ok2=2;
344   end
345   if(ok2==2)
346       it0=1;
347       iti = it0;
348       itipv = it0;
349
350       % Obtenemos el índice del triángulo donde se
351       % encuentran (xii,yii).
352
353       return;
354   elseif(ok2==1)
355       it0 = ill*nl0 + il2;
356       iti = it0;
357       itipv = it0;
358
359       % Obtenemos el índice del triángulo donde se
360       % encuentran (xii,yii).
361
362       return;
363   end
364
365
366
367   else
368
369       for ill = (1:nl0)
370           illt3 = ill*3;
371           ip1 = ipl(illt3-2);
372           x1 = xd(ip1);
373           y1 = yd(ip1);
374           ip2 = ipl(illt3-1);
375           x2 = xd(ip2);
376           y2 = yd(ip2);
377           if (spdt(x2,y2,x1,y1,x0,y0)<0 )
378               ok2=2;
379               continue;
380           end
381       if (~(spdt(x1,y1,x2,y2,x0,y0)<0))

```

```

382         if (side(x1,y1,x2,y2,x0,y0)>0)
383             ok2=2;
384             continue;
385         end
386         il2 = ill;
387         ok2=1;
388         break;
389     else
390
391         il2 = mod(ill,nl0) + 1;
392         ip3 = ipl(3*il2-1);
393         x3 = xd(ip3);
394         y3 = yd(ip3);
395         if (spdt(x3,y3,x2,y2,x0,y0)<=0)
396             ok2=1;
397             break;
398         end
399     end
400
401     ok2=2;
402 end
403 if(ok2==2)
404     it0=1;
405     iti = it0;
406     itipv = it0;
407
408
409     % Obtenemos el índice del triángulo donde se encuentra
410     % (xii,yii).
411
412     return;
413 elseif(ok2==1)
414     it0 = ill*ntl + il2;
415     iti = it0;
416     itipv = it0;
417
418     % Obtenemos el índice del triángulo donde se encuentra
419     % (xii,yii).
420
421     return;
422 end
423
424 else
425     it0 = itipv;
426     for i=(1:1)
427         if (~it0>nt0))
428             it0t3 = it0*3;
429             ip1 = ipt(it0t3-2);
430             x1 = xd(ip1);
431             y1 = yd(ip1);
432             ip2 = ipt(it0t3-1);
433             x2 = xd(ip2);
434             y2 = yd(ip2);
435             if (side(x1,y1,x2,y2,x0,y0)<0 )
436                 ok3=1;
437                 break;
438             end
439             ip3 = ipt(it0t3);
440             x3 = xd(ip3);
441             y3 = yd(ip3);
442             if (side(x2,y2,x3,y3,x0,y0)<0.0D+00 )
443                 ok3=1;
444                 break;

```

```

444     end
445     if (side(x3,y3,x1,y1,x0,y0)<0.0D+00 )
446         ok3=1;
447         break;
448     end
449     ok3=2;
450     break;
451 else
452     il1 = floor(it0/ntl);
453     il2 = it0 - il1*ntl;
454     il1t3 = il1*3;
455     ip1 = ipl(il1t3-2);
456     x1 = xd(ip1);
457     y1 = yd(ip1);
458     ip2 = ipl(il1t3-1);
459     x2 = xd(ip2);
460     y2 = yd(ip2);
461     if (~(il2==il1))
462         if (spdt(x1,y1,x2,y2,x0,y0)<0 )
463             ok3=1;
464             break;
465     end
466     if (spdt(x2,y2,x1,y1,x0,y0)<0.0D+00 )
467         ok3=1;
468         break;
469     end
470     if (side(x1,y1,x2,y2,x0,y0)>0.0D+00 )
471         ok3=1;
472         break;
473     end
474     ok3=2;
475     break;
476 else
477     if (spdt(x1,y1,x2,y2,x0,y0)>0 )
478         ok3=1;
479         break;
480     end
481     ip3 = ipl(3*il2-1);
482     x3 = xd(ip3);
483     y3 = yd(ip3);
484     if (spdt(x3,y3,x2,y2,x0,y0)<=0 )
485         ok3=2;
486         break;
487     end
488     ok3=1;
489     break;
490 end
491 end
492 end
493 if(ok3==2)
494     iti = it0;
495     itipv = it0;
496
497     % Obtenemos el índice del triángulo donde se encuentra
498     % (xii,yii).
499
500     return;
501 elseif(ok3==1)
502     isc = 1;
503     if (x0>=xs1)
504         isc = isc + 1;
505     end
506     if (x0>=xs2)

```

```

507         isc = isc + 1;
508     end
509     if (y0>=ys1)
510         isc = isc + 3;
511     end
512     if (y0>=ys2)
513         isc = isc + 3;
514     end
515     ntsci = ntsc(isc);
516     if (~(ntsci<=0))
517         jiwk = -9 + isc;
518         for itsc = (1:ntsci)
519             jiwk = jiwk + 9;
520             it0 = iwk(jiwk);
521             jwk = it0*4;
522             if (x0<wk(jwk-3))
523                 okl=1;
524                 continue;
525             end
526             if (x0>wk(jwk-2))
527                 okl=1;
528                 continue;
529             end
530             if (y0<wk(jwk-1))
531                 okl=1;
532                 continue;
533             end
534             if (y0>wk(jwk))
535                 okl=1;
536                 continue;
537             end
538             it0t3 = it0*3;
539             ip1 = ipt(it0t3-2);
540             x1 = xd(ip1);
541             y1 = yd(ip1);
542             ip2 = ipt(it0t3-1);
543             x2 = xd(ip2);
544             y2 = yd(ip2);
545             if (side(x1,y1,x2,y2,x0,y0)<0)
546                 okl=1;
547                 continue;
548             end
549             ip3 = ipt(it0t3);
550             x3 = xd(ip3);
551             y3 = yd(ip3);
552             if (side(x2,y2,x3,y3,x0,y0)<0 )
553                 okl=1;
554                 continue;
555             end
556             if (side(x3,y3,x1,y1,x0,y0)<0 )
557                 okl=1;
558                 continue;
559             end
560             okl=2;
561             break;
562         end
563         if(okl==2)
564             iti = it0;
565             itipv = it0;
566
567             % Obtenemos el índice del triángulo donde se
568             % encuentran (xii,yii).
569
570         return;

```

```

570      elseif(okl==1)
571
572          for ill = (1:nl0)
573              illt3 = ill*3;
574              ip1 = ipl(illt3-2);
575              x1 = xd(ip1);
576              y1 = yd(ip1);
577              ip2 = ipl(illt3-1);
578              x2 = xd(ip2);
579              y2 = yd(ip2);
580              if (spdt(x2,y2,x1,y1,x0,y0)<0 )
581                  ok2=2;
582                  continue;
583
584          end
585          if (~(spdt(x1,y1,x2,y2,x0,y0)<0))
586              if (side(x1,y1,x2,y2,x0,y0)>0)
587                  ok2=2;
588                  continue;
589          end
590          il2 = ill;
591          ok2=1;
592          break;
593
594      else
595
596          il2 = mod(ill,nl0) + 1;
597          ip3 = ipl(3*il2-1);
598          x3 = xd(ip3);
599          y3 = yd(ip3);
600          if (spdt(x3,y3,x2,y2,x0,y0)<=0)
601              ok2=1;
602              break;
603          end
604
605          ok2=2;
606
607      end
608      if(ok2==2)
609          it0=1;
610          iti = it0;
611          itipv = it0;
612
613          % Obtenemos el indice del triángulo donde se
614          % encuentra (xii,yii).
615
616          return;
617      elseif(ok2==1)
618          it0 = ill*ntl + il2;
619          iti = it0;
620          itipv = it0;
621
622          % Obtenemos el indice del triángulo donde se
623          % encuentra (xii,yii).
624
625          return;
626
627
628
629      else
630
631          for ill = (1:nl0)

```

```

632         illt3 = ill*3;
633         ip1 = ipl(illt3-2);
634         x1 = xd(ip1);
635         y1 = yd(ip1);
636         ip2 = ipl(illt3-1);
637         x2 = xd(ip2);
638         y2 = yd(ip2);
639         if (spdt(x2,y2,x1,y1,x0,y0)<0 )
640             ok2=2;
641             continue;
642         end
643         if (~(spdt(x1,y1,x2,y2,x0,y0)<0))
644             if (side(x1,y1,x2,y2,x0,y0)>0)
645                 ok2=2;
646                 continue;
647             end
648             il2 = ill;
649             ok2=1;
650             break;
651         else
652
653             il2 = mod(ill,nl0) + 1;
654             ip3 = ipl(3*il2-1);
655             x3 = xd(ip3);
656             y3 = yd(ip3);
657             if (spdt(x3,y3,x2,y2,x0,y0)<=0)
658                 ok2=1;
659                 break;
660             end
661         end
662     end
663
664     ok2=2;
665 end
666 if(ok2==2)
667     it0=1;
668     iti = it0;
669     itipv = it0;
670
671     % Obtenemos el índice del triángulo donde se
672     % encuentran (xii,yii).
673
674     return;
675 elseif(ok2==1)
676     it0 = ill*ntl + il2;
677     iti = it0;
678     itipv = it0;
679     % Obtenemos el índice del triángulo donde se
680     % encuentran (xii,yii).
681
682     return;
683 end
684 end
685
686 end
687 end
688 %Parámetros de salida:
689
690 %iti: índice del triángulo donde se encuentra el punto (xii,yii).
691 %iwk,wk: Vectores que guardan información de la triangulación.
692
693

```



```

1 %%%%%%%%%%%%%%
2 %
3 %Interpolación Bivariada de Akima %
4 %
5 %%%%%%%%%%%%%%
6
7 %Parametros de entrada:
8
9 %xd,yd,zd: Vectores que contienen los los valores (xi,yi,zi) de cada punto.
10
11 %nt:Número de triángulos.
12
13 %ipt:Índice de los vértices de los triángulos.
14
15 %nl: Número de lineas que conforman en borde de la triangular.
16
17 %ipl:Índice de los puntos que conforman las nl.
18
19 %pdd: Vector que contiene la aproximación las derivadas parciales
zx,zy,zxx,zxy,zyy.
20
21 %iti:Índice del triángula donde se encuentra el punto que se va interpolar.
22
23 %xii,yii: Punto (xi,yi) que será interpoado.
24
25
26 function [zii] = idptip(xd,yd,zd,nt,ipt,nl,ipl,pdd,iti,xii,yii)
27
28 %Variables globales.
29
30 global idpi
31 global itpv
32
33 global a
34 global aa
35 global ab
36 global ac
37 global act2
38 global ad
39 global adbc
40 global ap
41 global b
42 global bb
43 global bc
44 global bdt2
45 global bp
46 global c
47 global cc
48 global cd
49 global cp
50 global csuv
51 global d
52 global dd
53 global dlt
54 global dp
55 global dx
56 global dy
57 global g1
58 global g2
59 global h1
60 global h2
61 global h3
62 global i
63 global idp

```

```

64      global    ill
65      global    il2
66      global    it0
67      global    jipl
68      global    jipt
69      global    jpd
70      global    jpdd
71      global    kpd
72      global    lu
73      global    lv
74      global    ntl
75      global    p0
76      global    p00
77      global    p01
78      global    p02
79      global    p03
80      global    p04
81      global    p05
82      global    p1
83      global    p10
84      global    p11
85      global    p12
86      global    p13
87      global    p14
88      global    p2
89      global    p20
90      global    p21
91      global    p22
92      global    p23
93      global    p3
94      global    p30
95      global    p31
96      global    p32
97      global    p4
98      global    p40
99      global    p41
100     global   p5
101     global   p50
102     global   thsv
103     global   thus
104     global   thuv
105     global   thxu
106     global   u
107     global   v
108     global   x0
109     global   y0
110
111     %Vectores utilizados para el proceso.
112
113     pd=zeros(15,1);
114     x=zeros(3,1);
115     y=zeros(3,1);
116     z=zeros(3,1);
117     zii =0;
118     zu=zeros(3,1);
119     zuu=zeros(3,1);
120     zuv=zeros(3,1);
121     zv=zeros(3,1);
122     zvv=zeros(3,1);
123     %Proceso preeliminar.
124     it0 = floor( iti );
125     ntl = nt+nl;
126
127     %Comenzamos con la interpolación.

```

```

128
129     if(it0<=ntl)
130         if(it0~=iptv)
131             jipt = 3*(it0-1);
132             jpd = 0;
133             for i = (1:3)
134                 jipt = jipt+1;
135                 idp = ipt(jipt);
136                 x(i) = xd(idp);
137                 y(i) = yd(idp);
138                 z(i) = zd(idp);
139                 jpdd = 5*(idp-1);
140                 for kpd = (1:5)
141                     jpd = jpdd+1;
142                     jpdd = jpdd+1;
143                     pd(jpd) = pdd(jpdd);
144                 end
145             end
146
147             %Realizamos la transformación UV.
148
149             x0 = x(1);
150             y0 = y(1);
151             a = x(2)-x0;
152             b = x(3)-x0;
153             c = y(2)-y0;
154             d = y(3)-y0;
155             ad = a*d;
156             bc = b*c;
157             dlt = ad-bc;
158             ap = d/dlt;
159             bp = -b/dlt;
160             cp = -c/dlt;
161             dp = a/dlt;
162
163             %Convertimos las derivadas parciales al sistema UV.
164
165             aa = a*a;
166             act2 = 2*a*c;
167             cc = c*c;
168             ab = a*b;
169             adbc = ad+bc;
170             cd = c*d;
171             bb = b*b;
172             bdt2 = 2*b*d;
173             dd = d*d;
174
175             for i = (1:3)
176                 jpd = 5*i;
177                 zu(i) = a*pd(jpd-4)+c*pd(jpd-3);
178                 zv(i) = b*pd(jpd-4)+d*pd(jpd-3);
179                 zuu(i) = aa*pd(jpd-2)+act2*pd(jpd-1)+cc*pd(jpd);
180                 zuv(i) = ab*pd(jpd-2)+adbc*pd(jpd-1)+cd*pd(jpd);
181                 zvv(i) = bb*pd(jpd-2)+bdt2*pd(jpd-1)+dd*pd(jpd);
182             end
183
184             %Calculamos los coeficientes del polinomio.
185
186             p00 = z(1);
187             p10 = zu(1);
188             p01 = zv(1);
189             p20 = 0.5*zuu(1);
190             p11 = zuv(1);
191             p02 = 0.5*zvv(1);

```

```

192 h1 = z(2)-p00-p10-p20;
193 h2 = zu(2)-p10-zuu(1);
194 h3 = zuu(2)-zuu(1);
195 p30 = 10*h1-4*h2+0.5*h3;
196 p40 = -15.0D+00*p11+7.0D+00*h2-h3;
197 p50 = 6*h1-3*h2+0.5*h3;
198 p5=p50;
199 h1 = z(3)-p00-p01-p02;
200 h2 = zv(3)-p01-zvv(1);
201 h3 = zvv(3)-zvv(1);
202 p03 = 10*h1-4*h2+0.5*h3;
203 p04 = -15*h1+7*h2-h3;
204 p05 = 6*h1-3*h2+0.5*h3;
205 lu = sqrt(aa+cc);
206 lv = sqrt(bb+dd);
207 thxu = atan2(c,a);
208 thuv = atan2(d,b)-thxu;
209 csuv = cos(thuv);
210 p41 = 5*lv*csuv/lu*p50;
211 p14 = 5*lu*csuv/lv*p05;
212 h1 = zv(2)-p01-p11-p41;
213 h2 = zuv(2)-p11-4*p41;
214 p21 = 3*h1-h2;
215 p31 = -2*h1+h2;
216 h1 = zu(3)-p10-p11-p14;
217 h2 = zuv(3)-p11-4.0D+00*p14;
218 p12 = 3*h1-h2;
219 p13 = -2*h1+h2;
220 thus = atan2(d-c,b-a)-thxu;
221 thsv = thuv-thus;
222 aa = sin(thsv)/lu;
223 bb = -cos(thsv)/lu;
224 cc = sin(thus)/lv;
225 dd = cos(thus)/lv;
226 ac = aa*cc;
227 ad = aa*dd;
228 bc = bb*cc;
229 g1 = aa*ac*(3*bc+2*ad);
230 g2 = cc*ac*(3*ad+2*bc);
231 h1 = -aa*aa*aa*(5*aa*bb*p50+(4*bc+ad)*p41)-cc*cc*cc*(5*cc*dd*p05+
4*ad+bc)*p14);
232 h2 = 0.5*zvv(2)-p02-p12;
233 h3 = 0.5*zuu(3)-p20-p21;
234 p22 = (g1*h2+g2*h3-h1)/(g1+g2);
235 p32 = h2-p22;
236 p23 = h3-p22;
237 itpv = it0;
238
239 %Convertimos xii y yii al sistema UV.
240
241 dx = xii-x0;
242 dy = yii-y0;
243 u = ap*dx+bp*dy;
244 v = cp*dx+dp*dy;
245
246 %Evaluamos el polinomio.
247
248 p0 = p00+v*(p01+v*(p02+v*(p03+v*(p04+v*p05))));;
249 p1 = p10+v*(p11+v*(p12+v*(p13+v*p14)));
250 p2 = p20+v*(p21+v*(p22+v*p23));
251 p3 = p30+v*(p31+v*p32);
252 p4 = p40+v*p41;
253
254 %Encontramos el punto buscado.

```

```

255
256     zii = p0+u*(p1+u*(p2+u*(p3+u*(p4+u*p5)))); 
257
258     return;
259
260 elseif(it0==itpv)
261
262     %Convertimos xii y yii al sistema UV.
263
264     dx = xii-x0;
265     dy = yii-y0;
266     u = ap*dx+bp*dy;
267     v = cp*dx+dp*dy;
268
269     %Evaluamos el polinomio.
270
271     p0 = p00+v*(p01+v*(p02+v*(p03+v*(p04+v*p05)))); 
272     p1 = p10+v*(p11+v*(p12+v*(p13+v*p14)) );
273     p2 = p20+v*(p21+v*(p22+v*p23));
274     p3 = p30+v*(p31+v*p32);
275     p4 = p40+v*p41;
276
277     %Encontramos el punto buscado.
278
279     zii = p0+u*(p1+u*(p2+u*(p3+u*(p4+u*p5)))); 
280     return;
281 end
282
283 else
284     ill = floor(it0/ntl);
285     il2 = floor(it0-ill*ntl);
286     if(ill==il2)
287         %Calculamos el valor de zii.
288         if(it0~=itpv)
289
290             %Usamos las derivadas parciales.
291             jipl = 3*(ill-1);
292             jpd = 0;
293
294             for i = (1:2)
295
296                 jipl = jipl+1;
297                 idp = ipl(jipl);
298                 x(i) = xd(idp);
299                 y(i) = yd(idp);
300                 z(i) = zd(idp);
301                 jpdd = 5*(idp-1);
302
303                 for kpd = (1:5)
304                     jpd = jpd+1;
305                     jpdd = jpdd+1;
306                     pd(jpd) = pdd(jpdd);
307             end
308
309         end
310
311         %Creamos la conversión al sistema UV.
312
313         x0 = x(1);
314         y0 = y(1);
315         a = y(2)-y(1);
316         b = x(2)-x(1);
317         c = -b;
318         d = a;

```

```

319      ad = a*d;
320      bc = b*c;
321      dlt = ad-bc;
322      ap = d/dlt;
323      bp = -b/dlt;
324      cp = -bp;
325      dp = ap;
326
327      %Convertimos las derivadas parciales a sistema UV.
328
329      aa = a*a;
330      act2 = 2*a*c;
331      cc = c*c;
332      ab = a*b;
333      adbc = ad+bc;
334      cd = c*d;
335      bb = b*b;
336      bdt2 = 2*b*d;
337      dd = d*d;
338
339      for i = (1:2)
340          jpd = 5*i;
341          zu(i) = a*pd(jpd-4)+c*pd(jpd-3);
342          zv(i) = b*pd(jpd-4)+d*pd(jpd-3);
343          zuu(i) = aa*pd(jpd-2)+act2*pd(jpd-1)+cc*pd(jpd);
344          zuv(i) = ab*pd(jpd-2)+adbc*pd(jpd-1)+cd*pd(jpd);
345          zvv(i) = bb*pd(jpd-2)+bdt2*pd(jpd-1)+dd*pd(jpd);
346      end
347
348      %Calculamos los coeficientes del polinomio.
349
350      p00 = z(1);
351      p10 = zu(1);
352      p01 = zv(1);
353      p20 = 0.5D+00*zuu(1);
354      p11 = zuv(1);
355      p02 = 0.5D+00*zvv(1);
356      h1 = z(2)-p00-p01-p02;
357      h2 = zv(2)-p01-zvv(1);
358      h3 = zvv(2)-zv(1);
359      p03 = 10*h1-4*h2+0.5*h3;
360      p04 = -15*h1+7*h2-h3;
361      p05 = 6*h1-3*h2+0.5*h3;
362      h1 = zu(2)-p10-p11;
363      h2 = zuv(2)-p11;
364      p12 = 3*h1-h2;
365      p13 = -2*h1+h2;
366      p21 = 0;
367      p23 = -zuu(2)+zuu(1);
368      p22 = -1.5*p23;
369      itpv = it0;
370
371      %Covertimos xii y yii a sistema UV.
372
373      dx = xii-x0;
374      dy = yii-y0;
375      u = ap*dx+bp*dy;
376      v = cp*dx+dp*dy;
377
378      %Evaluamos el polinomio.
379
380      p0 = p00+v*(p01+v*(p02+v*(p03+v*(p04+v*p05))));;
381      p1 = p10+v*(p11+v*(p12+v*p13));
382      p2 = p20+v*(p21+v*(p22+v*p23));

```

```

383
384           %Encontramos el punto buscado.
385
386           zii = p0+u*(p1+u*p2);
387           return
388       elseif(it0==itpv)
389
390           %Covertimos xii y yii a sistema UV.
391
392           dx = xii-x0;
393           dy = yii-y0;
394           u = ap*dx+bp*dy;
395           v = cp*dx+dp*dy;
396
397           %Evaluamos el polinomio.
398
399           p0 = p00+v*(p01+v*(p02+v*(p03+v*(p04+v*p05)))); 
400           p1 = p10+v*(p11+v*(p12+v*p13));
401           p2 = p20+v*(p21+v*(p22+v*p23));
402
403           %Encontramos el punto buscado.
404
405           zii = p0+u*(p1+u*p2);
406           return
407       end
408   else
409       if ( it0 ~= itpv )
410
411           %Usamos las derivadas parciales.
412
413           jipl = 3*i12-2;
414           idp = ipl(jipl);
415           x(1) = xd(idp);
416           y(1) = yd(idp);
417           z(1) = zd(idp);
418           jpdd = 5*(idp-1);
419
420           for kpd = (1:5)
421               jpdd = jpdd+1;
422               pd(kpd) = pdd(jpdd);
423           end
424
425           %Calculamos los coeficientes del polinomio.
426
427           p00 = z(1);
428           p10 = pd(1);
429           p01 = pd(2);
430           p20 = 0.5*pd(3);
431           p11 = pd(4);
432           p02 = 0.5*pd(5);
433           itpv = it0;
434
435           %Convertimos xii y yii al sistema UV.
436           u = xii-x(1);
437           v = yii-y(1);
438
439           %Evaluamos el polinomio.
440
441           p0 = p00+v*(p01+v*p02);
442           p1 = p10+v*p11;
443           zii = p0+u*(p1+u*p20);
444
445           %Convertimos xii y yii al sistema UV.
446

```

```

447     u = xii-x(1);
448     v = yii-y(1);
449
450     %Evaluamos el polinomio.
451
452     p0 = p00+v*(p01+v*p02);
453     p1 = p10+v*p11;
454
455     %Encontramos el punto buscado.
456
457     zii = p0+u*(p1+u*p20);
458
459         end
460
461     end
462 end
463
464 %Parámetros de Salida:
465
466 %zii:Valor de la Interpolación Bivariada de Akima en el punto (xii,yii).
467
468
469

```

```

1 %%%%%%%%%%%%%%
2 %
3 %Interpolación Bivariada de Akima %
4 %
5 %%%%%%%%%%%%%%
6
7 %Parámetros de entrada:
8
9 %ncp: Número de puntos cercanos para la estimación de las derivadas parciales.
10
11 %xd,yd,zd: Vectores que contiene los puntos (xi,yi,zi).
12
13 %xi,yi: Vectores que contienen los puntos para (xi,yi) para ser interpolados.
14
15 function [zi,iwk,wk] = idbvip(ncp,xd,yd,zd,xi,yi)
16
17 %Variables globales.
18
19     global idlc
20     global idpi
21     global nit
22     global itpv
23
24     %Variables para el cálculo.
25     md=1;
26     ndp=length(xd);
27     nip=length(xi);
28     zi=zeros(nip,1);
29     iwk=zeros((max(31,27+ncp)*ndp+nip),1);
30
31     %Proceso preeliminar.
32
33     md0 = md;
34     ncp0 = ncp;
35     ndp0 = ndp;
36     nip0 = nip;
37
38     %Almacenamos en wk e iwk información necesaria para la interpolación.
39
40     if ( md0 < 2 )
41
42         iwk(1) = ncp0;
43         iwk(2) = ndp0;
44
45     end
46
47     if ( md0 < 3 )
48
49         iwk(3) = nip;
50
51     end
52
53     jwipt = 16;
54     jwiwl = 6 * ndp0 + 1;
55     jwiwk = jwiwl;
56     jwipl = 24 * ndp0 + 1;
57     jwiwp = 30 * ndp0 + 1;
58     jwipc = 27 * ndp0 + 1;
59     jwit0 = max ( 31, 27 + ncp0 ) * ndp0;
60
61     %Obtenemos la malla triángular y su información.
62
63     if( md0 == 1 )
64         [nt, iwk11, nl, iwk12, iwk13, iwk14, wk]=idtang(xd,yd);

```

```

65      iwk(jwipt:jwipt+length(iwk11)-1)=iwk11;
66      iwk(jwipl:jwipl+length(iwk12)-1)=iwk12;
67      iwk(jwiwl:jwiwl+length(iwk13)-1)=iwk13;
68      iwk(jwiwp:jwiwp+length(iwk14)-1)=iwk14;
69      iwk(5) = nt;
70      iwk(6) = nl;
71      wk=[wk(1:ndp);zeros(7*ndp,1)];
72
73      if ( nt == 0 )
74          return;
75      end
76
77  end
78
79 %Obtenemos el indice de los puntos cercanos.
80
81 if ( md0 <= 1 )
82
83     [iwk21]=idcldp (xd, yd, ncp);
84     iwk(jwipc:jwipc+length(iwk21)-1)=iwk21;
85     if ( iwk(jwipc) == 0 )
86         return;
87     end
88
89 end
90
91 %Obtenemos la ubicación de cada (xi,yi) a ser interpolado en la malla
92 %triangular.
93
94 if ( md0 ~= 3 )
95
96     nit = 0;
97     jwit = jwit0;
98     for iip = (1:nip0)
99         jwit = jwit + 1;
100        [iwk(jwit), iwk41, wk]=idlctn( xd, yd, nt,iwk(jwipt:jwipt+3*nt-1),
101        nl,iwk(jwipl:jwipl+3*nl-1), xi(iip), yi(iip), iwk(jwiwk:jwiwk+18*
102        ndp-1),wk );
103        iwk(jwiwk:jwiwk+18*ndp-1)=iwk41;
104
105    end
106
107 %Obtenemos la aproximación a las derivadas parciales zx,zy,zxx,zxy,zyy.
108
109 end
110
111 [wk1]=idpdry(xd,yd,zd,ncp0,iwk21);
112 wk=[wk1;wk(length(wk1)+1:8*ndp)];
113 itpv = 0;
114 jwit = jwit0;
115 iwk51=iwk(jwipt:jwipt+3*nt-1);
116 iwk52=iwk(jwipl:jwipl+3*nl-1);
117
118 %Obtenemos la interpolación de Bivariada de Akima de los los puntos
119 % (xi,yi).
120
121 for iip = (1:nip0)
122     jwit = jwit + 1;
123     [zi(iip) ]=idptip ( xd, yd, zd, nt, iwk51, nl, iwk52, wk1,iwk(jwit),
124     xi(iip), yi(iip));
125 end
126
127 end
128
129
```

```
124 %Parámetros de Salida:  
125  
126 %zi: Vector que contiene el resultado de la Interpolación Bivariada de Akima.  
127  
128 %iwk,wk: Vectores que contiene información del proceso de interpolación.  
129  
130
```

Bibliografía

- [1] Iwashita Yukinory. *Piecewise Polynomial Interplations.* OpenGamma Quantitative Research n.15, 2013.
- [2] Burden, Richard L, J. Douglas Faires. *Análisis Numérico.* International Thomson Editores S.A. Séptima Edición, 2002.
- [3] Hiroshi Akima. *A New Method of Interpolation and Smooth Curve Fitting Based on Local Procedures.* Journal of the Association for Computing Machinery,17(4):589–602,1970. 6.
- [4] Hiroshi Akima, *A Method of Bivariate Interpolation and Smooth Surface Fitting for Irregularly Distributed Data Points.* ACM. Trans. Math. Software 4 1978.
- [5] Escobar Freddy Humberto, Fundamentos de Ingeniería de Yacimientos.,2000.
- [6] Curtis H. Whitson, Michel R. Brulé. *Phase Behavior.* Society of Petroleum Engineers, Monograph Volume 20 Henry L. Doherty Series, 2000.
- [7] Pita Ruiz Claudio. *Cálculo Vectorial.* Prentice Hall Hispanoamericana S.A. Primera Edición, 1995.
- [8] Peng, D.-Y.; Robinson, D.B. (1976) “A new two-constant equation of state” Ind. Eng. Chem. Fundamentals, 15, pp. 59-64.